ELECTRONIC NAVIGATION REVIEW



1961

2

電波航法研究会發行

Published by the Japanese Committeefor Radio Aids to Newigation

# 一目次一

巻	頭言	鮫	直	島	人… 1
研	究 調 査				
	コーナリ	フレクタについて	司	和	民… 3
展	望				
	ロラン局	の現状とロランCについて豊福滋喜	<b>拳</b> ,	治田	1浩…13
	第6回航	路標識会議の模様とUSCGでみた電子航法…川	上	義	郎…18
講	座				
	レーダ航	法(Ⅱ)茂 在	寅	具	·····31
	電波六分	儀の解説木 村	小	_	·····37
海	外資料紹	介			
	自動航法	におけるラジオセキスタントの用法飯	島	幸	人…43
=	ュース				
	新製品紹	介電波監理	里局,	水泊	≦会…45
文	献標題				
	The Jou	rnal of the Institute of Navigation			49
		ings of the IRE			
	IRE Tra	ansactions on Aeronautical and			
	Na	vigational Electronics			
あ	とが	ž	••••	•••••	51

# 巻 頭 言

# 電波航法研究会々長 鮫 島 直 人

ここに電波航法の第2巻が刊行され、その内容も一層充実してきているのを見て、御同慶に堪えない。これは全く会員諸氏のふだんの研究と努力の賜であることは、改めていうまでもない。

電波航法研究会の発足当時の模様やその使命については、創刊号に述べられているが、本年は本会が発足して丁度10周年に当るので、この機会に本会の在り方についても今一度考えてみる必要があろう。

幸い本会は昨年多数の新会員を迎えて、基礎も強固になりつつあることは、まことに心強い次第で、本会の著しい特色も、電波航海計器の使用者、製作者、関係官庁、大学研究所等の各方面の方々が集つている点にあると思う。使用者の実情と要望を聞いて製作者の参考にし、また製作者の苦心を聞いて性能の限界を知り、それを最大限に利用する。あるいは製作者の新し考案が、実用上有効であるかどうかなどの検討が、お互に大きな収穫になるのである。もしもそれが別々の研究会であつたならば、その発展は限界があるか、あるいは一方に偏つたものになるだろう。その意味で本会のように、各方面の方々を交えて、共同の広場を持ち得ることは、非常に有益なことであると思う。

しかしこのような会の運営は甚だむつかしいもので、違つた職種の人の集りであるから始めは何となく打解けにくく感ずるかも知れないが、お互に他の一面には暗いのであるから、遠慮なく意見や質問を交わすことが大切である。高度の特殊な研究をするには、別の研究機関があり、本会の目的はそれとは別のものであるから、皆が気楽に発言してざつくばらんに話合うようにしたい。多くの新会員を迎えた機会に、本会の特色を思い起こして、参考とした次第である。

なお本会誌の内容も、上に述べたような主旨にそつて編集されているのであつて、編集を担当されている委員の方々の苦心に対し敬意を表するとともに、本誌が各界層の人々にとつて有益であることを信じ、会員外の方々にも広く読まれることを望んでやまない。

今回はからずも森田前会長の後をうけて、私が会長の重責を負うことになつたが、まことに不敏でその職責を充分果すことができるか心配である。ただ熊凝副会長始め会員諸氏の御援助と御支援によつて、もしも前に述べたような会員相互の橋渡しに役立ち得るならば幸いである。



# コーナリフレクタについて

# 東京商船大学 庄 司 和 民

# 1. 概 説

レーダのPPI映像面上で、ある物標を他の物標の中からより分けて認識したい(識別したい)場合、その物標のレーダ反射を特に強める目的で用いられるものにコーナリフレクタがある。コーナリフレクタは三面鏡の原理を応用して、三つの互いに垂直な面をつくつて、レーダ電波がこれらの面で三回反射すれば再び到来方向にもどるようにしているものである。

# 2. 用途上の分類

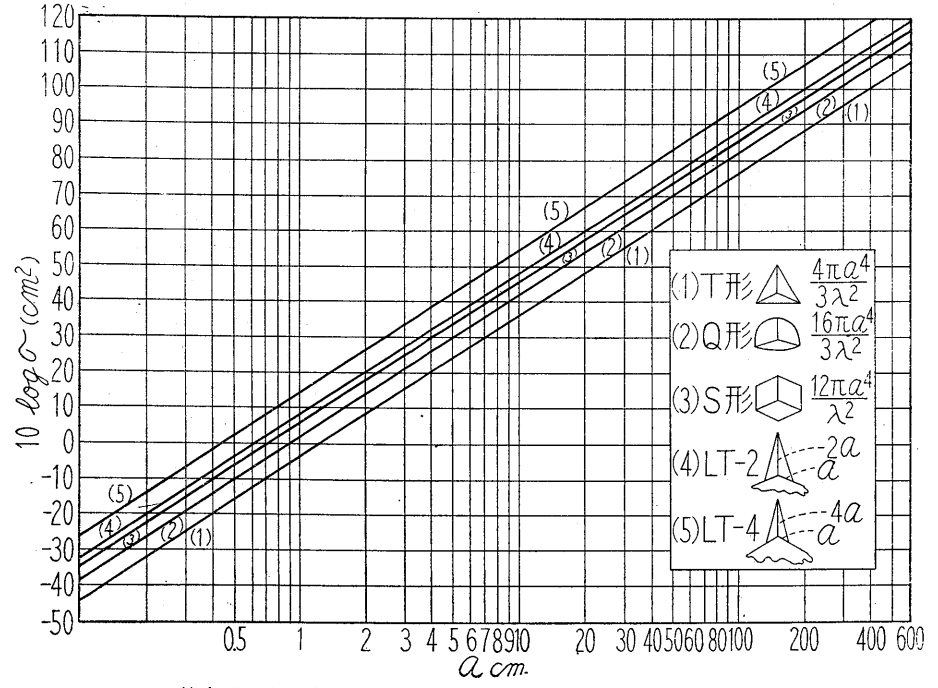
まづ用いられる場所によつて分類すると次のようになる。

(4) 陸上用,低い砂浜で映像の表われにくい所や,遠 浅の沿岸,単調で同じような形の海岸線,出入港針路の 目標地点等に設置するもので金属製の大きいコーナリフ レクタカ耳いられる。陸上用としては、背景の陸地と区 別するために大型のもので、強固なコンクリートの基礎で建てられ、海に面した方向にだけ向けて造られている。また特殊な識別図形をこのリフレクタでPPI上に表わすように配置して建設されたりする。

(中) 浮標用,海上の浮標をより一層はつきりレーダ P P I 上で認めることができるように,浮標に取付けられるリフレクタである。

この要件としては波浪階級 5~6程度の波浪よりも強い反射を示し、少くとも現在の浮標のレーダ探知距離(約3浬)の約二倍(約6浬)以上の距離から探知出来る程の水面上の高さを持ち、四方からレーダ電波が当つてもその方向に反射し帰えす指向性をもつ構造で、しかも軽くて海水に対し侵されず、風波に堪えるよう丈夫なものが必要である。

(ツ) 小形船用,小形船が時として**PPI**上にはつきり表われない場合があつて,荒天霧中等狭視界の時は,衝突の危険を含んでいる。このため小型船に装備するリフ



第1図 各基本型リフレクタの大きさによるレーダ有効断面積  $\sigma$ 

レクタは、小型船より強い反射を示すようなもので、且 つ一般に小型船がレーダで見えにくいのは、その有効高 の低いことに原因するから、充分な高さに掲げることが 出来て、丈夫な構造のものが望まれる。

(ラ) 救命艇用、小型船用のリフレクタよりも多少小さいが、携帯性を考慮に入れ、耐波性、耐風性をよくしたもので、軽くて取扱いが簡単なものが必要となる。

# 3. 構造上の分類

構造としてはエレメントの形から、三角型(T型)、四角型 (S型)、四分円形 (Q型)、長三角型 (L T型)、等がある。その形が正確に直角をとつて組立てられ、その材質が完全導体である場合、大きさによつて夫々どの程度のレーダ有効断面積をもつかは第1 図によつて示される。

# 4. 各種基本的な形をした金属板のレーダー有効 断面積

レーダの反射電波の強さを定める要素の一つとして、 反射物標のレーダ有効断面積 (Radar cross section) が

第1表 各種形状と完全導体としての理論式

形	Ap Pyojected Area	Amax Maximam Effective Ayea	max 4π A <sup>2</sup> max λ <sup>2</sup>
$\begin{bmatrix} a \\ b \end{bmatrix}$	ab.	ab	<u>4π α²b²</u> λ²
	π α²	πα2	$\frac{4\pi^3 a^4}{\lambda^2}$
b	2 a b	$b\sqrt{\frac{a\lambda}{2}}$	<u>2παb²</u> λ
-a	$\pi a^2$	$\frac{a}{2}\lambda$	$\pi$ $a^2$
<u>a</u> <u>b</u>	$\sqrt{2}$ ab	√2 ab	$\frac{8\pi a^2b^2}{\lambda^2}$
( a	$\frac{\pi a^2}{\sqrt{2}}$	<u>π α²</u> √2	$\frac{2\pi^3 \alpha^4}{\lambda^2}$
(丁型)	$\frac{\sqrt{3}}{2}a^2$	$\frac{a^2}{\sqrt{3}}$	$\frac{4\pi a^4}{3\lambda^2}$
a (S型)	$\sqrt{3} a^2$	$\sqrt{3} a^2$	$\frac{12\pi \ \alpha^4}{\lambda^2}$
(Q型)	$\frac{\sqrt{3}}{4}\pi a^2$	$\sqrt{\frac{2}{\sqrt{3}}} a^2$	16 π a <sup>4</sup> 3 λ <sup>2</sup>

ある。

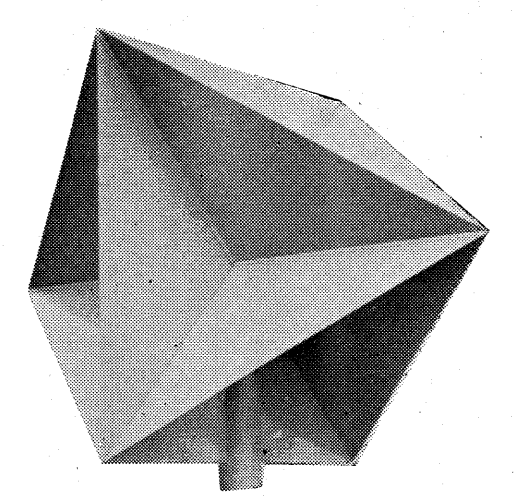
第1表に各種の基本的な形をした金属板のレーダ有効 断面積の理論値を示してみた。

# 5. 各種形式のコーナリフレクタのレーダ有効断 面積理論値と実験値との関係

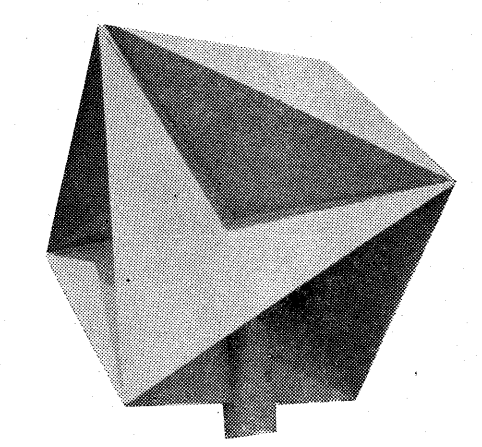
実際のレーダ有効断面積がどのような値を示すか、試 作して測定して見ると次のような結果を得た。

a. 固定式リフレクタ, これについて寸法を変えて第1 図の値に合致するかどうかを調べた。

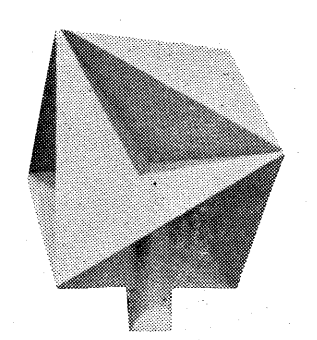
第 2 図は一辺 a の長さが 42.2cm のもので,第 3 図は a が 31.8cm,第 4 図は a が 21.2cm のものであるが, c れらの理論値と実験値を比較すると次の第 2 表のようになる。



第2図 F-42T



第3図 F-32T



第4図 F-21T

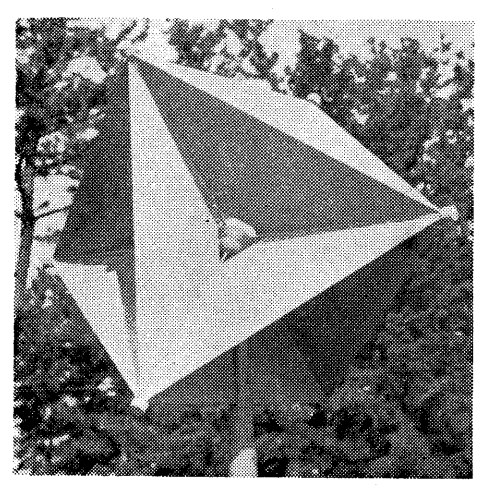
第2表 固定式リフレクタ

形式	理論値(10logσ t)	実験値(10logσw)	
F-42T	61	56	
F-32T	56	53	
F-21 T	48	47	

大体理論値に近い値を示すが、一辺aが大きくなるに従い、理論値から段々低下する傾向にある。

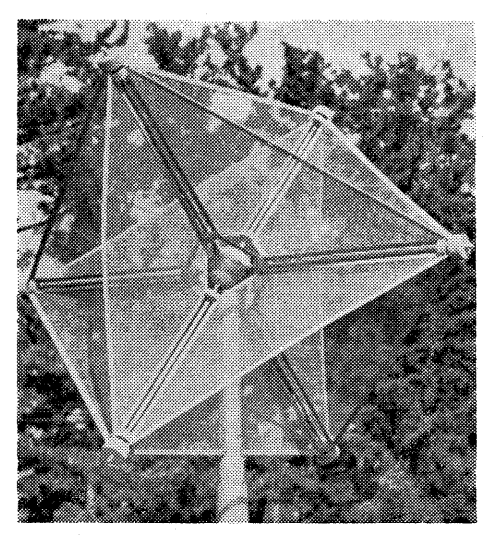
このことから言えば、あまり大きなリフレクタは却って効果が期待出来ないということが考えられる。そして必要で充分な最小限度のレーダ有効断面積をもつよう設計すればよいことになる。

b. 組立式リフレクタ,次に組立式にした場合の違いを調べた。第5図は金属板で組立てたもの,第6図は金網で組立てたもの,第7図はビニール布に導電塗料ドウタイト銀を塗つたもので組立てたリフレクタである。これらは一辺aを総べて31.8cmにしてある。この実験値は,第5図のものは10logσが53,第6図のものは40~43,第7図のものは41~42であつて,同じ寸法で金属板できつちり作つたとしたら56であるから,夫

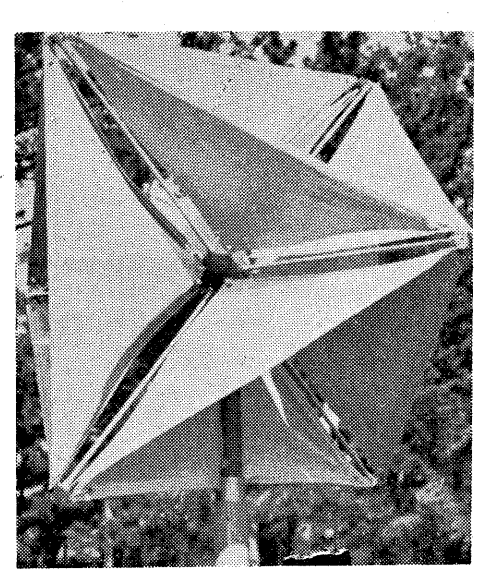


第5図 K-32T

々, 3 db, 13~16db, 14~15db 低い値を示すことになった。



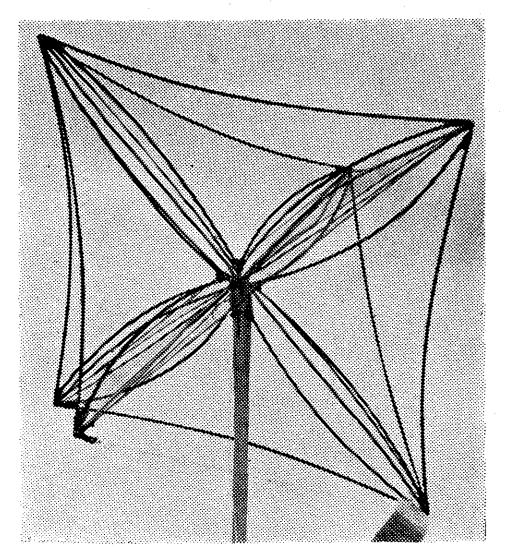
第6図 N-32T



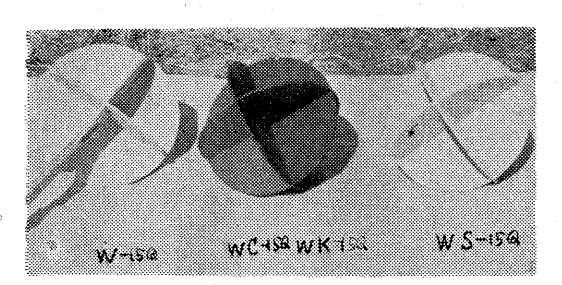
第7図 V-32T

- c. 金網形リフレクタ, 救命筏等に米国で用いられた型である。 第 8 図がとれで, このレーダ有効断面積は 10log で表わして, 50~55と測定された。この寸法の 固定式リフレクタは66であるから約 11~16db 低くなっている。
- d. 木製リフレクタ 木板でつくつたリフレクタとこれ に導電塗料を塗つた場合を比較した。第9図は実験に 供したリフレクタであるが、いづれは一辺 a の長さを 15cm にとつた Q形のリフレクタである。WS—15 Q は 導電塗料 ドウタイト 銀、WK—15 Q は ドウタイトカー

ボン、WC-15Q はドウタイト銅を塗つたもの、W-15Q は木板のみであつて、その値は第3 表のように測定された。



第8図 網形リフレクタ



第9図 木製リフレクタ

第3表 木製リフレクタのレーダ有効断面積

形式	金属としての理論値 (10log <i>o</i> t)	測 定 値 (10logσm)
W S —15 Q	49	45~47
WK-15Q	49	40
W C —15 Q	49	25
W —15 Q	49	20

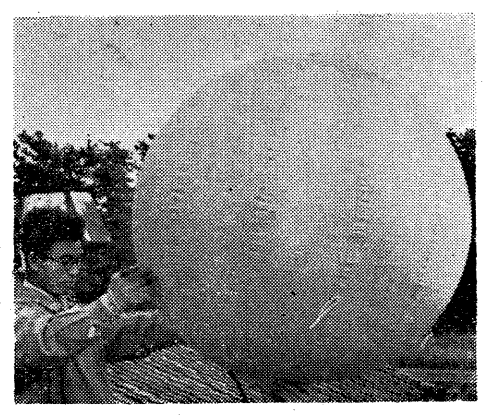
このようにドウタイト銀を塗れば、殆ど金属と変らない値を示すことが分つた。

また木板のみの場合はその差が29dbにも及び減少の 度合は驚く程のものがある。

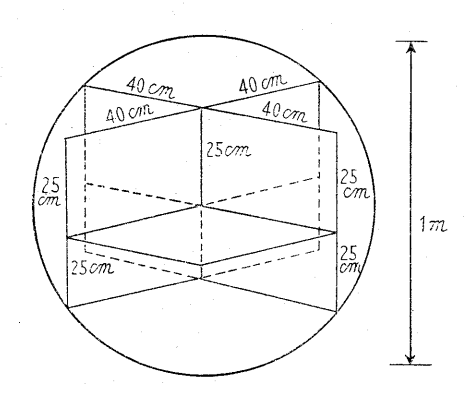
e. 風船式リフレクタ 救命ゴム筏用として考えたものが、この風船式リフレクタである。この風船の内部に S型のリフレクタとなるよう隔壁を作つてある。

第10図はその外観で、第11図はその内部構造を示し

ている。綿布の上にアルミニウムを 0.01mmの厚さに蒸着し、保護としてポリエチレンフイルムを 0.02mmの厚さにつけてある。このレーダ有効断面積は  $10\log\sigma$ で50であった。



第10図 風船形リフレクタ



第11図 風船形リフレクタ

f. スコツチライトの効果 最近よく見られる自動車の 後部の赤い標識はスコツチライト (Scotchlite) と呼 ばれるものであるが、これを木製リフレクタにはりつ けて実験した結果、金属板と同じ値になつた。これか ら見て昼間の視覚と、夜間のレーダ視認との両方に役 立つものと考えられる。

以上のうち代表的なもの2, 3について水平指向特性を示すと、第12図~第19図のようであつた。

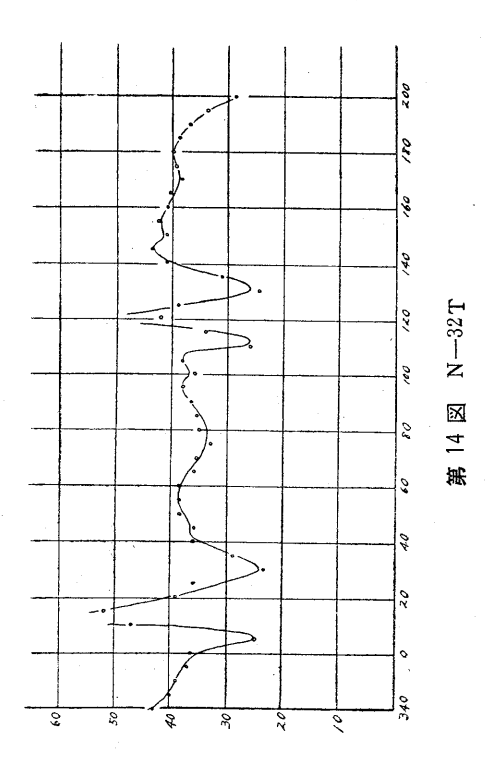
## 6. ユーナリフレクタの探知距離

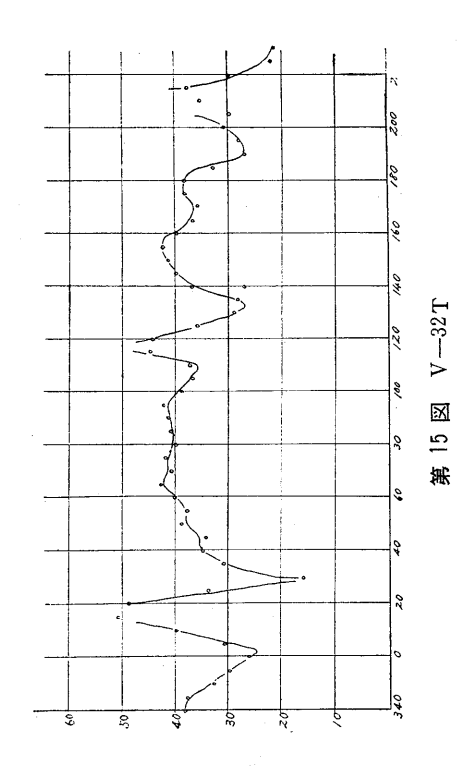
探知距離はいわゆるレーダ方程式で求められるのであるが, 簡単には感度曲線を画いて求めることが出来る。 その方法は次の3つの順序で行うとよい。

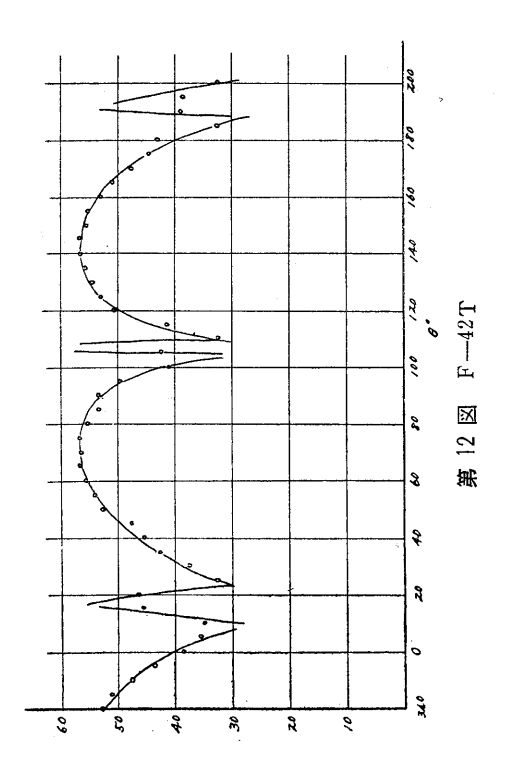
(1) R-4の感度曲線を求める。

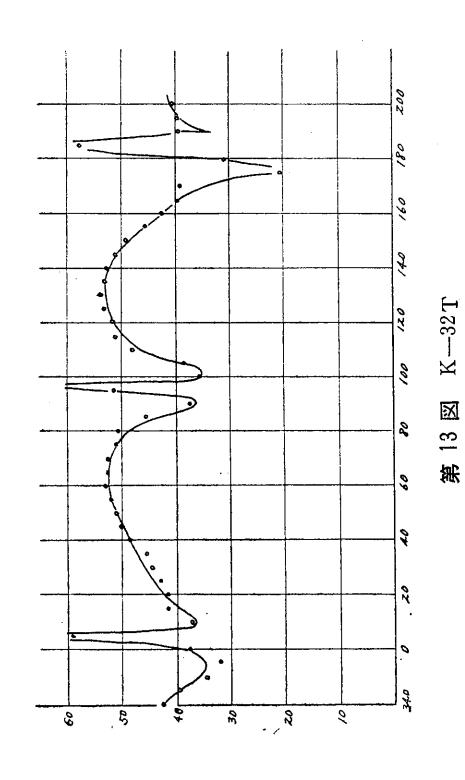
$$S = \frac{PG^2\lambda^2\sigma}{(4\pi)^3 R^4}$$

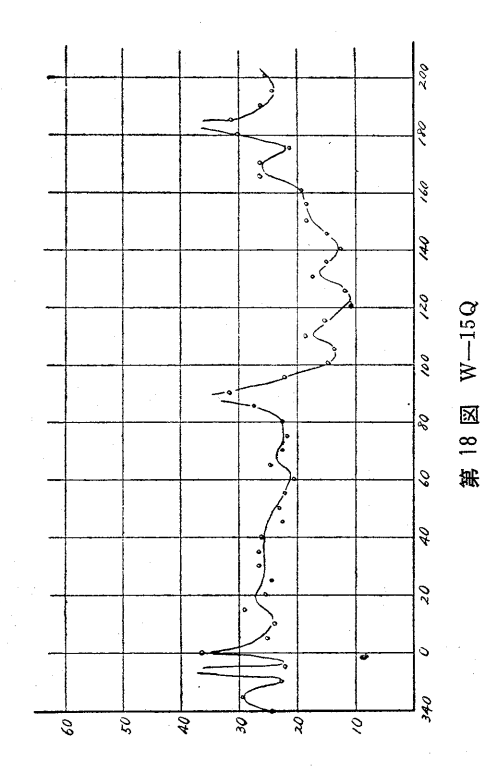
一般に T=30kw, G=30db,  $\lambda=3.2$ cm とすれ,

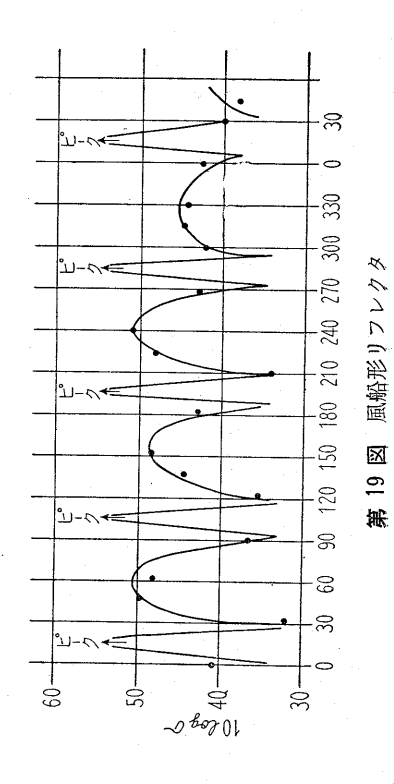


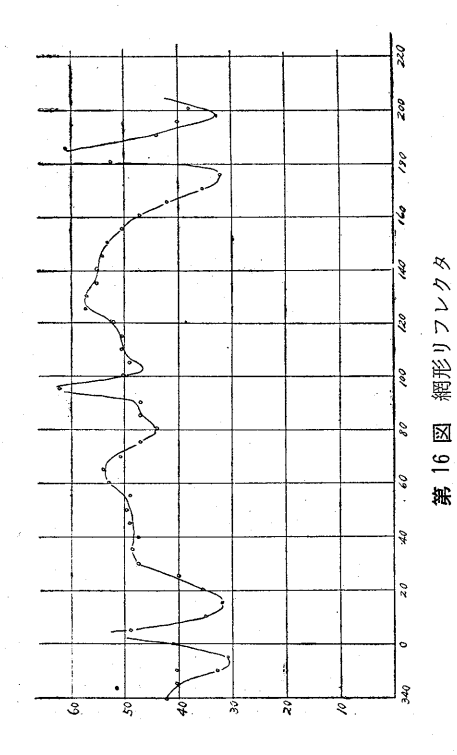


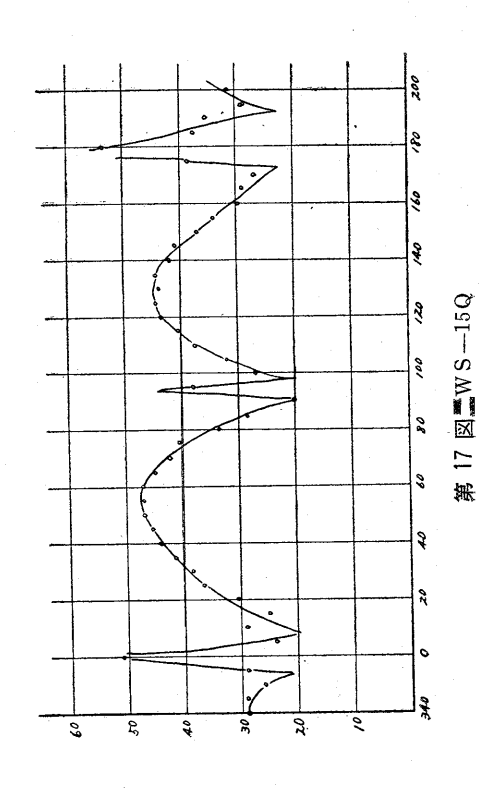


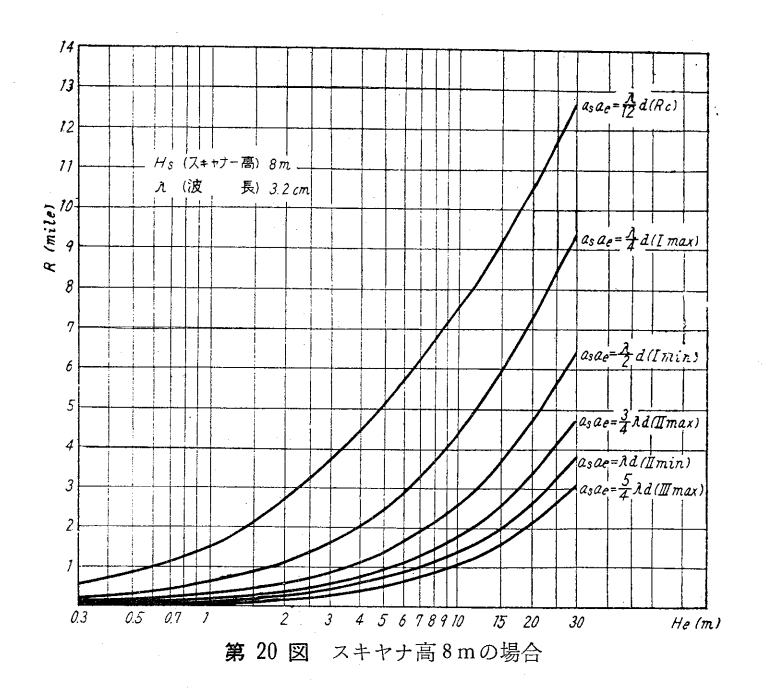


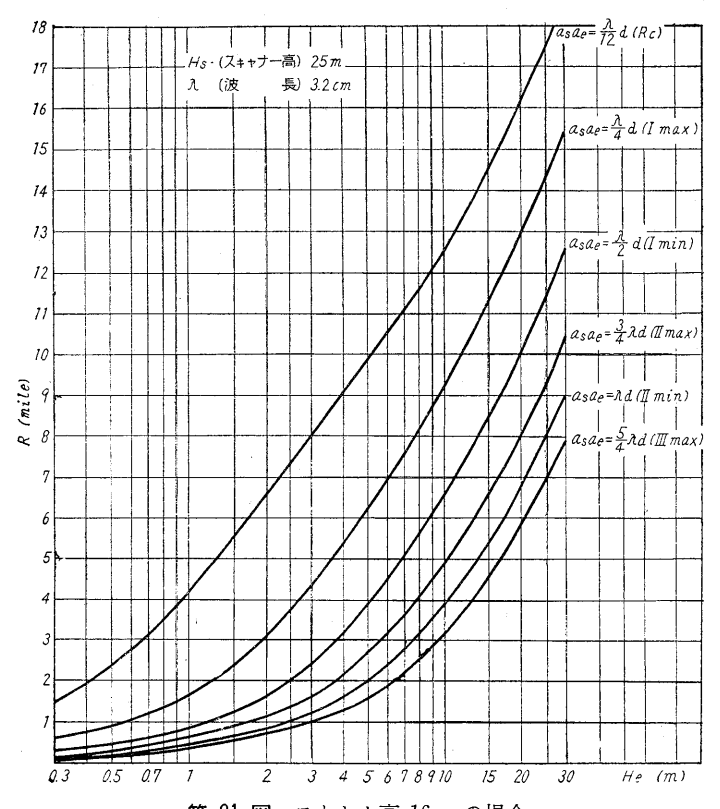












第 21 図 スキヤナ高 16m の場合

ば、R=2.7浬では  $10\log S=10\log \sigma-120$  となるから、 $10\log \sigma$  が50で ある場合は、2.7 浬 の 縦軸上で  $10\log S$  が 50-120=-70 の点を求める。横軸に距離を対数目盛でとり、縦軸に  $10\log S$  を等間隔でとった ぐらふ用紙上で、上記の点を通って  $R^4$  に逆比例する線を引く。

# (2) 変曲点を求める。

スキヤナー高とリフレクタの水面上の高さから変曲点は何浬か求める。第20図、第21図、第22図は変曲点を求めるぐらふであるが、第20図はスキヤナ高16mの場合、第21図はスキヤナ高25mの場合で、このぐらふのうち、 $a_sa_e = \frac{\lambda}{12}d\left(R_e\right)$  の曲線と横軸  $(H_e)$  上にリフレクタの高さをとり、その交わる点を縦軸上によめば変曲点の距離が得られる。例えばスキヤナ高25mでリフレクタの水面上の高さ3mの場合は、第22図から変曲点は8浬と得られる。

#### (3) R-8 の感度曲線を求める。

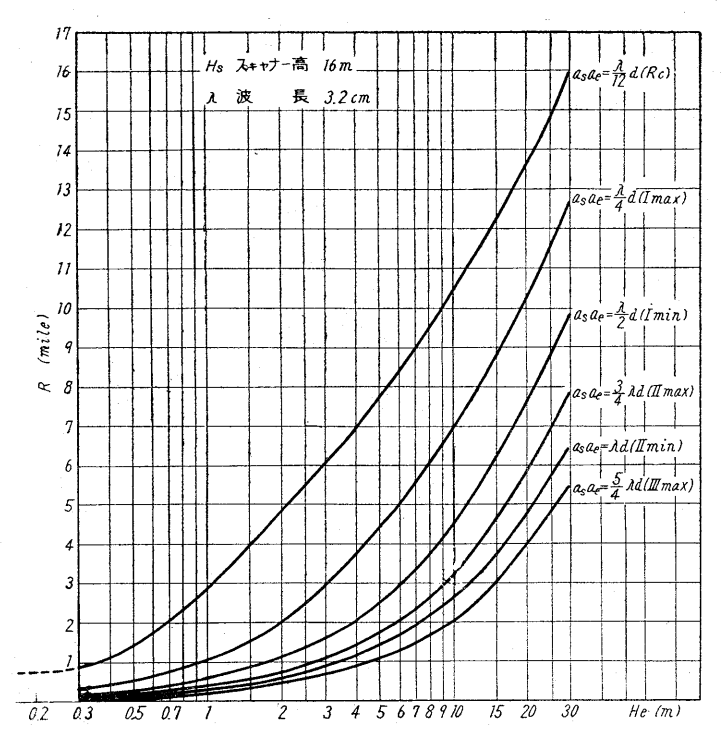
次に  $R^{-4}$  の感度曲線上変曲点の距離の点から, $R^{-8}$  に逆比例する線を引く。この  $R^{-8}$  の感度曲線が最小受信感度 -80dbm ないし -90dbm 以下になる距離を求めればよい。

但し以上の方法は充分 $\sigma$ が大きい場合であるが、もし $\sigma$ があまり大きくない時は、予想感度曲線は最大最小を画いて距離と共に下がるので、そのように画かなければならない。その方法は第20図~第21図で I max I min、 $\Pi$  max、 $\Pi$  min 等の距離を求め、 $R^{-4}$  の曲線より12db高い点をI max および  $\Pi$  max の点として最大最小の点として予想感度曲線を画く。このようにすれば

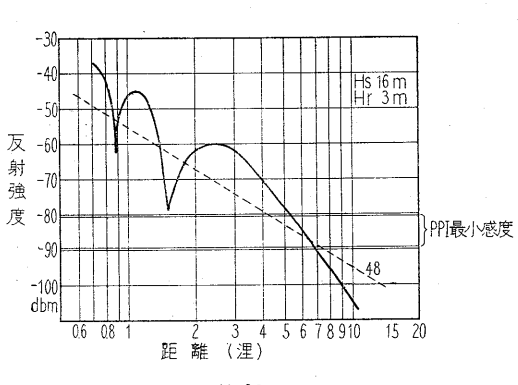
$$S = \frac{PG^2\lambda^2\sigma}{(4\pi)^3R^4} \times 16\sin^4\left(\frac{2\pi H_sH_e}{\lambda R}\right)$$

の曲線が画かれたことになる。

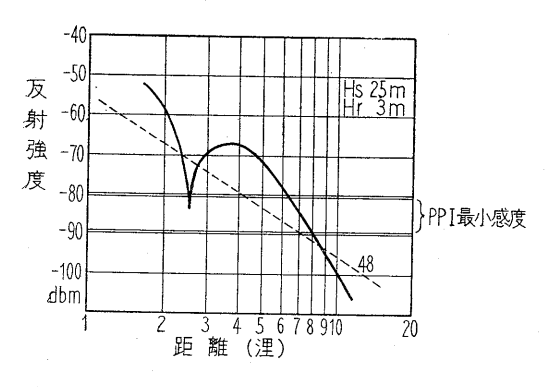
この例として $10\log\sigma=48$ として, 第23図にスキヤナ高16m, リフレク タ高3mの場合, 第24図にスキヤナ 高25m, リフレクタ高3mの場合,



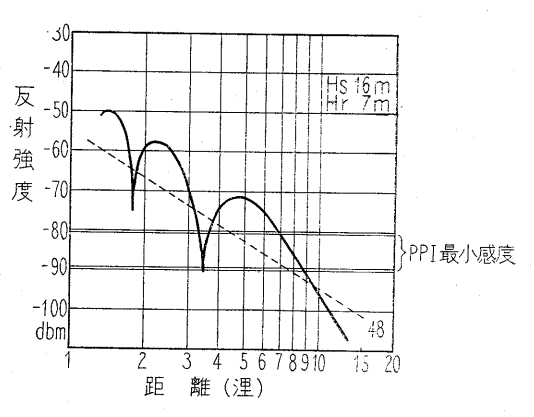
第 22 図 スキャナ高25mの場合



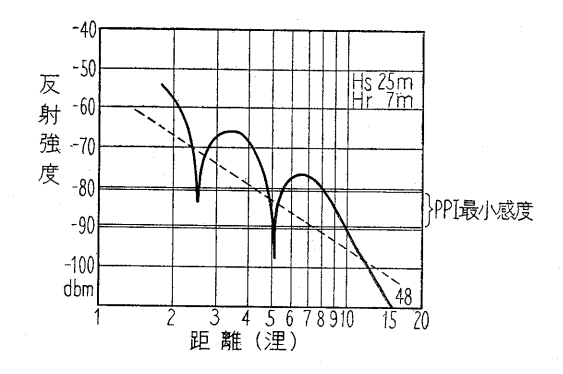
第23図



第 24



第25図



第26 図

第25図にスキャナ高16m, リフレクタ高7mの場合, 第26図にスキャナ高25m, リフレクタ高7mの場合, の予想曲線を示した。これらは大体風船形リフレクタの場合である。

# 7. リフレクタを定めるため必要な条件

どのような場合, どのようなリフレクタがよいか定めるには次のような条件を考慮する必要がある。

- (1) 海面反射の反射強度
  - 波浪階級  $4 \sim 5$ 程度を限度として考えると実験から  $10^4 \sim 10^5 \text{cm}^2$  ( $10\log \sigma$  にして $40 \sim 50$ ) 程度となるから、これよりも大きい方がよい。
- (2) リフレクタを取付けるものの反射強度 例えば小型船ならばその反射強度,救命ボートならばその反射強度を考えなければならないが,実験によれば50 t 程度の鋼船は10<sup>6</sup>cm<sup>2</sup> (10logσにして60)程度,膨脹形ゴムいかだは10<sup>4</sup>cm<sup>2</sup> (10logσにして40)程度である。
- (3) 探知したい距離
- (4) 掲揚可能な高さ
- (5) 携帯性
- (6) 取扱いの難易
- (7) 耐波, 耐風性
- (8) 重量

# 8. む す び

以上で簡単にリフレクタについて考慮すべき点

を述べたが、このようなことから、始めにもどつて、各 用途に応じてどのようなリフレクタがよいか考えてみよ う。

### (4) 陸上用リフレクタ

陸地の反射より強くなければならないので相当大きく 造る必要があり、大きく丈夫なものが造られる。一辺1 m 以上のT形等がコンクリートで造られているようである。

# (ロ) 浮標用リフレクタ

レーダ有効断面積 10<sup>5</sup>cm<sup>2</sup> 程度でその高さを 3 m程度 にしたい。このため耐波性と重量から考えて、発泡スチロールの球の内部に金属箔でリフレクタにするものが用いられた。もし金属製にするのならば、割合小型にせざるを得ない。英国等ではブイのやぐらに三角形の板を用いて、長三角形に近い構造にしている。

# (\*) 小形船用リフレクタ

小形船用としてはなるべく高く掲げることが大切で、 大きさをあまり大きくするよりも高く掲げることを考える方に重点を置く方がよい。重量は多少かかつても丈夫な構造で造られることがよい。また木造船等では上部構造物にスコツチライト等をはりつけることも考えられる。

## (二) 救命艇用リフレクタ

救命艇用としては風船形が最もよいと考えられている。 重量、取扱い、等からも風船形にまさるものはいまの所ない。



取締役社長 伊藤幸雄 取締役副社長 芳賀津二彦

本 社 東京都中央区八重州2丁目1番地 (井田ビル)

電話東京 (201) (代表) 7171 • 7181

神戸支店 神戸市生田区栄町通2丁目40番地 (日産汽船ビル) 大阪支店 大阪市東区北浜2丁目90番地 (日産生命ビル)

横浜支店 横浜市中区日本大通14(三井物産ビル1号館)



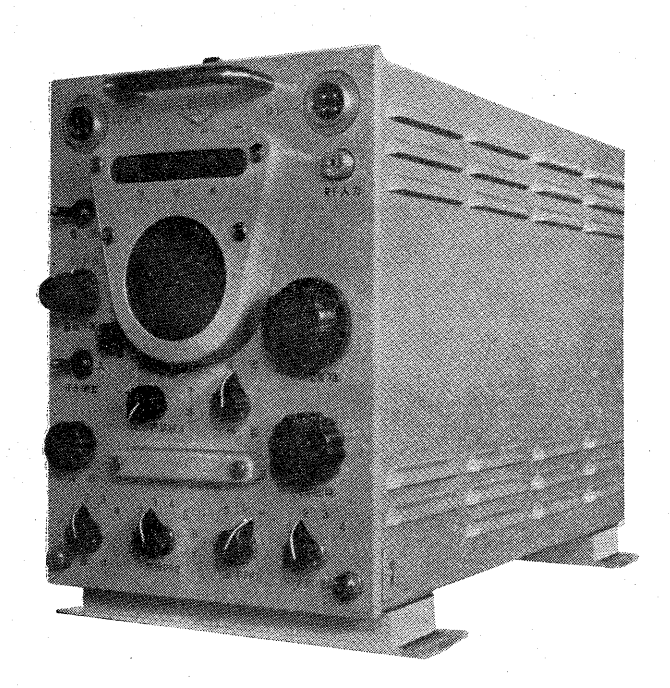
創業80周年

# ORX-102形

# 船舶用新形ロラン受信機

航海の安全、のみならず漁区の迅速な選定、 障害物の回避、魚群位置の判定等、数え切れ ない程の用途があります。

この装置は高度の電子技術、複雑な回路構成等を必要とされており、従来のものとちがって、小形軽量でしかも信頼度の高いロラン受信装置です。



# 特 長

- 測定値が全桁ネオン数字表示管でデイジタル 表示されます。
- 自動同期装置 (AFC) を有し測定が非常に 容易です。
- 極めて小形、軽量で狭い場所でも取付けが容易です。

# 沖電気工業株式会社

東京都港区芝高浜町10 TEL東京(451)2191·9271



# ロラン局の現状とロラン C について

海上保安庁灯台部 豊福滋 善・宇治 田浩

電波の直進性と等速性、それにその伝播速度を利用して、移動体の位置を求め、航行援助に資することは、約20年程前から考えられ、開発されて、アメリカでは Loran 航法として第2次大戦中に活躍したことは周知のとおりである。我国にも、戦後いち早くアメリカ軍の手によつてロラン送信局が建設され、ロラン受信機も漸次国産化されて、その利用者数も最近急激に増加している。

海上保安庁でも先年ロラン送信局を建設し,運用しているので、ここにその現状を報告し、あわせて、最近アメリカで開発研究されている長距離用の高精度航行援助装置ロランCについての簡単な紹介をしたい。

# ロラン送信局の現状

海上保安庁灯台部において運用している落石,大釜埼, 波崎ロラン局は業務を開始してより, 1年余を経過する に至つた。

未だ、2、3の問題点が残されてはいるが、まずは順調に業務を売けている。利用率(24—利用不能時間/24)は大釜埼一落石の2 S 1 レートでは、約99.6%、大釜埼一波崎の2 S 2 レートでは99.9%となつており、現地所員は利用率を上げるべく日夜努力を続けている。

2 S 1 レートが 2 S 2 レートに比較して、やや利用率が低下しているが、これは局間の距離 (Base Line) が少し長い事と、地形の関係等より電界強度が弱く、夜間において他局の強力な空間波の影響を受けて主局信号に対する同期維持が困難で、このためブリンキング (Blinking) の時間が多くなるためである。これの改善は今後の研究課題の一つと云えよう。

現在問題点として残つているものに次の如きものがある。

## 1) ロラン局の問題点

(1) 夜間における同期維持が困難である。

落石局では主局(大釜埼)信号の電界強度が弱いため、昼間は別段支障はないが、夜間になると他局の強力な空間波が飛来し、そのためタイマ(Timer)受信機部において空間波に比し減衰の大きい主局の地表波はマスクされてしまうため、正確な同期が維

持できなくなる。

これの改善には、送信出力の増加とか、従局に指 向性受信アンテナの設置等の方法が考えられるが、 経費の点で仲々実現できないのが現状である。

当面の解決法として受信機部の改良が現地所員の手で行われ、かなりの成果を上げている。即ち、当初AVC回路の時定数が約1mSとなつていたので、強力な空間波パルスが入つたあと1mS以内に主局の地表波パルスが入つても受信機のI・F利得が極度に低下(主局信号を規定出力になるよう受信機の利停を調整している場合、強力な空間波パルス受信の際のAVC電圧は中間周波増巾管をカツト・オフ近くまで追い込む)しているので、レベル変動の原因となつていた。

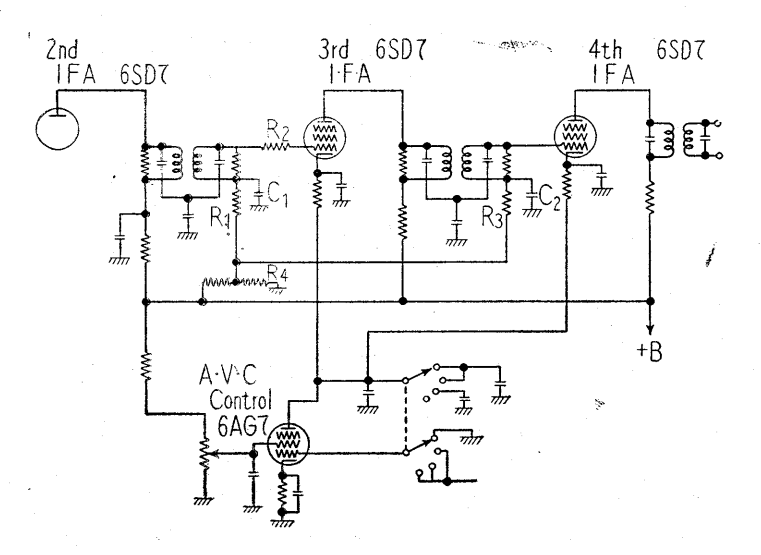
この時定数を約  $150\mu s$  程度まで短かくなるよう改造した。

次に Fig1に示す中間周波増巾部において、主局パルスより40dbあまり強い空間波パルスが受信されると、瞬間 3rd 及び 4th I•F•A にグリッド電流が流れ、利得が低下する。この場合グリッド回路の時定数が大きいと( $600\mu$ s)空間波パルスに対しこの振巾制限効果と共に次に続いて入つてくる主局パルスも、この効果を受けることになる。

この回路の時定数を約 $9\mu$ sと短かくし、空間波パルスに対してのみ振巾制限効果をもたせるよう回路定数を変更したが、これにより相当程度改良された。落石局では冬期、吹雪と共に猛烈な雑音が発生し、30分から1時間ほど完全に受信機部が麻痺してしまうことがあるが、防止は不可能である。

(2) 送信機内部においてスパークする。

送信機内部において時々パン音と共にスパークし、過負荷継電器が作動して、電波の発射がしばらく中断されることがある。開局当時この事故が非常に多く1日数回、多い時は20~30回も発生していたが、製作会社及び現地所員の手で色々とその対策が講じられ、除々に減少してきたが、依然として3日に1度くらい発生している。

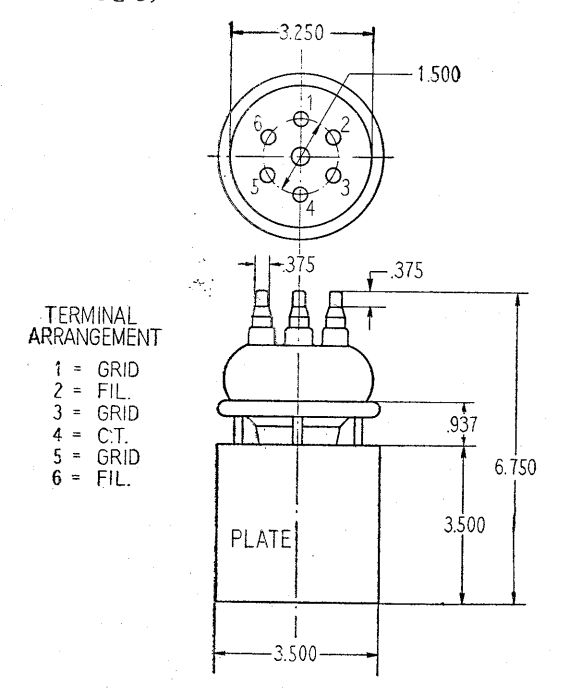


第1図 タイマ受信機部中間周波増巾回路図

スパークする個所は、そのせん光が強烈な事と発生が不規則なため、又そのあとが、はつきり残らないために確認する事が困難であるが、いたるところで発生しているようである。

特に多く発生している個所を列記すると,

- a. 出力管 (F-5680) のグリッド端子よりフ**イラ** メント中点端子へ空間を通じて。
- b. プレートよりフイラメント中点端子へ球壁を伝わって。 (これについては管球の清掃により軽減できる)



第2図 ロラン送信機出力管F-5680外観図

- c. タンクコイルから近接したアース点へ。
- d. 2 nd. IPA の管球内(3 F 60 P) にて。

等である。

(3) 電子管調達が困難である。

ロラン局では、出力管・整流管等に6種類の輸入管を使用しているが、これの調達に不便を感じており、国産化が待たれていたが、最近某メーカーが試作管を製作して、現在テスト中である。残念ながら未だ輸入管に一歩をゆずる成績であるが、同じ程度の性能をもたせることが可能の見通しがついた。

# (4) 商用電源の使用。

建設当時の電力事情等の関係で,

ロラン・システムに直接関係のある機器の電源を全部発動発電機より供給することにした。然しその後,局附近の電力事情が好転し,又調査の結果,周波数で±2c/s程度,電圧では±5V程度の変動には,さして,業務に支障がないことが判明した。従つて現在では発動発電機に依存しなくとも商用電源を使用することが可能である。

一方、エンジンの保守が、現地職員にとつて相当のオーバー・ロードになつており、このため他の機器の保守が不充分となる恐れがある。又エンジンの障害による電波欠射がかなり多いので、早急に商用電源を使用するよう改造したい。

# 2) 発生した主なる障害

(1) 水晶発振部の異状発振。

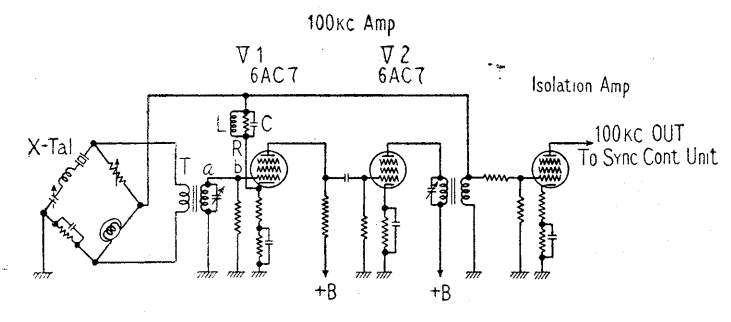
何らかのショックを与えると,タイマ水晶発振部 が異状発振を起し,ロラン・パルスは正規の繰返し から外れると云う現象を呈した。

Fig•3 に水晶発振部の回路図を示す。

V 1・V 2 の 100 K C A M P は,発振周波数の安定度を高める ために High gm 管を使用しているため,元来自励発振を起し易い状態にある。

電橋部をTの一次側より外し, $L \cdot R \cdot C$ よりなる 負帰還回路を切ると,125kc 程度で自励発振を起し た。このため電橋部を接続すると,原振の 100kc が ビートの 25kc で変調されたような波形が Isolation Amp の入力回路で観測された。

L・R・Cの並列共振回路は,100kc 以外の周波数には,負帰還をかけ,増巾度を低下させるようにし,発振周波数の安定度向上をはかつたものであるが,RでQダンブされておるため異状発振周波数 125kc



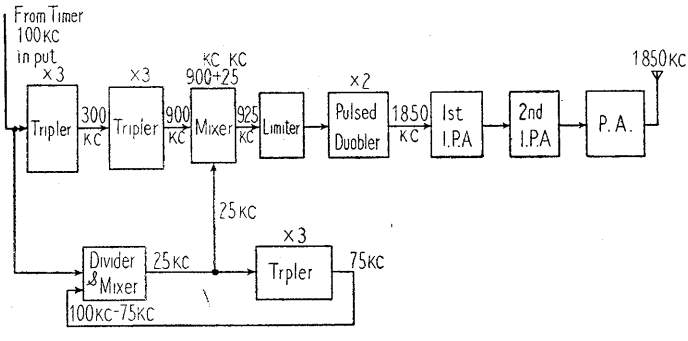
第3図 タイマ水晶発振部回路図

のNFB量の弱いことも原因している。

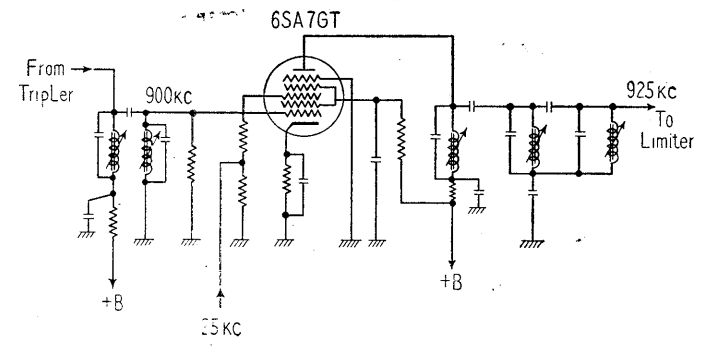
異状発振の原因を究明したところ、 $V_1$  のグリツド配線(a-b)が長く、 $V_2$  のプレート配線とも接近しており、この配線にシールド・ワイヤを使い、且つ $V_1$ 、 $V_2$  (6 A C 7 G T) のベース・シールドをアースすることにより異状発振は完全に止まつた。さらに、この状態で、負帰還回路を接続することにより、異状発振は完全に放逐された。

## (2) 発射周波数変化

日本のロラン局は 1850kc で発射しているが、これが1800kcとなつて発射されると云う障害が発生した。ロラン送信機は、発射パルスの波形を良くするために、同調回路がかなり広帯域になつているが、このため発射周波数が 1800kc となつても、多少空中



第4図 ロラン送信機構成図 (除,変調部)



第5図 ロラン送信機励振部 MIXER 回路図

線電流が流れていたこと,周波数計が超精密級なため未知周波数の測定がやや困難であつたこと,原振はタイマ水晶発振部(安定度,1×10<sup>-7</sup>以上)より,供給されているため,発射周波数の安定性については絶対の自信があつたこと,等より空中線電流減少の原因発見に非常に手間取つた。

ロラン送信機のブロツク・ダイ ヤグラムを Fig 4 に示す。

タイマ水晶発振部より供給される100kcをTripler 2 段で夫々 3 倍して 900kc を得る。一方, 100kc 増巾途中, そのプレート側に得られる Random noise の内から 25kc 成分を取り出し, これを 3 倍して 75kc を作り再び前段に返して 100kc との間で 25kc のビートを得る。これにより安定な 25kc が作られ,前述の 900kc と混合して 925kc を得ている。

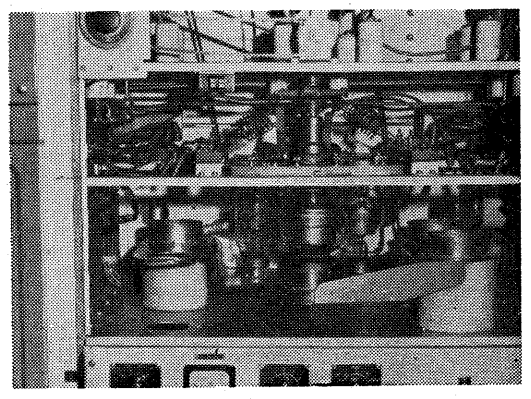
障害が発生したのは、Fig・5 に示す Mixer プレート側の同調回路の同調周波数が、900kc 附近にずれたために25kc成分がカツトされ、pulsed Doublerで2倍された 1800kc が、アンテナから発射されたものである。Mixor プレート側の同調回路は単一同調3段を負荷させ、25kcで約 -35db 程度の周波数特性をもたせたものである。同調周波数のずれの直接原因は不明である。

(3) 送信機出力管の台碍子の破損。 送信機内部においてスパークすることは前述したが、これによつ て出力管の台碍石が破損すると云う障害が発生した。その状況を写 真1・2に示す。

以上でもつてロラン局の現況並びに, 今までの経過をかいつまんで書いた。

少数の人員で、複雑な機器に取組んでいる現地職員は、業務面でのみならず、僻地なるが由に大変な苦労である。 落石では吹雪のために交通杜絶し数日間勤務の交替が出来ず、局でタツチをしていた者は過労ばかりでなく食料にも窮した。又大釜埼でも雪のためジープが通わず、雪中徒歩数時間を要する交替をすることもあり、波崎は年中砂塵に悩ませられている。

色々と新しいシステムの電波標識が 計画され,かつ除々に建設されている。 建設地の選択は業務上の問題で検討さ れるが、可能な限り生活上の環境も考慮したいものである。



**写真 1** ロラン送信機 P・A部 F 5680 は抜いてある。

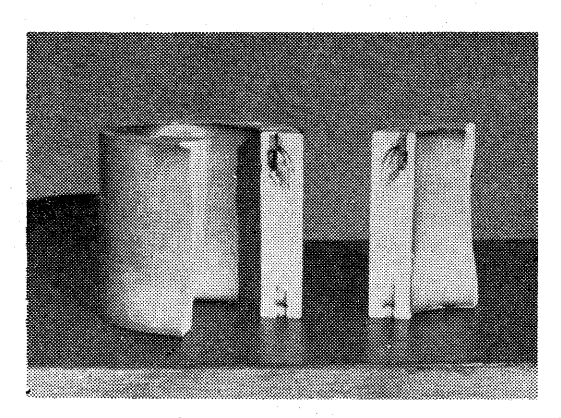


写真 2 P·A管 F5680 台碍子

# Loran-C について

現在,世界中に広く利用されているのは,2MCの周 波数を使つた最初に開発された形式のもので、最近では、 これを標準 Loran 又は Loran-A と称して、その後開 発されてきた方式と区別している。このロラン局は現在 全世界に約60局設置されて運営されているが、その利用 範囲は局から大体 750 海里程度で、夜間に空間波を利用 するばあいでも、精々1400海里である。現在の送信出力 は大体百数十KW 程度であるが、この出力を仮に10倍に したとしても2MCの海上伝播特性から,利用範囲の増 加は100海里程度しか期待できない。したがつて、利用 範囲を拡げるには局の数を増やすか、あるいは長距離用 の航行援助装置を新しく開発するかである。現在各国が 力を注いでいるのは,長距離用航行援助装置であるが, 1957年秋の ICAO (International Civil Aviation Organization) の会議でも開発されつつある幾つかの方式に ついての紹介がなされただけで, 実用上十分に満足なも

のとして標準化されるまでには、まだある程度の時間を 要するようである。

この会議で紹介された 方式は、Radio Mesh (フランス)、Dectra、Delrac、Doppler (イギリス)、Navarho、Loran-C、Omega (アメリカ) であるが、1960年秋、ワシントンで開催された第6回国際航路標識会議に提出された Loran-C に関するアメリカからの報告が手元にあるので、これによつて、Laran-C の現況を御紹介することとしたい。

# 1. Loran-C の歴史

ロランCは1947年のITU会議において電波航行用として割当てられた90~110kcの長波帯を使用した、パルスによる双曲線航行法である。

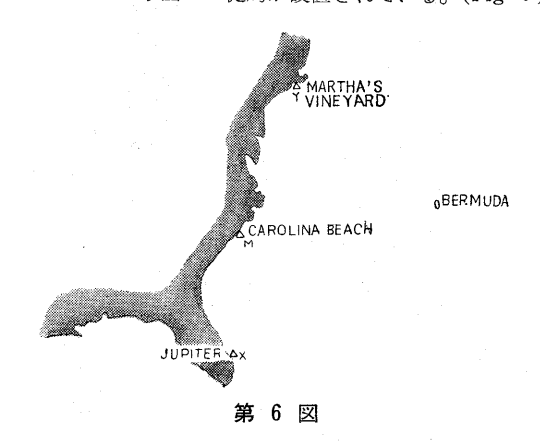
そもそもアメリカでは、第2次大戦の終り頃から長波によるロラン方式の検討を始め、180kcの周波数を使つたロラン局を設置して空軍の援助の下に各種のテストを行つたが、これはパルス波形を一致させる方式であつたために、パルス波形の立ち上りが急峻とならず標準ロランよりも精度が悪くて失敗に終つてしまつた。

そとで1945年の初めに、全方向式電波標識として知られている NAVAGLOBE の送信周波数を、数100サイクルで変調して、その位相により距離を求めて位置を得ようとする NAVARHO 方式が開発され、調査が行なわれた。との方式は 90~100kc の周波数を使用するもので、その後1957年まで調査検討が加えられたようであるが、結局そとで打ち切られた。つまり方式上から得られる精度の限界に見切りをつけたものと思われる。

一方、スペリーでは長波ロランの精度を高める方式として CYCLAN 方式を開発し、空軍がその調査に当つた。これはロランパルスに含まれる無線周波を一致させる方法をとつたので、ひじように高い精度が得られたということである。CYCLAN では180kcと200kcの2つの周波数を使用し、パルス波形(包絡線)を正確に一致させる必要性を少なくすることが考えられた。\*この方式は一応成功し、このテスト中に、100kcのロラン方式で十分正確に包絡線を一致させることが可能であることがはつきりした。ここで CYCLAN 計画は CYTAC と改称されることになつた。

1952年から1955年にかけての広範囲にわたる調査の結果、この方式は広大な利用面積に、信頼できる高精度の航行情報をもたらすことができると認められた。1956年に空軍からコーストガードに一切が移管され、高精度航行装置としてこの CYTAC 局が建設され、 更に調査が続行されることとなつた。これまで使われていた送信装置がアメリカ東海岸に設置されて、計画の名称も Loran -C と変更された。これまで軍用であつたものが、ここ

で始めて一般の航行援助装置として登場したのである。 これらは、現在中部大西洋海域をサービス範囲として使用され、北カロリナ州の Fear 岬カロリナビーチに主局、フロリダ州の Jupiter にX従局、マサチユーセツツ州のマーサぶどう園にY従局が設置されている。(Fig•6)



# 2. Loran-C の基本的特性

ロランC送信局の配置は、必要な利用範囲によつて三角形、星形、方形の何れかが選ばれることになる。主局とそれに付属する2つ以上の従局は、特定の繰返し周期でパルス群を送出し、各局の送信の時間関係は正確に一定に保たれている。時間差の測定は先ず包絡線を一致させ、次にそこに含まれる搬送波の位相を精密に一致させて行なう。

局の繰返し周期は基準として、10、 $12^{1}/_{2}$ 、 $16^{2}/_{3}$ 、20、25、 $33^{1}/_{3}$  の 6 つがあり、これに夫々 8 つ の特定周期がある。各送信局は平均送信電力を増やすために、8 つのパルスを1 グループとして送出し、主局だけは群パルスの最後のパルスから $500\sim1200$  マイクロ秒後に9 番目のパルスを送出して、識別させている。

100kc の空間波は、地表波に対して少なくとも30マイクロ秒は遅れて到達するので、送信パルスの立ち上りは 尖頭値まで50~60マイクロ秒で達するようになつており、 受信機はこのパルスの立ち上りの所で、時間及び位相を 測定するので、空間波による妨害は避けられる。このば あいの送信パルスの波形と、これに含まれ搬送波との関係は厳密に保つ必要がある。送信局間の 基線長 は大体 500~800海里程度で、局間の地表面の状況、要求される 利用範囲、送信出力、及び雑音状況によつてきめられる。

現在使われている送信アンテナは、高さが 625 呎の繋 索式のもので、アンテナを中心に 850 呎の放射状アースがとつてある。送信所の敷地としては約55エーカが必要である。

# 3. Loran-C に対する評価

1957年8月から1958年8月までの約1年間にわたつてコーストガードでは、航空機にロランC受信機を搭載し、北及び南大西洋の広範囲にわたつて長距離飛行を行ない方式評価のためのデータを集めた。地表波の範囲におけるこれらのデータは、それまでに船舶を使用して行なつており、このばあいの測定誤差は1/4マイクロ秒以下であることがはつきりしていた。この誤差は距離に直して500 呎以下になる。

したがつて航空機による調査は、空間波の伝播に重点 を置いて行なわれた。この1年間にわたるコーストガー ドのテストによつて出された結論を次に要約する。

ロラン Cの最大利用可能距離は,受信地点の信号対雑音比によつてきまり,この比が 1 対 1 程度まで確実に位置の線を出すことができる。尖頭出力が 1000 kw であれば,海上伝播で昼間は約1700 海里まで,夜間は約1200 海里まで  $0.1\sim0.2$  マイクロ秒の測定誤差内で利用できる。送信出力が100 kw のばあいは,昼間は約1400 海里,夜間は約1000 海里となる。

空間波を利用することによって、利用範囲が増大することは期待できるが、これについては充分に調査がなされたとは云えない。これまでの期間で得られたデータからは、送信出力が 1,000kw のばあい 1回反射波の利用可能距離は夜間は約2800海里、昼間は冬は約2600海里、夏は約2000海里まで利用できる。この空間波を利用するばあいの測定誤差は約 $1\sim1.5$  マイクロ秒となる。

ただし、ことに集められたデータは Fig・6 の局によって調査されたものであり、この装置自体がそもそもは長波ロランの評価のために製作されたもので、これをCYTAC 用に改造し、更にロランC用として改造したものであるので、これがロランCの機能を完全に発揮しているとはいえず、更に機器に改良を加え、システムの較正を厳格にすることによって精度の向上は充分期待できる。

空間波を利用するばあいに、1回反射波だけを利用するばあいは送信出力は100kw程度で充分であるが、2回反射波も利用したいばあいは送信出力は1000kw必要である。ただし夏期は昼間の2回反射波利用は殆んど不可能である。

又,空間波を利用するばあいには、測定しようとする 電波が何回反射波であるか、又,地表波と区別する必要 があるが、その方法については完全に解決された訳では ない。しかし実測から次のようなデータがある。

送信出力が1000kwのとき、送信局から、3400海里の 距離では2及び3回反射波だけで地表波と1回反射波は 受信出来ない。距離が2400海里付近になると、1回反射 波は受信できるが地表波は受信できない。この付近では 1回反射波または2回反射波である。更に1400海里付近 では地表波と1回反射波とが受信される。

この識別には理論的な電界の強さの値と、電波の到達時間差を利用する。実際に測定された時間差の平均値は 下表のようになる。

反射回数	各距離(海里)におけるN回とN-1回り  射波の到達時間差(マイクロ秒)					
$\frac{(N)-}{(N-1)}$	1400	2400	3400			
1-0	53	53	53			
2-1	66	55	53			
3 — 2	107	63	57			
4 — 3	141	84	64			

90~110kc の帯域外で動作する装置に対するロランC の妨害は認められないし、又逆にロランCの受ける妨害も認められていない。しかし、この帯域内に他の無線設

備があるばあいは、利用距離、精度に影響を与える。

# 4. む す び

コーストガードでは現在、一つのロラン送信局でロランAとロランCの両方の信号の周波数を送信させることを考えている。そして将来はあるいはロランAの業務を漸次休止していつてロランCだけを残してゆくようなことができるのではないかと考えているようである。

なお今年秋頃からロランC用の受信機が市販されるということであるが、価格は相当に高価なものとなる。

\* CYCLAN 模様であるについては、パルスではなく持続波によるものであるように書いてあるレポートもあり、その後パルスによるように改良して CY TAC と称したようでもあるが審らかでない。 又周波数についても 160kc と 180kc を使用したと書いてあるレポートもある。

# 第六回国際航路標識会議の状況と USCG で見た電子航法

# 沖電気工業株式会社 川 上 義 郎

#### はしがき

第6回国際航路標識会議 (The Sixth International Technical Conference on Lighthouses and other Aids to Navigation)は1929年英国 London において、初めて開かれて以来5年毎に行われ、近年では1955年オランダの Scheveningen において開催された。会議の目的は領海を有する世界各国からの航路標識関係者が集まり、技術情報の交換を行つて、海上航法に関する援助施設の発展に役立たせんとするものである。

今回の会議は1960年9月26日より9月30日の5日間 United States Coast Guard の主催により Washington の Main State Department Building (国務省) におい て開かれた。

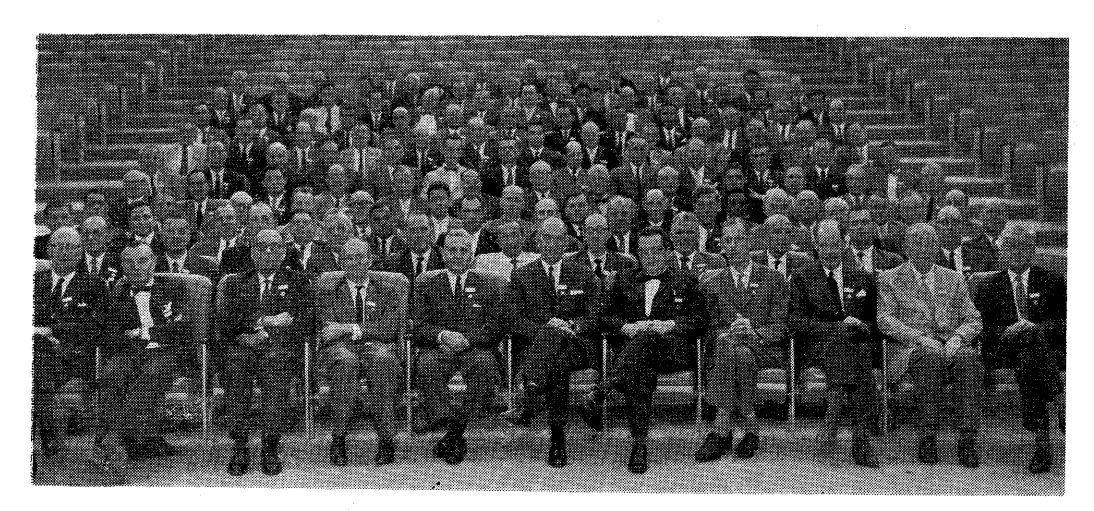
参加国社 Argentina, Australia, Brazil, Canada, China (Taiwan), Chile, Colombia, Denmark, Dominician Republic, Ethiopia, Finland, France, Germany, Greece, Haiti, Iceland, India, Ireland, Italy, Japan, Korea, The Netherlands, Ncaragua, Norway, Panama Canal-Zone Government, Peru, Poland, Portugal, Scotland (Clyde Lighthouse), Scotland (Northern Lighthouse Board), Spain, Sweden, Turkey, United Arab Repu-

blic, United Kingdom, Uruguay, U.S.A., U.S.S.R., Venezuela, Yugoslavia の40ヶ国であつて、参加した代表及び随員は194名(内89名がUSA)の多きを数えた。 筆者は日本代表の前海上保安庁灯台部長、安井正己氏の随員として日本電気株式会社の広沢、国崎及び当社の木戸諸先輩と共に会議に列席し、また会議終了後に行われた Coast Guard の航法施設見学の機会を与えられたので敢て本誌を借り御報告する次第です。

# 1. 会議の状況

会議はA, B, 2つの委員会に別れて次の諸項目に就いて討議された。

	A 委員会		
第1項目	灯	台	16件
第2項目	船	舶	7件
第3項目	浮	標	6件
第4項目	灯	火	46件
	B委員会		
第5項目	エネルギー	源	9件
第6項目	音 響 信	号	14件
第7項目	自動及び 遠隔制	御	6件
第8項目	管 理 機	構	13件



第1図 各 国 代 表

第9項目 電 子 工 学 35件

参加国から提出された論文数を項目別に分類して第2 図に示す。我国は Germany, USA, UK, に続いて4位であり、全部で13件、その論文名は次の通りである。

第1項目 御前岩灯標の建設について

第2項目 灯台業務用船

第4項目 日本における風力の利用

第4項目 太陽電池を電源とした無人灯台

第5項目 ノクトビジョンの暗夜及び霧中におけ

る航行への応用

第6項目 霧信号機の音達距離

第6項目 海上における音の減衰

第6項目 霧信号機の自動制御について

第7項目 日本における無人灯台について

第8項目 機構及び管理

第8項目 航路標識職員の養成ならびに研修

第9項目 揺動Xバンド周波数によるパルス変調

レイマークビーコン

第9項目 レーダーレフレクターの測定方法 ここでは本誌に関連の深い第9項目の電子工学の論文 概要を紹介する。

# (1) 方向探知に関する論文

古くから使用された電子航法であるが、新らしい技術 を取入れて方探局では機器の信頼度、送信方式、受信機 は高精度、自動化の改良実験が行なわれている。

An Electronic Clock Corder For Marine Radio Beacons; United Kingdom

時分割方式で送信されるラジオビーコン群の正確な送信時間制御に用うる為、従来の Chronometer や Pendulum Clock に代つて信頼度の高い装置を開発した。時間基準は 8 KC/S の水晶発振子を用い、これをデカトロン分周器、冷陰極管制御により所定の符号を得ている。

精度は一週間一秒以内である。

Changes in United States Maritime Radio Beacon Equipment; United States

合衆国で使用するラジオビーコン送信機の近年の進歩 を報ずる。

- a) 合衆国規格B, C, D型を電気的, 機械的に再設計を行い統一した型として操作の簡便, 信頼度の向上を計つた。
- b)従来のAM方式に加えて二重送信方式を行える様 改良した。
  - c) トランジスター化した警報装置の再設計を行つた。
- d) 空中線と52オーム送信線路間に SWR 指示器を 設け相対インピーダンスの連続監視を行うこととした。

New Operating Conditions For Marine Radio Beacons of the USSR; USSR

二年以上にわたる実験の結果 USSR の ラジオビーコンは下記の様に変更した。

- a) ラジオビーコンの一群は一分毎の送信時間々隔で 六局迄とする。
- b) 晴天,悪天候を問わず同一送信方式を取る。との方式はパリ協定による欧州地区の局識別の為に時間々隔を異ならしめ,且つ天候による二種の送信方式より便利であると反論する。

Medium Frequency Radio Beacons in India; India インドにおけるラジオビーコン局の設置状況を説明する。1932年に一局設けたが船舶の要求により1950年から現在迄,英国,日本,デンマーク等から調達した7局があり将来も数局増設の予定である。

A Transistorized Buoy Transmitter; Canada

浮標に取付け、その周辺の方探及び逆に遠方から浮標位置監視に用うる簡便なクリスタル制御による 4 MC/S 帯の軽量トランジスター送信機を開発した。送信機は

第2図 各国 图明論文 発表数

ż

1個のクリスタルと3個のトランジスターからなり9ft の空中線を使用して7mileの地点から充分な受信が行われた。

Microwave Position-Fixing System; Canada

レーダーを持たない小型船用船位測定装置を開発した。マイクロ波の鋭い指向性を利用して簡単に方探を行う方式から始めて、0.02度の高精度で測定出来る Dual Beam CRT Monitor を用いた方法を説明する。

An Automatic Marine Direction Finder For Use with M.F. Radio Beacon; United Kingdom

250~550MC/S の中波に使用する自動方探器で,自動操作は受信機に AGC の採用とゴニオメーターの回転にサーボ駆動を用いて行い,人為的に初めに方探局と同調を取るのみにて,操作の簡単,高感度,連続探知且つ拡声器で聴取も出来る探知距離 50mile,方位確度 ½ 度以下の Marconi 製 ND103 型装置を説明する。

Direction Finders aboard Aids to Navigation Vessels operated by the Government of the German Federal Republic; Germany

灯船や設標船の航行用以外に使用したゴニオメーター による最小受信方式とブラウン管による直視方式の二種 の方探器の優秀性を述べる。その用途は

- a) ビーコン局有効範囲の限定
- b) 相互干渉, 大気の影響, 異状伝播の観測
- c) 浮標, 灯船の位置確認

# (2) レーダービーコンに関する論文

ここに発表されたビーコンはいづれも船のレーダーをそのまま利用するものであり、利用者側は何等の新設備を必要としない点を特徴としている。これ等の方式に対して米国、カナダ、ペルシャは船の装備するレーダー自身のみで必要な情報の90~95%が得られるので浮標上にRadar Reflector を設ける立場を主張した。英国、オランダ(日本と同形式)はレーダーで確認し難い地点標識、初認標識としてレーダーの能力を一層高めるものであり、簡単な装置であるから普及せしめる意向である。特に英国ではトランジスターを用い小型軽量化した送信機を浮標上に取付け、狭い水路に並んだ船舶の識別に利用することを考えている。

An In-Band Responder Beacon for use with Marchant Marine Radar in the 3cm Band; United Kingdom

3 cm 帯の Responder Beacon で送信管にマグネトロンを用いプランジャー機構により 3 cm 帯船用レーダーバンドにおいて揺動する電波を発射し、直接受信 PPI上にて送信局の地点に続く輝点信号群を観測する。近接した時に輝点群が扇形状に広がり妨害となるのを防ぐ為に、送信を5 分間隔に onoff して、揺動周期を75 秒とし て

いる。この方法によると受信レーダーの回転数 30rpm,中間周波帯域巾 10 MC/S とすれば  $7 \sim 8$  回転の間,受信出来で,その機会が5 分間に4 回あることになる。かくて妨害を減じ得て本装置を Production Model とした。

A Ramark Beacon of Pmulsed Emission at Warbling X Band Frequency; Japan

送信管にクライストロンを用い、その反射電極電圧を変化させ 3 cm 帯船用レーダーバンドにおいて揺動する電波を発射し、受信 PPI 上に送信局の方位を示す 輝線標識を得る。輝線はレーダーの回転毎に現われ、しかもレーダー空中線の指向角度内に多数の輝線が現われない様な揺動周波数 120~250c/s を用いる。近距離妨害を防ぐ為には3分間隔毎の onoff を行う。本装置は目下観音崎灯台に設置され実用化されている。

A Frequency Sweeping Radar Beacon for Marine Navigation; France

Responder Beacon の実験報告で、実験は10cm 帯レーダーで行つている。装置はレーダーから受信したパルス信号によりコードパルスを作り、これを揺動トリガーとして送信管のカーシノトロンからレーダーバンド域を揺動する送信を行う。近距離妨害は送信局の設置点を航行海域から遠ざけることにより防ぐ。

# (3) 港湾レーダーに関する論文

ハーバーレーダーではその運用方法が問題となつた。ドイツ、英国ではレーダー局から出入港船に 150MC/S 帯のFM 通信により情報を提供するが、各船の識別は出来ないのではないかとの質問に対して、VHF の呼掛けのみで充分船側は了解して行動するとのことであるが、カナダは定期的に船舶と連絡を取ることにしている。またFM 受信機の普及に対してもパイロットが受信機を所持して乗船し利用しているが、港内船も近来レーダー情報の有用性がわかるにつれ受信機を装備して来ている。レーダーも本来の業務ばかりでなく、浮標の位置較正や難船の早期探知に役立つている。米国では船自身で判断して行動させる方針から Reflector の拡充に意を払い本装置の重要性を認めていない。

Safety Radar Facility, their Limit and Possibility in Maritime Signal Service; Germany

ドイツの Elbe と Wesser に設置した港湾レーダーの 能力を他の浮標や灯台, 灯船等の航法援助施設と比較し ている。

航法援助の方法はレーダー PPI によつて 観測 した航路内にある船の位置、周辺の船の位置と移動方向,水位,天候等を VHF で送信して船に知らせる。この方法によれば,情報は比較的短時間に連続的に船に与えられ,船側では複雑な判断を要することなく,耳で聞きながら海図をしらべて操作出来,中近距離の交通量の多い海域では最も有効かつ経済的な手段である。

Harbour Supervision Radar at Liverpool; United Kingdom

リバプール港では1948年6月以来,世界で最初の港湾レーダーを使用している。その機能は港湾当局が停泊船や航行船の位置を知り、又浮標、灯船の位置較正に使用したり、視界不良の際ハーグ条約で定めたVHF送信装置から航行に必要な情報を船に連絡して安全航行をせしめる。この寄与を受けた船舶は過去約10年間に5,000隻,30億tonにのぼる。レーダー装置は1959年2月高分解能の3cm帯レーダーと交換したが空中線1装置に対してoff Centerを施した7装置のPPIにより Mersey河口の屈曲した水路を順次拡大して観測している。

Rotterdam's Shore-Based Radar Chain; The Netherland

1956年11月に Rotterdam 港から北海に通ずる32.5km の航路に7装置の 3 cm 帯港湾レーダーを設置した。この航路は特に霧が多いのでレーダー情報を直接船舶に VHF で通信して、安全航行と運航の円滑化を計つている。これによる安全度の増加と運航能率の向上は算定が 困難であるが年間約3,000 隻の船が情報を受けている。

The Measuring of Reflecting Surface in Harbours; Germany

Hamburg 港に港湾レーダーを設置する為に、港内の反射物標を調査して、レーダーは特にビーム巾の狭い、かつサイドローブの少ないものである必要を論じている。

New Development in the Electronic Aid To Navigation System of the United Arab Republic; United Arab Republic

1952年以来電波航法援助設備の導入計画を検討して来たが、現在迄 Alexandria 港の VHF 通信網と UAR 内の17の灯台を結ぶ R/T 網を完成した。尚近年中に 6 ケ所の R/B 局と港湾レーダー 1 局を建設する予定である。

The Relation between Radar-Ranges and Meteorogical Conditions in the Troposhere above the German Sea; Germany

海上に発生した Evaporation Duct がレーダー探知距離に影響することを、4, 15, 200cm の各波長で測定した結果から説明している。

# (4) レーダー映像伝送に関する論文

この種の報告はドイツのみであつたが、フランスは港内の入江で実験して、反射波の干渉が多く、またパリ市内の二つの空港間の実験では狭帯域にすると著しく画質が劣化して実用し得なかつた。しかし目下は空軍がこの方法の実現に努力している。カナダも既に実験を行い、現在は船舶識別の方法を研究中である。米国でも識別上の問題はあるが、大小各種船舶の要望が多いのでTVを用うる伝送方式を研究中である。

Radar Picture Transmission; Germany

細長い水路や港湾の入江等監視したい場合幾つかのレーダー装置が必要となる。又レーダーの可視域を有効ならしめる為に設置点は意外な避地となることもある。この様な場合はレーダー像を便利な地点に再現して監視し、その情報を船に流すのが経済的である。

ドイツの Elbe と Wesser 河に設けられた港湾レーダーに適用する為にレーダー像の伝送を研究した。その結果直接映像をマイクロ波で送る事は帯域の制限を受けて、分解能の高い港湾レーダーでは困難である。しかし映像伝送の前に蓄像管を用いて帯域圧縮を行うならビーム巾0.8度パルス巾0.08μs のレーダー像が350KC/Sの帯域で送信して、レーダー情報の損失が認められないので、この方式を用うるのが良い。

Television Transmission of Radar Images, Limitation of the Frequency Range of Radar Signals by Utilizing the Line Storage Tube with Circular Deflection of the Cathode-Ray; Germany

映像帯域 6 MC で得られる, ビーム巾 0.6 度パルス巾  $0.08\mu s$  のレーダー像と,これを蓄像管を用いて 400 KC/S に圧縮して送信し 30 km の区間で再び送り返して得られたレーダー像を比較して,両者の間では特に分解能の差異が認められないと報じている。

#### (5) レーダー波の反射に関する論文

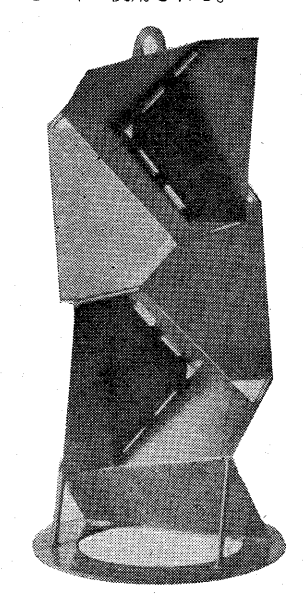
米国,英国,カナダはレーダーレフレクターの設置に 力を入れており、特に米国の浮標は全てレフレクターを 取付けた型に統一した。種々の型の探知距離測定の実験 が話題となり、性能は鉄、銅、アルミいづれも大差ない が、機械的強度と塗装に留意しなければならないとの事 である。

ドイツは海図に光達距離を規定する如く目標のレーダー探知距離を規定する目的で反射性能の実験を行つているが、海上に孤立した目標はその可能性があつても陸地上の目標は反射が弱く定め難いと云うオランダの意見もある。

A Classification of Radar Reflector in Use at Present; United Kingdom

1955年の国際会議で各種海上浮標のレーダー反射特性を調査する委員会が設けられた。更に委員会は小委員会を設けて会議に出席する各国の現在使用するレーダーレフレクターの報告を集めて分類した。現用のレフレクターは二面型、三面型、又両者の組合せであつて基本型は一致しているが、その大きさは各国共著しく相違している。三面型は浮標上にかなり多く設けられ、その八面体五面体は Daymark としても便利であるが浮標の浮き沈みで損傷し易く、製作も困難の為浮標の構造に取入れ難い。二面型は陸上標識に用いられるが垂直指向性が狭い

ので取付に注意を要する。其の他三面型を渦巻状に垂直 に積上げた型も一部に使用される。



第3図 スパイラル型レフクレター

Radar Reflector now used in the Aids to Navigation System of the United States; United States

1950年来浮標に取付けるレーダーレフレクターの研究 を行い投影面積 26sqft の二面型を標準型として各種の 浮標に取付けている。現在は二面型レフレクターが円偏 波を用いたレーダーに使用出来るか, 又変更せねばなら ないかに就いて研究している。

Variable Dielectric Lenses as Radar Reflector; United States

誘電体常数が内部に近づく程漸増する球形によって Spherical Corner より 8 倍も優れた反射能力を有する 全指向性レフレクターが得られる事を報じている。構造 は Lunberg Lens の様に作るが、 Lunberg Lens の反 射角が140度に対して360度になし得る。

Measuring Method for Radar Reflector; Japan レーダーレフレクターや、他のレーダー反射物標の反 射有効面積を求めるのに、レーダーエコーと信号発生器 から得られる既知信号と直接比較測定する方法を述べて いる。

A Note on the theoretical Maximum Range to be expected From a Radar Reflector; United Kingdom

MIT laboratory series の13巻に述べられている Radar Antenna と Reflector の高さと、その距離から伝 播常数を求める計算を利用して、 Radar Constant から 設計せんとする Radar Reflector の最大有効距離を求め る図表を得ている。

Range Comparison of Radar Reflectors For Woo-

den Spar Bouys, Canada

木製の円形浮標と、この上に設けた3種の金属製 Reflector に就いて有効距離を比較している。

木製円形

0.6mile

4 1/4 吋四面体の28 吋積 トげ 2.18 mile

14吋の四面体

2.43mile

18吋の四面体

2.93mile

Development of an Instrument For Objective Measuring and Recording of the Reflection Properties of Radar Targets: Germany

反射特性を測定せんとする 物標を レーダー PPI 上に て小区画内に規定して,区画を生ぜしめたパルスに同期 してオシロスコープとレコーダーを駆動し反射入力を観 測し、又自動的に記録せしめる方法である。この方法に よれば移動する物標の反射特性も連続的にしかも短時間 に測定出来る。

Results of some Measurments made with a Measuring Instrument For Echo Intensity to determine the Radar Reflection Range of Aids to Navigation; Germany

灯台や灯浮標の光達距離が規定される様, 標準レーダ ーに対する灯台や浮標の探知可能距離を規定するために 上に述べた装置により灯台や浮標の反射特性を測定して いる。理論に合致する良好な特性が得られ規定の可能性 があると報じている。

# (6) ロラン、デツカ、コンソルに関する論文

米国のロラン,英国のデツカ,ドイツのコンソルと各 国夫々の特長を有する定評のある航法援助装置であるせ いか、討議の対称となる問題は無かつた。

ロランC局は最近中部地中海に最初の米国東部海岸局 より出力は小さいが Timing Accuracy を向上せしめた 装置を設置している。そして商用受信機は船用、航空機 用共に英米両国で製造しており1961年8月頃には完成見 込みとのことであつた。

Standard Loran, Technical and Operational Advance; United States

ロランAに施された最近の改良点を報じている。受信 機の自動追跡記録装置、容易に組立てられるアルミニュ ーム合金製のアンテナ,フアイバーグラス製の受信アン テナ等である。

Loran for Precision Navigator; United States

現在使用されているロランA装置の Envelope Matching に, 更に Phase Difference の測定を 付加する事 により現在の最小誤差限界 450ft を 25ft に向上させ得 る。

Accuracy of Loran-C; United States

1957年米国東部海岸に設置されたロランCの Timing

Accuracy は  $\pm 0.2\mu$ s 以内であつて, 有効範囲675,000 q mile にわたり精度は  $200\sim1,00$ )ft で位置を 求める 事が出来た。又中部地中海の新設局もより以上の安定度 を有しており、これ等の ロランC Chart は既に発行されている。

Loran-C, a Precision Radionavigation System; United States

ロランCの性能を説明する。米国東部海岸に設置されたロランCの飛行機及び船舶による実験から高精度,長距離の航法装置である事が示された。Coast Guardでは現在ロランAにロランCを併設して使用する事を調査しており、将来はAを中止しCのみとする可能性があると述べている。

Report on the Utilization of the Decca Navigator System; United Kingdom

デツカは過去14年間にわたり航法援助機器として用いられており、現在西ヨーロツパに9局、ペルシヤ湾に2局、インドに2局、カナダに4局設けられ、5,000隻以上の船が利用している。その応用も航法援助のみならず、水路や浮標の位置測定、海岸の測量にも用いられる。

Observation on Changes of Decometer Indications in the Area of the German Decca Chain; Germany

ドイツのデツカ網が完成以来数年間にわたり Decometer の指示を観測した。その結果夜間と冬期に は指示が不規則となり特に氷点下に温度が下ると甚しい。これは3,000m 波の伝播速度が変る為であつて確度を更に向上させる為には受信側で補正を施すことが望ましい。

Experience and Results from Observation of European Consol Beacons; Germany

コンソルビーコンの有効範囲内で実験観測を行い,受 信誤差に影響する各種要素を説明する。

# (7) テレメタリングに関する論文

Wind Velocity Telemetering System; Canada

カナダの山中にある主要貫通路になだれが多いが、これを事前に知るには風向と風速を測る事により察知出来る。この為風向は8方向、風速は計器の回転数を夫々9種の音声周波を用い1650KC/Sを搬送波としてAM変調を加へ送信する。受信側は指令を出すことの出来る便利な地点にあつて、これを受信記録し危険状態になると交通 感断を行つている。

A Radio Linked Telemetering System; United Kingdom

基地と船舶の連絡通信にVHFが国際条約で割当てられ、基地から航路の水深、天候等の情報を常時連絡したいため、この場合の避地の刻々と変る状況を中央指令室に集めるのに有用なテレメタリングを述べる。

以上が国際会議の状況であるが、これ等の新らしい方

式の採用に当つては充分な配慮が払らわれねばならぬことが強調された。例えば英国では効果の評定に船から形式的な報告書を取つたが、この方法は真実に乏しく近頃は船員の意見を直接会話により集計している。米国では段階に分けて 1) Coast Guard で実用化試験を行い。2) 航海士の意見を会話で聞き。3) 技術者を商船に乗せて調査する。これ等を総合して評価するとの事である。

閉会式に際して次回は1965年ローマにおいて第7回国際会議を開催することに決定した。

# 2. USCG で見た電子航法

会議終了後、見学会が会議参加者の為に催された。見学先は灯台機器の製作修理を行う USCG Yard、光学及び音響に関する機器の研究開発を行う Electronic Engineering Station (EES)、航法援助機器の製造販売をしている16会社からの出品展示会、New York 港内で実用される援助施設の状況等であるが、ここではEESで見学した機器の概況を述べることとする。

EESは New-Jersey 州, Delaware 湾の入口で海岸は世界一と称される美しく安全な海水浴場として名高いWildwood にある。この地方の産業は漁業のみで製造工場は殆んどないが、夏期には行楽客で12,000の人口が250,000人に急増する。隣町の Cape May は合衆国をも最古の海岸行楽地であり、19世紀には十代大統領の保養地で現在もその面影をしのばせる建造物が散見される。しかし近年この地の海岸は侵蝕作用により砂地は Wildwood に移動して所を変えて了つたとのことである。

EES は Washington 市にある CG Headquarters の Electonics Engineering Division の指揮下にあり、主 として電子航法援助機器の開発研究と実用化試験を行う 唯一の機関である。電子機器である限りはこの機関の評 価と認定がなければ生産に移行出来ない権限を持つてい る。中波を扱う実験では特に広大な敷地を必要とするが, その点ととは海水を含む砂地で一様な高い導電性を有し 電子妨害の恐れもない広々とした約400エーカーの大き さを持ち電波伝播や電界測定には絶好の地である。この 中に625フィートと272フィートの各1本,12フィートが 2本の夫々空中線塔が建てられて、実験用に装備せる機 器はロランA及びC,ラジオビーコン,方探器,レーダー, マイクロウエーブビーコンがある。またここでは過去2 年来ロランCの技術要員養成の為の訓練学校を設けCG の士官を中心として諸外国の技術者も含め、8週間の教 程で現在迄200人を養成しているこ。この研究者はスタ ツフが5名の士官,25名の下士官と9名の民間技術者か らなる39名で構成されている。研究室の設備も非常に行 届いており、実験室、機械工場、パルス測定や電界強度

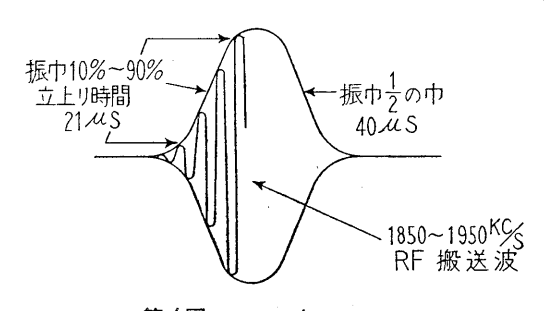
測定に使用する二重シールド部屋, 精密測定器 (0.5%以上の精度)の保存と較正の為の空調室等がある。測定器も扱う機種が100KC/S から10,000MC/S の広範 囲にわたりシンクロスコープ, 信号発生器, 電圧及び周波数標準器, 増巾器, 定電圧源, インピーダンスブリツジ,電界強度計, 自記記録, パルス発生器, 周波数分析器,電力計と多種多様に揃えられている。

次にここで研究している主要装置を既知の事柄とは思うが説明させて頂く。

#### ロランA

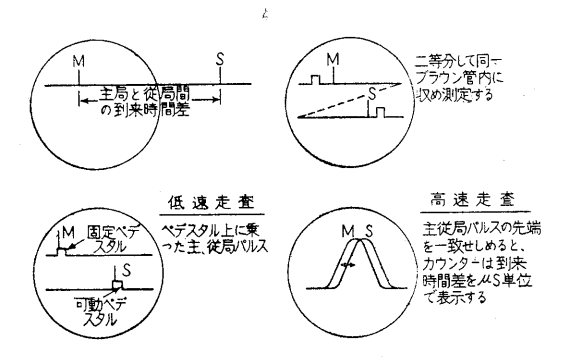
ロランA(以前は標準ロランと呼ばれ現在は改称されている)は1.85~1.95MC/S帯のパルス送信を利用した遠距離双曲線航法援助装置である。有効範囲は地表波で800海里,夜間は空間波を利用して1400海里以上にも達して測位精度は一般に1%以内である。第二次大戦の初期1943年に活用され始め,現在は合衆国に49,カナダ6,デンマーク3,英国とアイスランドに各1の計63が実用されている。

普通に使用されるロランA網は主局1と従局2の3局 から構成され、主局と1つの従局が夫々一対となつて得 られる二対が必要である。三局は他のロラン網と識別す る為に特定の搬送周波数と各対に特定のパルス繰返し数 で作動する。図の2X;L5,2X;L6は周波数1850 KC/S, 繰返し数X;L 5 は 25<sup>5</sup>/<sub>16</sub>PPS, X;L 6 は 25<sup>6</sup>/<sub>16</sub>PP Sである。主局と従局間は夫々同期制御して送信する 為、 信号の減衰が少ない海上の通路によって結ぶので島とか 半島の突端に設けられ、距離は300万至500海里に選ばれ る。航海士は一対の局から到来する信号の到着時間差を 測定するが、この時間差の等しい点の軌跡は双曲線をな しこれを位置線と呼んでいる。第4図に示す様なパルス 波形を受信機では直接オシログラフによつて観測し時間 差をマイクロ秒の単位で読み取る。即ち図によれば航 海士はロラン受信機を 255/1ePPS で送られるパルスのみ 受信出来る様に設定する。一対の送信方式は常に最初に 主局のパルスが現われ次いで従局のパルスが送られる様 な一定の遅延をほどこして同期を取っているので容易 に到着時間差を第5図に示す操作によりカウンターから



第4図 ロランAのパルス

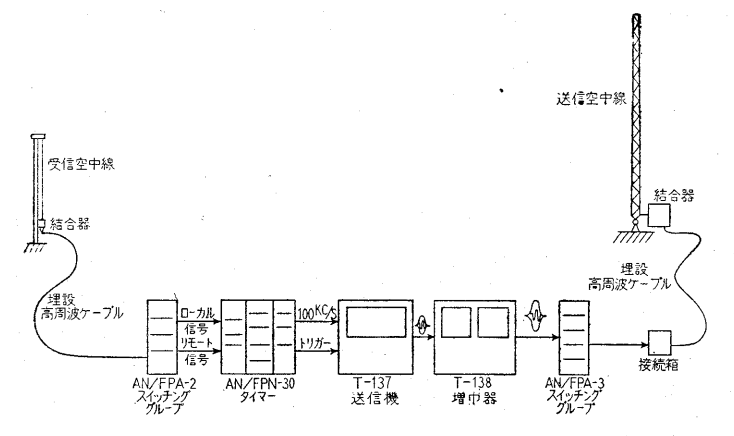
読み取り予め作製発行されているロランチャート上に位置線を求める。次いで再び受信機を  $25^{\circ}/_{16}$ PPS に設定し、もう一対の局の時間差から位置線を求めると、この二本の位置線の交点が現在位置であつて、天候に左右されることなく容易に決定される。この方式では広大な百万平方哩にも及ぶサービス範囲では送信時間制御の誤差が非常に大きく影響してくるので特に正確を期さねばならない。主局は自からサービス海面に送信すると同時に時間基準を打立て、従局はこの基準に従つて送信を行うが1%の精度を保証する為には同期精度は  $\pm 2\mu$ S 以内になければならない。主局では従局の送信を受信して絶えず監視し異状のある場合は警報を発する仕掛けになっている。



第5図 測 定 原 理

第6図は現在合衆国で使用する局の構成であるが、主 従いづれも同型式である。簡単な受信空中線により捕え たリモートとローカル信号は高周波ケーブルでスイッチ ンググループに送られ強いローカル信号は減衰せしめ, 弱いリモートはそのままで受信空中線の位置に相当する 遅延を調整してタイマーに加えられる。タイマーはこれ 等装置の中でも最も重要な装置であつて,全ての基本と なる周波数 100KC/S を 10-9 の安定度で作る。 これか ら分周してパルス繰返し数を得、次いで送信機では周波 数てい倍を行つて搬送波を作る。従局のタイマーは 100 KC/S が主局のそれと同一位相と 周波数を保つ様に自動 制御の役割をなし、これが狂うと主局のタイマーは動揺 した不安定パルスを出し警報する。一般にロラン局は各 装置の故障に備えて二重になつていて従局は2個のタイ マーと送信機を有し、主局は通常ダブルマスターと称し 各従局に対し送信機を共通に使用するので4個のタイマ ーと2個の送信機から構成される。送信機は160kwの出 力を有し、増巾器は 1000kw 迄増巾する場合に限り使用 している。ここでは出力は272と125フィートの各空中線 塔とT型ワイヤー空中線の3種を使用して実験を行つて いた。

ロランAに関して現在なされている主な研究項目はロラン受信機に計算回路を付加して, これに予定航路を設



第6図 ロ ラ ン A の 構 成

定すれば其の後の船の行動による航路上の偏位や到着点 迄の距離が自動的に指示される装置、大電力局用に増巾 器の側帯波を改善した TM-325 と AM-1700 と称する 組合せの出力 1 MW の送信機と増巾器、局間距離を増大 しても充分安定に S/N 比 り で同期制御可能なタイマー 等の実用化試験が行われていた。

#### ロランC

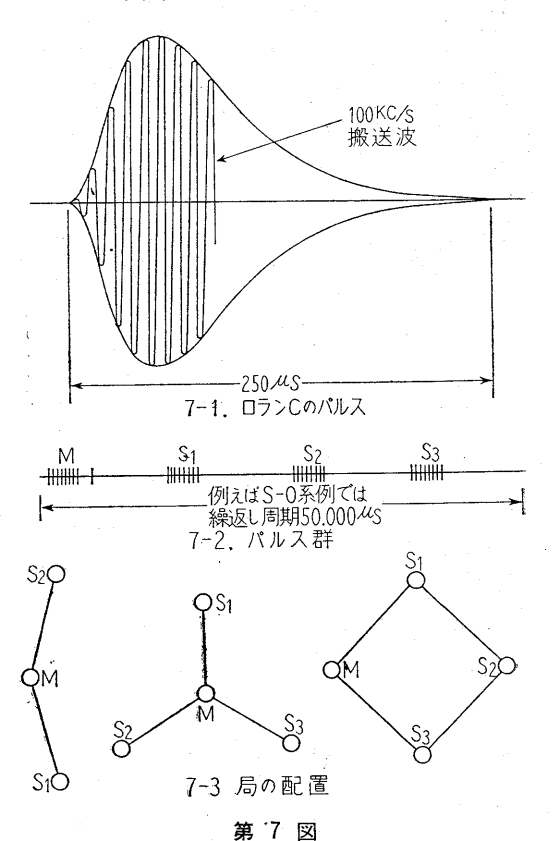
ロランAと同じ様に船舶および航空機用の双曲線航法 援助機器としてパルス送信を行なう点は何等変りない。 1944年合衆国では地上伝播の減衰を軽減するために 100 kc 帯の低周波ロランの実験を行なつた。 また1945年頃から空軍は CYCLAN と称する180kc と 200kc を用いた軍用の航法装置を研究していた。いづれも実用には到らなかつたが得られた基礎資料に基づき1951年から高精度超遠距離用として CYTAC と称する 100kc/s のパルス位相の比較による双曲線航法の研究に着手し、1956年に完成して、これがロランCに改称されている。

## ロランAとの基本的な相違は

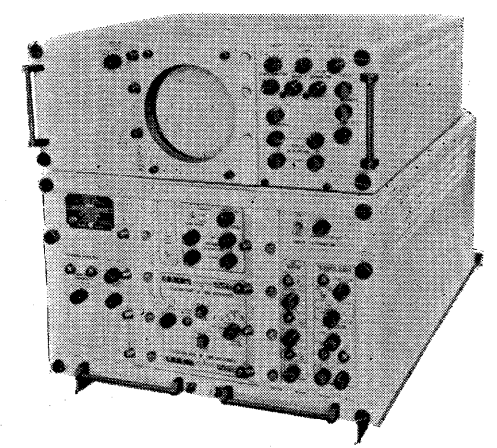
- (1) 1850, 1900, 1950KC/Sの送信搬送周波数に代って 100KC/S を用いる。
- (2) パルスエンベロープの比較も行なうが、基本測 定は搬送波の位相すなわち Cycle Match を行な つている。

ロランCの周波数は陸上でもほとんど減衰を生ずることなく地上到達距離が600乃至1200海里,海上1500海里,空間波は現在反射波の次数識別が困難なため利用されていないが3000海里にも達する。ロランCの精度はRFの位相測定によるので非常に高い。第7-1図に示すパルス巾と形状を規定した波形が送信され、受信機は二対の局からの到来時間差をまずパルス波形の比較から粗測して、次に位相比較により精測する。位相測定は空間波の混合をさけた波形の先端で行なつて0.1µsの精度で読み取り得る。ロランCの一群は7-3図のように3局構

成で星型,角型の 4 局構成が考えられて何れも同一の 100 kc 搬送波を送信する。一群のパルス繰返し数も同一であるが,主局に続いて従局  $(S_1)$ ,従局  $(S_2)$  と局間距離から計算された一定時間差をおいて送信され,サービス範囲内では受信機への到来パルス順序が常に  $M, S_1, S_2, S_3$ ,の順となるようにしてあり,受信機はこれを自動的に読み取つている。また 7-2 図のように各局から夫々 1 個でなく近接した 8 個のパルス群を送信することにしているが,受信に際して積分効果を利用してS/N 比を向上せし

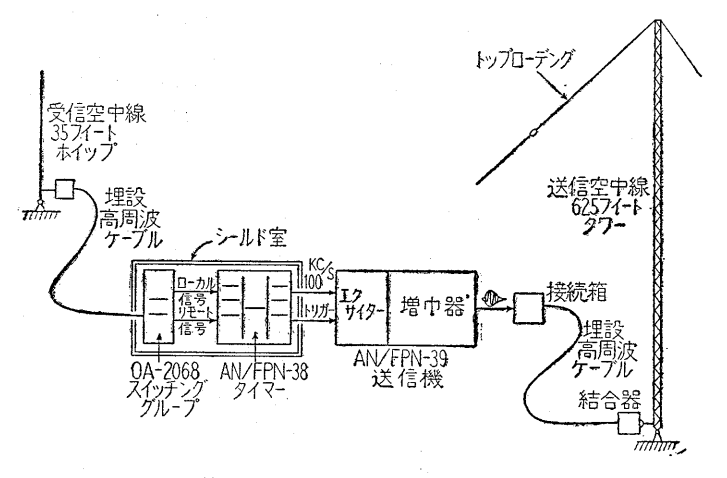


. ...



第8図 ロランC受信機

第9図は EES にある1局の構成図でロランA局と同**國**様にホイツプ空中線より受信,スイツチンググループ,タイマー,送信機を経て625フイートの空中線塔から送信される。



第9図ロ ラ ン (

ここではこれ等の機器を使用して前述の技術者養成および空間波反射次数の識別による利用方法,ロランCを利用した自動航法装置の研究を進めているとのことであった。

#### ラジオビーコン

船用ラジオビーコンは1922年 New York 港に設置されたのを皮切りに、今日新しい機器が採用されている中にあつて、依然として重要な中近距離航法援助機器として、その数 195 局が現用されている。さらに合衆国では拡充の方針であるが現在はあまりにも密集し過ぎていて相互干渉が生じ新設する場合の問題点となつている。

船舶や航空機の方向探知に使用されるビーコン局の型式は特別級とA, B, C, D, の4クラスにわけられ有効距離は各々350,200,100,20,10海里とし、干渉を

さけるために地域に適した型を限定した有効距離内で使用するよう特に注意を払っている。 ラジオビーコンは 285KC/S~325KC/S 帯の周波数を用い,通常1020C/S の変調を行なつて送信する。そしてビーコン局の識別のために一般には送信周波数を異ならしめているが、特別級とA級では航空機へのサービスもかねて変調周波数を異ならしめ連続送信方式を用いている。

船用のみに使用するビーコンは同一周波数を発する3局を一群とし海岸に設置されている。3局相互の送信は時分割方式を採用し、晴天時は1時間の中2回20分の間隔をおいて10分間送信する。この10分間に各局は交互に1分送信して2分休止の方式を取つている。悪天時は各局は3分毎に交互に連続送信を行なつている。したがつて航海士は3分以内に方位の確認が出来ることとなる。

目下EESでは二重送信方式の研究を行なつている。 この方式は今迄の変調周波数に相当する差を有する2つ の周波数を送信するのであつて、今迄のAM方式と比べ て周波数スペクトラムは第10図に示すようにその側帯波

> に相当する程度であるから干渉の除去 にはきわめて有効なわけである。これ の採用に当つては現用の方探器の選択 度の調査が充分でないのでしばらく時 を要するとのことである。

> 第10図は最も新しい型式のビーコン 局の構成であつて、T-747 送信機 と AM-2353 増巾機の組合せは二重送信 方式によるものである。

> 方探器では AN/SRD-7 と称する遠 洋航行船用, AN/SRD-12 の小型船用 のいづれも自動化した装置を実験に使 用している。

## マイクロウエーブビーコン

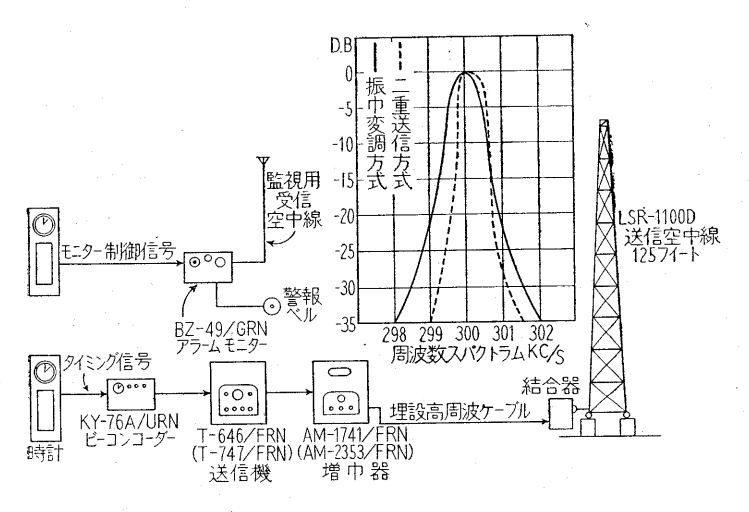
EESでは最近開発した2種類のマイ

クロウエーブビーコンを実験中である。近年ヨツトやモーターボートの小型船が急増して、これ等に対する航法 援助機器が必要となつたが、ラジオビーコンの周波数帯 は密集し過ぎ使用できない状態にあつた。

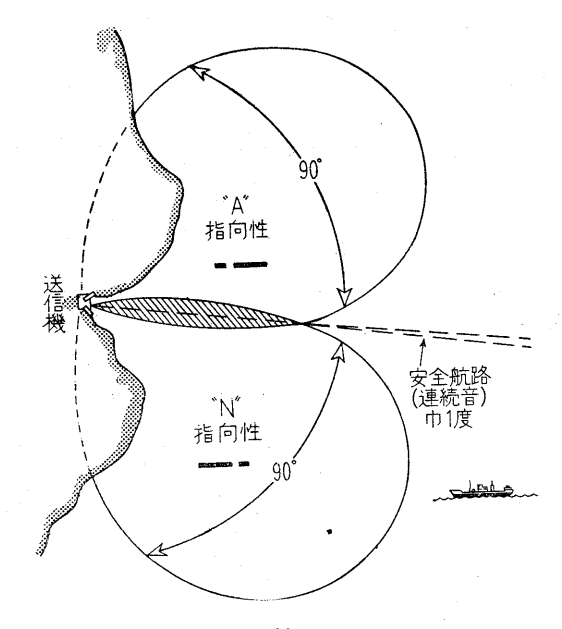
マイクロウエーブビーコンは海岸に送信所を設けて、その信号を船は特殊な携帯マイクロウエーブ受信機で受信するものである。利用者はほとんど一般人であるため受信機は簡易なしかも価格の低いものでなければならないが、トランジスターの使用による小型軽量化が、この

その1つは第11図に示すように Directional Range and Omnidirectional Microwave Radio Bcacon と称し、名前通り2つの機能を持つている。機器の1つは第11図に示す様に航空機用 Directional Range と同じく、A符

方式の採用に踏切らせたのである。



第 10 図 ラジオビーコンの構成



第 11 図

号 (•一) とN符号 (一•) を交互に90度の指向性で2 方向に発射する。2 つの指向性は中央部で重ねているので、この部分では受信機は連続音を聞くことができる。これを航路上に取れば船は安全に進路を定めることができる。この場合の受信機は双円錐型全指向性空中線を使用している。

もう一つの機能は指向性の範囲内全部を利用するもの で従来の方探器と同様に、受信機は鋭い指向性の角錐型 空中線を使用してビーコン局の方位を知ることができる。

送信機は9310MC/Sのマグネトロンを使用し、尖頭出力50kwでフェライトスイツチにより切替えられて、夫々90度の指向性で2個のホーンアンテナから輻射する。パルス振巾変調により天候やその他の情報を送信すると

ともでき、AN符号を停止して識別符号を入れることもできる。到達距離は 10海里である。

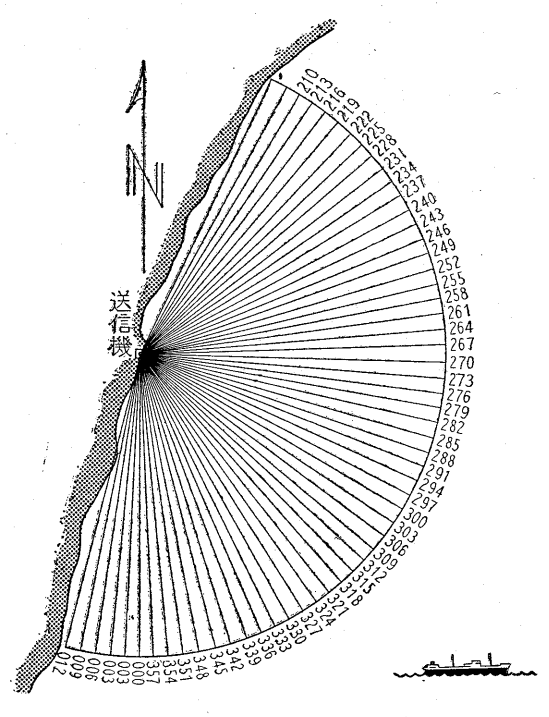
受信機は乾電池とトランジスターを 用いた小型の簡単なもので、ホーンア ンテナは本体内側に取付け、全指向性 アンテナは外部に取付けるようになつ ていて、イヤホーンにより聴取する。

もう一種のマイクロウエーブビーコンは Talking Beacon と称し第12図に運用形式を示す。送信機は第13図に示すように3度の指向性を持つパラホラ空中線で2分間に1回転している。9310MC/Sのマグネトロンの発振は空中線の回転の3度毎に録音から音声による方位を、パルス巾変調して送信し

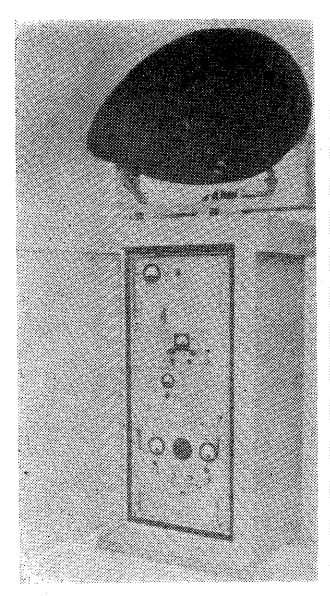
ている。離れた場所に動作監視用の受信機を置きビーコンの故障時には自動的に送信を停止せしめる。到達距離は同様に10海里である。船上で使用する受信機は第14図に示すように乾電池を用い、空中線は全指向性の円筒スロットアンテナで、受信機本体からはずしてマストに取付けることもでき、音は拡声器、イヤホーンいづれも使用できる。マイクロウエーブビーコンの実験は目下着々と進行中で実用化される時期も近いとのことであつた。

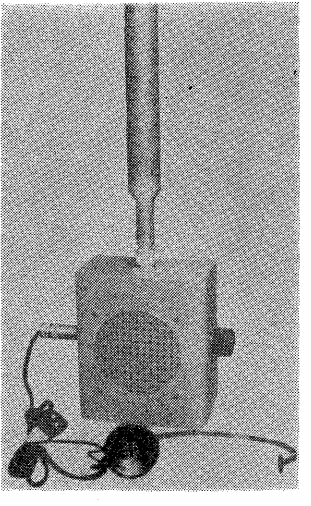
# 走查変換装置

最近になつて走査変換装置の実験に着手している。レ



第 12 図





第 3 図

第 14 図

ーダーの PPI 表示をTV表示に変換する目的で 2 電子 銃を持つた蓄像管が開発され、その性能も年々向上し、レーダー影像と変りないTV像を再現できるほどの高分解能を有する蓄像管が出現した。

通常のレーダー PPI 表示では暗室を設けなければ観測できないので観測室は自から制約され、レーダーを用うる管制動作は操作上に非常に不便な面がある。またレーダー像は画かれたばかりの像と残像には相当の輝度差があり、一見して状況を捕えることのできない欠点もある。PPI 像に比べて輝度300 倍以上を持つ普通の T V 画面によれば上の欠点は直ちに除かれ得る。すでに合衆国

では Federal Aviation Agency によつてこの 方法が空港の探索レーダーに採用され、Idlcwild (Newyork) 空港では管制塔や中央指令室 に用いられて管制員の活動の正確且つ能率向上 に役立てられている。

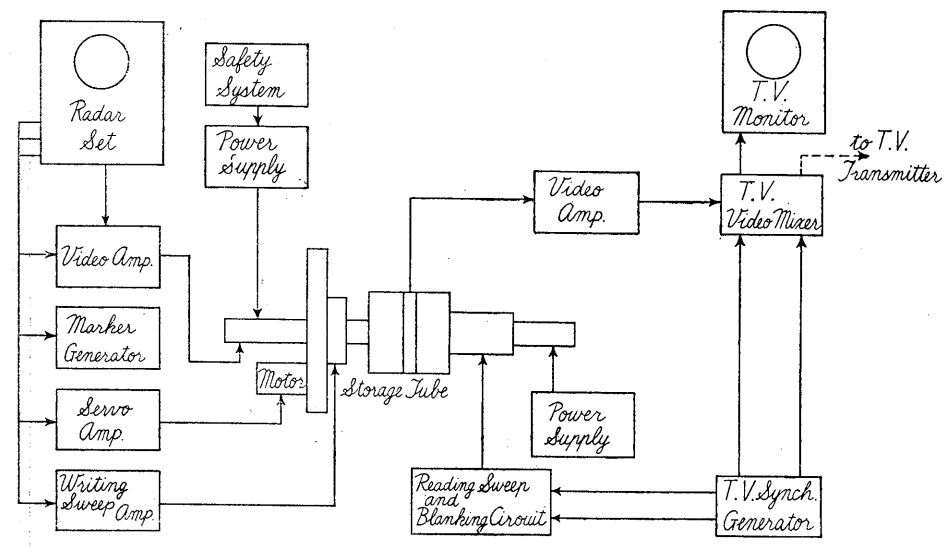
蓄像管を用いた走査変換装置によるとさらに 次のような利点が強調される。

- 1) 3分間程度の蓄像が可能であるから過去の航跡も同時に観測でき、目標の進路や未来位置が決定できる。
- 2) 並列に多数のTV装置が取付けられるので管制作業の分割ができ、夫々のTVによって離心、局部拡大が容易に行なえる。
- 3) 蓄像の積分効果により信号対雑音比を 向上せしめ得る。
- 4) 映像波帯域の圧縮を行なつて,有線およびRFによる伝送が可能である。

EESの走査変換装置の実験はこれ等の利点に着目して、ショーダービジョン(Shore Radar Television)と呼ばれるところの港湾レーダーで捕えた影像をTV放送して船舶の持つTV受像機に再現させ、出入港する船の航法援助方式に使用する目的である。CGではこの方式の出現が船側のTV像上で自船の位置識別に問題があるが、船舶からの要望が多いので実現も近い将来とのことであつた。第15図に実験装置の構成を示す。

#### むすび

以上簡単に第6図国際航路標識会議の模様とUSCGの研究開発を行なつている電子航法援助機器の概要を説明



第 15 図 走査変換装置の構成

いたしました が、浅学の筆者 では到底充分に 意をつくすこと も叶わずただ実 情を見聞したと いうだけで筆を 取りました。し かも帰国後3ケ 月を経た現在, 彼地の印象もう すれて甚々断片 的になりました ことをお詫びし て後記といたし ます。

# 30W SSB無線電話装置

# BBSの方式の特長

# SSBの特質発揮

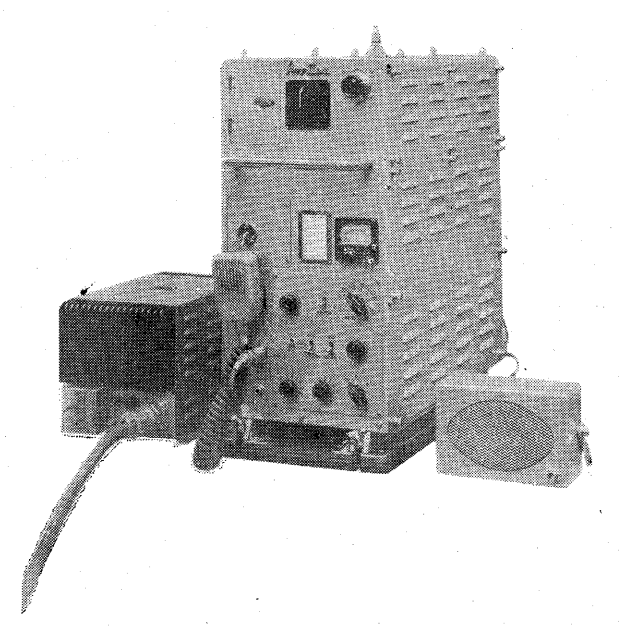
SSBの無線電話の技術基準(郵政省)に適合することは勿論,SSBのもつすべての利点,帯域巾の節域SN比の向上,消費電力の低下,混信,フェージングに強いことなどを

最高度に発揮し、しかも取扱は 簡単で従来の機器とほとんど変 りません。

# 同期調整の容易

SSB方式で最も心配される同 期調整は当社独特の方法をもち い,ビート音を聞きながらクラ リファイヤにより簡単にできま す。この上発振器は極めて安定 ですから初期調整のみで十分で あります。

(記) 1 W~200 WSSB, 27Mc ~150 Mc SSB 等を販売し 好評を博しております。



# 安丘電氣棋式會社

本 社 東 京 都 港 区 麻 布 富 士 見 町 3 9 電 話 東京 (473) 2131(代)・2141(代) 営業所 神 戸・下 関・戸 畑・長 崎・福 岡・札 幌



# レ - ダ 航 法 (Ⅱ)

東京商船大学 茂 在 寅 男

# 第2章 航法上障害となる「海面反射」「雨雪の反射」および「雨雪による電波の吸収」についての考察

# 2・1 まえがき

前回は狭義の航海術に範囲を絞つて船位の決定を中心 として論じたが、今回は、レーダ航法それ自身からは若 干離れる事になるかも知れないが、航海術上においてレ ーダを利用する場合、遭遇する問題を幾つか取りあげて 論文風に問題点を追求してみた。

実用者に取つては結果のみを利用すれば良いことであるので、先ずその得られた結果を最初に述べ、次にその個々について解析をしておいた。従つて、結果の誘導については、これに関心を持つ場合のみ御覧頂ければ幸である。(本船はアンテナ高大体25m位の航洋船として考える。以下同じ)

まず「海面反射とその障害範囲」に関しては、現在舶用レーダとして一般に普及しているレーダにおいて、一般見張り用調節(島も船も鮮明な映像となつて現われている程度の Gain および Video 調整で、必要とあれば Anti-clutter を適当にかけた状態)では、どの程度の範囲まで障害を受けるかということについては次のようなことがいえる。

$$R = \frac{LB}{15} - (2 \cdot 2 \cdot 1)$$

ただし、R: さば船程度 (20屯以下) の小舟が発見困 難になる程度の海面反射の強い範囲 (本 船からの海里)

L: レーダの使用レンジ・スケール

R: ビ氏風力階級

現在までの多くの実験から誘導される実験式として、 大体の目安は、 $co2 \cdot 2 \cdot 1$ 式が当てはまるものと考え られる。

この式の持つ意味を解説すれば次の通りである。

いま標準として,さば舟程度(20屯未満)を取つて考えて見れば,(海面反射を論ずるような外洋においては,浮流物以外ではこれが最小の目標物と考えられるので)レーダを沿岸航行中最も多く使用するレンジ・スケール

の15海里とし、これを一般の見張り用の調節としておいた場合について、ある距離 (R海里) 以内は海面反射のためにこの目標物を発見できないという場合、このRを求めるには、中央気象台風力階級 (ビ氏階級) の数字に海里をつけたもので大体を現わすことができる。

すなわち、海面反射は近距離になるほど強い映像を示すことから、ここに述べたRは、風力が大となればなる程大となり、益々不便を感ずることになるのであるが、これはレンジ・スケールを近距離にかえると小になり、より近距離まで発見できるようになる。すなわち、6海里スケールにしたときは、このRに6/15を乗じた数字でよく、2海里スケールにした場合は2/15を乗じた数字を大体の目安とすることができるという結論である。

例えば風力 6 の場合,15海里レンジ・スケールを使用中は,本船から 6 海里の距離まで(風上側)はさば船程度の目標物を発見出来なくなるし,これを 6 海里レンジに切りかえると  $6\times6/15=2.4$  海里まで,2 海里レンジに切りかえると, $6\times2/15=0.8$  海里と考えて大体目安とできる。

つぎに雨雪の障害についてであるが、これには2つの場合が考えられる。すなわち、目標物が雨域に包まれて、雨滴の反射のために目標物の発見が出来なくなる場合と、雨域を透して電波が往復するために、目標物の周囲には雨が降つていなくとも、雨雪による電波の吸収のために目標物からの反響が消えてなくなる場合である。

まず目標物が雨域に包まれた場合,極端なときは,近々 1海里以内における 1 万屯級の大型船さえ発見因難な場合があるが,Gain を絞つたり,Anti-clutter をかけたりして,識別のための最良の調節とした場合,雨の各強さに対して,各種の船舶は  $2\cdot 3\cdot 4$  図に示した曲線によつて,雨の反響と船舶の反響との識別が不可能になるとの結論である。

例えば、1時間に70mmも降るような豪雨の中に目標物がある場合、3,000屯の貨物船は5海里、1万屯の貨物船は7海里以遠においては、レーダ調節を如何に上手に行つても発見不可能となる。

最後に、雨滴による電波の吸収についてであるが、南 方における強烈なスコールの場合は最も吸収がはげしく、 温帯地方においては、雨域の中に物標が入つたために、 雨の映像によつて目標物が隠されるということはあつて も、雨域を透して物標を見た場合、物標が電波の吸収に よつて完全に消えるという現象は発んどないが、南方の スコールの場合にはその現象は非常にしばしばある。

これについて、雨の強さの各種類を透して各種類の船舶を探知する場合の最大探知距離の求められる曲線を計算して2・3・2 図に示した。これによつて例えば、上述の豪雨の場合、8,000トンの船は、5.5海里以遠では反響は消されてしまうことがわかる。

以上の結論の誘導に関して次に述べたが、実用者には この解析の問題は除外して考えて良いであろう。

#### 2・2 海面反射に関して

海面反射とその障害範囲に関して前述のように簡単な 実験式を誘導したが、その裏付けとなる定量的な問題に ついて若干の考察をしてみると次のようなことがある。

先ず第1にここでは波高を風力の函数として取扱つたが、これについて上次の問題がともなつている。

すなわち、気象学上において、波高というものは、その周期および波形とともに、風が吹きわたる海面の広さ (Fetch)、風の吹きはじめのときの波の状態、風の吹続時間の諸要素を包含の上で「観測時の風速の函数」と考えることができるとされている。これについて1946年のスベルドラップの実験式が一般に使われているが、これは

$$Hmax = \frac{0.26}{g}W^2$$

(但し, H: 波高m, W: 風速m/sec, g: 重力の加速度)

で示され、この様な最大波高を生ずるためには、風の吹続時間が或る時間以上であり、風の吹きわたる海面の広さ(距離)も充分でなければならないが、それらの要素の影響の度合いについては  $2 \cdot 1 \cdot 1$  表および  $2 \cdot 1 \cdot 2$  表がある。(1)—P233

2 • 2 • 1表 吹続時間対波高 (呎)

風 速		吹	続	. 1	持	間	
ノット	5	10	15	20	30	40	50
10	2.0	2.0	2.0	2.0	2.0	2.0	2.0
15	3.0	4.0	4.5	5.0	5.5	5, 5	5.5
20	4.0	6.5	8.0	8.5	9.5	10.0	10.0
30	8.5	12.0	14.5	16.5	19.0	20.5	21.5
40	13.0	19.0	24.0	26.5	31.0	34.0	35.0
50	17.5	26.0	23. 5	37.5	45.0	54.0	54.0

 $2 \cdot 2 \cdot 1$  表からは、当然吹続時間を考慮に入れて、これに対する補正を考えなければならないことを知り、 $2 \cdot 2 \cdot 2$  表からは、自船のおる海の広さによつて海面反

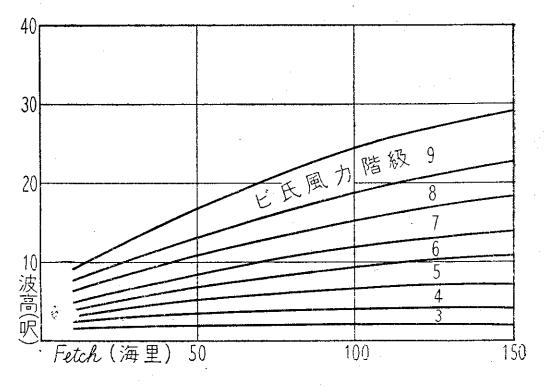
2・2・2表 フェチ対波高

風 速	フェッチ(海里)					
ノット	10	50	100	300	500	1,000
10	1.5	2.0	2.0	2.0	2.0	2.0
15	2.5	4.0	4.5	5.0	5.5	6.0
20	3.0	6.0	7.5	9.5	10.0	10.5
30	5.0	10.0	13.0	17.5	20.0	21.5
40	7.0	14.0	19.0	27.5	31.0	36.0
50	8.5	18.0	24.0	37.5	44.0	51.0

(註) フェッチ (Fetch): 海面上を風が吹きわたる距離

射の強さに対する補正を考えなければならないことを知るのであるが、一般にしばしば起きる状態として風力8 (すなわち34~40ノットまたは17.2~20.8m/sec) 以下を標準として考えれば、吹続時間1日の場合を標準として、半日では波高はその3/4であり、2日ではその5/4程度になることが大体いえる。このことは、実際問題としては、吹続時間の長さによる波高の変化、従つて海面反射の障害範囲の変化というものが当然存在するとはいうものの、その概算値を求むる程度の要求には、補正係数を考える程の重要性はないものと考えられる。ただ、特別に、風の吹き始めとか極めて長時間吹き続けているときとかにおいて若干の補正をする必要はある。

また、2・2・2 表の示すものによれば、風の吹きわたる海面の距離が問題になるのであるが、これは太平洋 (165×10°km²)、日本海 (1×10°km²)、紅海 (0.4×10°km²) などの面積のちがいなどが問題になるわけではなくて、同一条件で風が吹いている距離であるから、低気圧の大きさとか、風上に隣岸があるときとかが問題になるものであつて、外洋においては、風が吹きわたる距離 (Fetch) は一応 100 海里を標準と考え、それ以内の風上に陸岸がある場合につい補正値を考えなければならないことを知る。100海里という数値は、低気圧の場合でも、現実に100海里以上が同一状態であることは少ないから、これを一応の標準と考えて大差ないからである。 2・2・2・2



2 • 2 • 1 図 Fetch と波高との関係

表のうち Fetch 150 海里以下を、ビ氏風力階級に換算 して曲線で表わしてみたら、2・2・1図のようになつた。 同図において実線の曲線によつて風速の範囲を区分し たがこれば、中央気象台風力階級すなわちビ氏風力階級

たがこれは、中央気象台風力階級すなわちビ氏風力階級 である。

これによつてわかることは、風力3以下においては風上に陸岸が10海里以上にあつても余り波高には関係なく、風力が大となる程、風上に陸岸がある場合とない場合とで波高に差がある。

しかしながら Fetch 50 海里の場合の 波 高は Fetch 100 海里のときの波高よりは小さくなるとはいうものの ビ氏階級において 1 段階下の波高にまではさがらないと見てよいので、 Fetch 50 海里までは補正を要せず、それ以下の場合、すなわち、陸岸が風上50海里以内に存在するときにおいては、海面反射の範囲に関する実験式は、階級を1ないし2だけ落として考えればよいということになる。

以上を整理してみると次のようになる。 すなわち,

「外洋において最小の目標物と考えられるさば舟程度の物標を、沿岸において航洋船が見張り用として最も使用する 15 海里スケールにおいて、一般の見張り用調節(スケール一杯の物標が鮮明に見える程度の Gain とし、風波がある場合は Anti-clutter を 3 としたような状態)にした場合に、海面反射の障害映像のために発見困難であるという距離 R海里というのは、経験上からして中央気象台風力階級(ビ氏)の数字に海里を付けたもので大体標準とすることができる。

これを 6 海里スケールにすると、この R に6/15 を乗じた数字でよく、 2 海里スケールにした場合には2/15 を乗じた数字で大体の目安を立てて良い。

またこれが小舟でなく機帆船程度の船という風に目標物が変われば,その変化に応じて大体加減をすれば目安がたてられる。

風上に陸岸がある場合、それが50海里以内の場合は、風力階級に対して1ないし2を引いた数でRを定めるべく、距離に応じた加減は必要である。しかし、風力4以下の場合においては、至近に陸岸がある場合のほかは、この補正も必要ではない。

なお,海面反射の特性として風上方向が障害は最大であって,以上は風上方向の最大の場合についてのことである。

以上によつて、次の実験式が成りたつ。一般の航洋船(標準として  $6\sim9,000$  屯、レーダアンテナ高が $25\,\mathrm{m}$ 前後)で、 $3.2\,\mathrm{cm}$ 波の舶用レーダを使用しているとき、さば船程度の目標物の発見が困難になる程の海面反射の強い範囲 $\mathbf{R}$ 海里は次の式によつて与えられる。

 $R = \frac{LB}{15}$ 

ただし、L. レーダの使用レンジ・スケール B: ビ氏風力階級。

# 2・3 雨の反射について

レーダ映像において自然現象で最も大きな障害をなす ものは雨である。これについては 2・1 において述べた が、これにはさらに定量的な考察が必要と思われるので 以下若干これを試みた。なお、雪に関しても同様の障害 はあるが、雨と比較するとその程度は少なく、特に冬の 粉雪は少なく、春の水分を多くふくんだ雪は障害が多い。 砂磨も障害を示すが、極端なる砂暴風の中心以外は比較 的障害は少ないので一応雨についてのみ検討をすること とする。

雨そのもののレーダによる観測は気象分野に属し、とれに関しては非常に多くの論文が見られるが、ここでは舶用レーダとしての雨による障害について考えるので、いささかその趣きを異にする。

また舶用レーダにおける雨の障害は、第1に雨滴の反射につつまれて目標物が発見出来なくなる場合と、第2に雨滴による電波の吸収のため、それより遠くの物標の探知が因難になる場合との2つがあるがここには雨の反射による障害のみにしばつて考察することとした。

雷雲やスコールの雨域内に小船などがいる場合にはこれを識別できないことがあるばかりか、ひどいときには2・1に述べた例のように1万屯の船舶さえこれを識別できないことがある。このように雨滴による反射妨害のある中で、目標が識別できるか否かを論ずる場合には、ちようど受信機において限界受信強度を考えるときに S/N 比を論ずると同じように、雨の反射強度と目標の反射強度との比を求めれば良く、これには次の関係がある。(2) - P81

西の平均反射強度 =  $\left(\frac{R^2\lambda^2}{A} \cdot \frac{c\tau}{2}\right)\frac{N\sigma_0}{\sigma_1}$ ......(2・3・1)

ただし, R: 距離 λ: 波長

c: 光の速度 A: アンテナ開口面積

τ: パルス幅 N: 単位体積当りの水滴の数

σ<sub>0</sub>: 平均雨滴の有効反射面積

σ<sub>1</sub>: 目標物の有効反射面積

すなわち、Aを大きくしてビーム幅を狭くすると雨滴の占める地域の内でビームに当る面積が減少し、上式の比は良好となり、また R、 $\tau$  を小にした場合も同様に比は向上する。

また  $\sigma_0$  には次の関係がある。

$$\sigma_0 = 4\pi \left(\frac{2\pi}{\lambda}\right)^4 \bar{\mathbf{a}}^6 = 300 \frac{\bar{d}^6}{\lambda^4} \cdots (2 \cdot 3 \cdot 2)$$

ただし, ā: 平均雨滴の半径

# a 平均雨滴の直径

すなわち, 雨滴の有効反射面積は, 雨滴の直径が増大 すると急激に増大し, 使用波長を長くすると急激に減少 する。

すなわち、雨の反射防害は、雨滴の直径と使用波長により影響されることが大である。雨の反射は雨滴個々の 反射の合成であるから、雨滴相互の関係位置が変化する に従つて、雨の反射強度は絶えず変化する。

大体以上のようなことはすでに知られていることである。(3)-P41

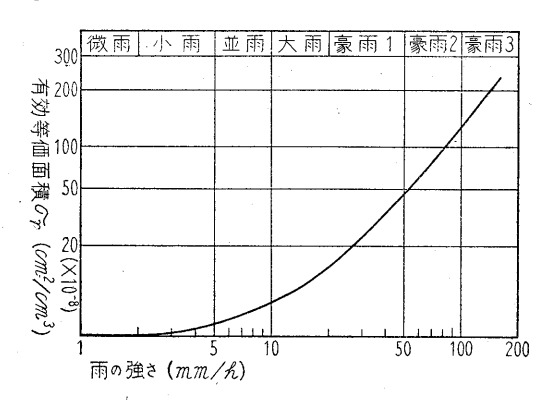
さて気象学上一般に雨の降り方を5つに大別して、それぞれの1時間内の雨量を次のように定めている。(1)

2・3・1 表 雨の降り方と雨量

-	雨の『	峰り方	1時間の雨量(mm)	24時間の雨量(mm)
	微	雨	1以下	5以下
-	小	雨	1 ~ 5	5 ~ 20
1	並	雨	5 <b>~</b> 10	20~ 50
	大	雨	10~20	50~100
	豪	雨	20以上	100 以上

雨については、雨滴 1 個に対するレーダ有効反射面積  $\sigma_0(\mathbf{cm}^2)$  というものが考えられる。

これから各種の雨の強さ (mm/h) に対するレーダ有効等価面積  $\sigma_r$   $(cm^2/cm^3)$  が考えられるが,この値については Ryde や Haddock によつて報告されていて,その値には相当な散乱もあるし,航海上はその概数を知れば充分であるので,それらの報告 $^{(4)}$ から次に波長 3cm に対する有効等価面積の概略を求めれば次の図のようになる。



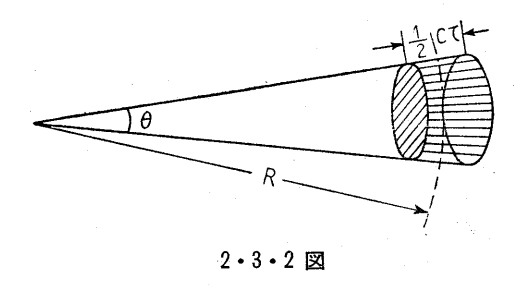
2・3・1 図 雨の強さとレーダ等価面積

ことではかりに豪雨を、豪雨 1、豪雨 2、豪雨 3 0 3 段階にわけて、それぞれ、 $20\sim50$ 、 $50\sim100$ 、100以上、<math>100以上、100以上

に止まり、極めてまれに豪雨2になる程度であるが、南 方では豪雨3は珍らしいことではない。

つぎに送信パルスが発射されてから、或る時間(t)だけ経過した後に、雨域からの反射によつてレーダ側にはいる入力信号を考えると、(途中の雨による減衰を度外視した場合)それはアンテナビーム幅θによつて定まる面積とパルス幅の ½ の厚みとの積、によつて定まる容積内の雨滴の集合体からの反射によつて定まると考えられる。

この容積を、一般舶用レーダーの 4 呎スカナを持つパルス幅  $0.25\mu S$  の 3 糎波レーダについて計算してみると次のようになる。



 $2 \cdot 3 \cdot 2$  図において、 $\theta$  は、水平と垂直において異り、水平角  $(\theta_1)$  は  $2^\circ$ 、垂直角  $(\theta_2)$  は  $150^\circ$  であるので、距離Rにおいて  $\frac{1}{2}$  パルスの占める容積を求めるには、先ずこれによつて作られる隋円の面積を求めなければならない。この隋円の長軸を a 、短軸 b をとすると、

隋田面積= $\pi$ ab= $4\pi$ R<sup>2</sup>(tan7.5°)(tan1°)

また  $-\frac{1}{2}$ c $\tau$ =32.5(m), (ただし c は光速,  $\tau$  はパルス幅) よつて  $\frac{1}{2}$  パルスによつて占められる空間の容積( $m^3$ ) は,

 $32.5 \times 4\pi R^2 (\tan 7.5^\circ) (\tan 1^\circ) = 0.423 R^2$  で表わされる。 しかし実際には、舶用レーダの場合ビームの下側半分は 大地で切り取られるので、空間で雨を探知する部分は上 の値の 1/2 と考えて、 $0.212 R^2$  立方米といえる。

これと  $2 \cdot 3 \cdot 1$  図において求めた有効等価面積  $\sigma_r$  との積は雨の有効反射面積  $\sigma$  である。

すなわち、雨の有効反射面積は、基本的にペルス幅  $\tau$  とビーム幅  $\theta$  とを小さくすると減少するが、これが一定 の場合であつても雨の強さと距離 R によつて変化する。これに対して物標の有効反射面積は、 $\theta$  または  $\tau$  によつて変化しないばかりか、R にも無関係である点が相異する。

以上によつて、3.2 cm 波、4 ft スカナー、 $0.25 \mu \text{sec}$  のパルス幅を持つ舶用レーダの場合、各種の雨に対する有効反射面積  $(\text{cm}^2)$  を計算してみたら、 $2 \cdot 3 \cdot 2$  表のようになつた。但し雨量および  $\sigma_r$  についは、その中央値を取つた。

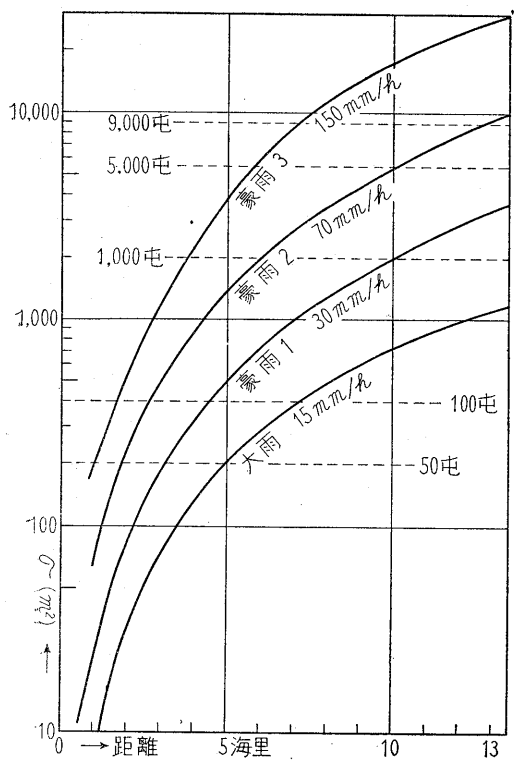
2・3・2 表 各種の雨に対する有効反射面積 σ(m²)

	大	雨	豪	雨	1	豪	雨	2	豪	雨	3
$\sigma_r (\mathrm{cm}^2)$	8×10 <sup>-8</sup> 25×		×10-	10-8 70>			0×10 <sup>-8</sup> 20			$00 \times 10^{-8}$	
$\sigma(\text{cm}^2)$	188×10-	8R2	583	×10-	$^8\mathrm{R}^2$	1,640	×10-	8R2	4,680	×10-	8R2

ここでは目標物を消し去る程の反射を示す雨について 考察したので大雨以上を取つた。

つぎに距離を変化させた場合,その有効反射面積がどう変化するかを計算して2・3・3図に示した。

なお目標物として貨物船の各種の大きさに対する代表 的な有効反射面積を、横軸と平行に点線で示した。これ らと雨の有効反射面積を示す曲線との交点を距離目盛り で読めば、船舶の雨の反射とが等しくなるような距離が 海里で読み取れる。

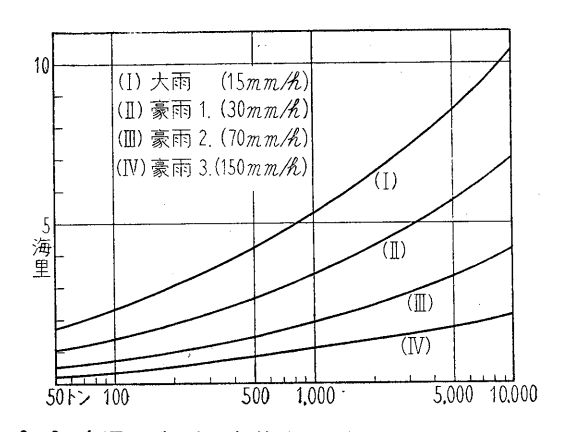


2・3・3 図 距離に対応する雨の有効反射面積

しかしながら船舶からの反射の強さをSとし、雨からの反射の強さをNとしたときのS/N比において、上の場合はこれを1とした場合のものであつて、このままでは実用にはならない。実際の場合は信号のふらつきもあり、7~10dbを考えなければならない。従つて、この図表から得られた距離の1/3位ところが信号消滅の距離と考えるべきである。この補正をした結果によつて、2・3・4 図が画かれるが実用上はこの曲線が使用されるべきである。なお、ここには貨物船を標準として取つたが、貨物船で

も上部構造物が多いものは客船 と共に長距離に補正されるべき であり、また、上部構造物の少 ないものは、タンカーなどと共 に、同じ屯数でも近距離に補正 されるべきである。

ここで注意すべきことは、この図から得られる数値は、レーダ調整において、Anti-clutter を充分かけ、Gain も調整して、識別のための最良の調整とした場合のものであつて、2・1にすでに述べたように、一般見張りの調整では、雨域からの反射が飽和するため、「近距離1海里以内における1万屯級の大型船さえ発見困難が場合がある」ことを忘れてはならない。



2・3・4 図 雨による船舶識別不能距離 (Anti-clutter をかけ最良の識別調整の場合)

雪の反射については、雪は水と空気の混合されたものと考えることができ、氷の場合は誘電係数が単位密度の水に比べて 1/5 位 (Cumming の求めた値で 0.197) であるので同じ大きさの水滴にくらべて反射はこれだけ弱いので、ここでは論外においた。

なお、雨滴が電波を吸収する問題は当然同時に起きる ことであるが、これは、雨滴の反響を弱めることと物標の 反響を弱めることで、結果的には物標を雨の反響から識 別する問題からは除外して考えられることである。吸収 の問題については2・4においてこれを論ずることとする。

# 2・4 雨による電波の吸収と船舶の発見について

レーダに対して雨が障害を与える場合は、物標が雨滴の反響に包まれて識別できなくなる場合と、雨滴によつて電波が吸収されてこのために雨域を越えた先の物標の映像が消える場合との2つの場合があるが、前者についてはすで2・3において論じたので、ここでは後者についてのみ論ずることとする。

レーダ波は水滴に当ると反射を起こすほかに,一部は 吸収されて減衰する。従つて目標物とレーダとの間に雨 域があるときにこの減衰が問題になる。減衰の程度は, 使用波長,水滴の大きさ,密度などによって変化するものであり,水滴の大きさが大になるほど、密度が大になるほど、密度が大になるほど,波長が短かくなる程,減衰は大になることが知られている。

減衰の度合については, 1946 年, Ryde の計算した結 果がある。<sup>(5)</sup>

減衰が雨の強さに比例するものとみなして、雨の強さ 2.5 mm/h 以上で、温度  $18^{\circ}\text{C}$  における雨の強さ 1 mm/h 当りの減衰を、波長 3.2 cm について求めた結果は、

 $0.024 \pm 0.004 (db/km/mm/h) \cdots (2 \cdot 4 \cdot 1)$ 

さらにその後の Robertson 等 (Bell Tel. Lab) の測 定結果などと比較して, 航海上の目的の要求程度には, 減衰率には 3.2cm 波で,

0.02(db/km/mm/h) ·······(2・4・2) を用うることが適当であると考える。

理論的には当然温度補正も考えなければならないが、3.2 cmの場合,比較的その量は少ない( $\times 0.01 \sim 0.02$ )ので,一応  $18 ^{\circ}$ C を標準として各雨の強さに対する減衰率を距離ごとに計算してみたら  $2 \cdot 4 \cdot 1$  表のようになった。(片道)

2・4・1表 雨の種類と距離とによる減衰 (db)

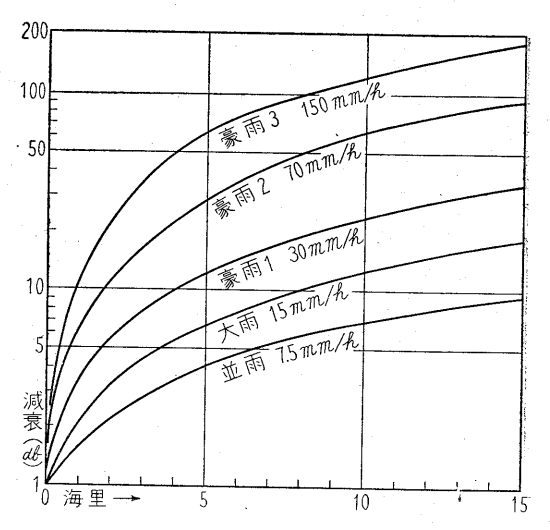
種类	直	É.	雨	大	雨	豪雨 1	豪雨	2 豪雨 3
mm/h		7.5		15		30	70	150
1海5	E	0.	3db	0	. 6	1.2	2.8	6.
2 "		0	. 6	1	. 2	2.4	5.6	3   12.
3. "		0.9		1.8		3.6	8.4	18.
4 "		1.2		2.4		4.8	11.2	2 24.
5 //		1	. 5	- 3		6.	14.	30.
10 "		3		6		12.	28.	60.
15 //		4	. 5	9		18.	42.	90.

なおこれは片道の減衰であるのでレーダにおいては往 復の減衰を考えなければならないので、これを2・4・1 図に曲線で示した。

本図によつて、目標物とレーダとの間に降雨地域がある場合の、目標物からの信号値の減衰の割合がわかるはずである。

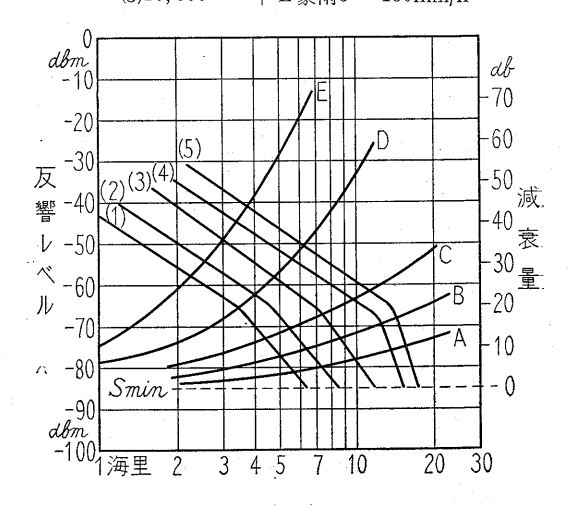
この図から雨域の距離に対する減衰量がわかるので、 各種の船舶の反響値に対する減衰量から、「目標物たる 船舶は雨域の外にあるけれども、本船とその船舶との間 が雨域でおおわれた場合のその船舶の最大探知距離を知 るための曲線」が求められるはずである。これを求めて みたら、2・4・2 図のようになつた。

まず,前出の2・3・4図と本図との異いは,前者の場



2・4・1 図 雨の種類と距離とによる減衰(往復)

合は目標物たる船舶が雨の反射の中に包まれる場合であり、後者の場合はその部分には雨が降つていないで、そこまでの途中だけが降つている場合である点の違いがある。



2・4・2 図 各種の船舶に対し途中にいろいろの強 さの雨が降つた場合の最大探知距離

本図において、各種の信号レベルは、大体船が中型貨物船であつた場合、目標船が各種の大きさの貨物船であった場合の標準となるような例 $^{(2)}$  などを示したもので、50、500、3、000、8、000 および 10、000の各トン数の貨物船からの反響レベルを $^{(1)}$ 、 $^{(2)}$ 、 $^{(3)}$ 、 $^{(4)}$ 、 $^{(5)}$ の曲線でそれぞれ示した。

これに対して、本船と目標船との間の雨の強さが、並雨、大雨、豪雨1、豪雨2および豪雨3の場合の減衰量

 $(2 \cdot 4 \cdot 1$ 図から得たもの)を、それぞれA、B、C、D およびEの曲線で示した。ただし、舶用レーダの最小受信信号値が -85dbm 附近であることから、反響レベル -85dbm を減衰量の 0db の位置に取つて曲線を 画いた。

これらの2種類の曲線群の各交点を距離目盛りで読めば、その降雨状態を透した場合の船舶の最大探知距離が知られる。

例えば、豪雨の場合、8,000 トンの船は、5.5 海里以遠では反響は消されてしまうことがわかる。晴天の場合約16海里位から発見できるのに対し、更に10海里以上も近づいてからでないと発見できないことになる。

なお本図の場合は、本船から目標船までの全域が雨に おおわれていて、目標船の部分は雨が降つていない場合 を示してあるが、若し、降水区域が途中の1部分であつ た場合には、その降水区域の距離に対する分を平行移動 させて反響レベル曲線と交わる距離を求めればよいこと になる。 例えば、豪雨 2 の雨が、途中 3 海里だけ降つていれば、その減衰量は約 17db、 これを右に平行移動して(4) 曲線 との交点を距離目盛で読めば、12海里で、この場合は、普通ならば16海里から見える船が、12海里まで近づかなければ発見できないことがわかる。

### 文献

- (1) 和達清文: 気象の辞典
- (2) Ridenour: "Radar System Engineering" M. I. T. Series. 1
- (3) 落合徳臣・茂在寅男: "レーダの理論と実際", 海文 堂版(昭34--03)
- (4) R. Wexler: Theory and Observation of Radar Storm Detection, Conpedium of Met. V 1, 1283~ 1289 (1951)
- (5) J. W. Ryde: The Attenuation of Centimetre Radio Waves and Echo Intensities Resulting From Atmospheric Phenomena, Jour. Instr. Elect. Engrs. 93 (3A) (1946).

# 電波六分儀の解説

運輸技術研究所船舶艤装部

木 村 小 一

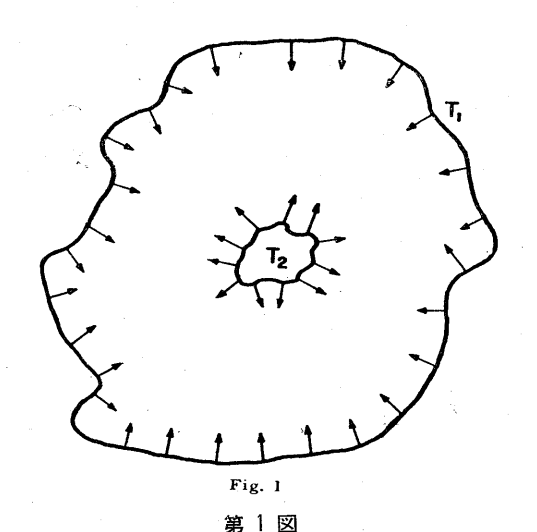
# 1. 緒 言

大洋を航海する船舶にとつて天文航法は重要な航法であって、ロラン、デッカ等の長距離電波航法の発達した今日でさえ、基本的な航法として、またこれらの電波航法と組み合わせて使用する航法として、その重要性はすこしも衰えてはいない。天文航法に使用される六分儀は精密光学計器の一種で長年航海者に親しまれてきたが、精度の向上その他の点での進歩はともかくとして、六分儀自身の根本的な進歩はほとんど見られず完成された計器と考えられており、そのため天文航法は計算方法の簡易化などの他は十年一日のごとき技術によらざるを得なかつた。天文航法の最大の欠点は目視によつて大陽、星および水平線を観測する必要のために、悪天候まで行かないでも曇天においてさえも全く利用不可能になることである。このことは如何に現在の光学的六分儀を改良してもこの欠点をこくふくすることは出来ない。

近年,マイクロ波技術の発達は天文学のなかに電波天 文学という新しい分野を開いた。電波天文学は太陽その 他の天体よりの電磁波を観測して、その波長と強度の関係、強度の時間的変化などより、天体の構造、現象の解析を行う学問である。地球上で最も受信しやすい強度の電磁波を出しているのは太陽であつて、この太陽電波をパラボラ形のアンテナで受信し、そのときのアンテナの方向から太陽の方位および高度を求めることができれば、この方法は六分儀に代りうる天文航法の一方法であることは精度その他の点は別として明らかなことである。このように天体よりの電波を受信することによつて、その方向を求める装置が米国において主として軍用に完成され電波六分儀(Radio Sextaut または All Weather Radio Sextaut)と呼ばれ、米国海軍において初めて実用されることになつた。この電波六分儀の場合は観測すを媒体が電波であるために原則として天候の如何にかかわらず使用できるのがその最大の特長である。

#### 2. 熱輻射受信の原理

いま,第1図のように温度  $T_2$  の物体の周囲を温度  $T_1$  の物体で完全に取り囲んでいる状態を考える。これらの

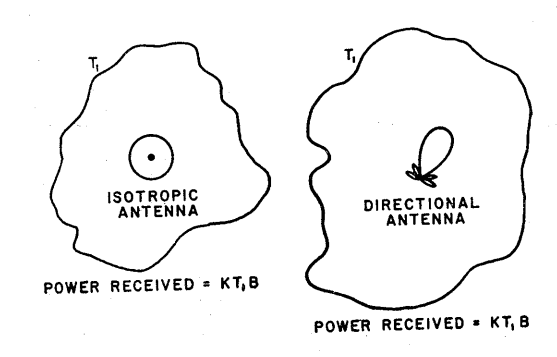


両物体の温度が  $0^{\circ}$ K 以上であれば、これらの物体からの熱輻射があることはよく知られているとおりで、図の矢印は両物体からの輻射を示している。すなわち、内部の物体からの輻射の一部は内部の物体に集まる。いま $T_1>T_2$  であれば外側の物体から 内部の物体へ移るエネルギー量の方が、その反対のエネルギー量よりも大きくなり内部の物体は熱せられて 温度が上昇しこの関係は  $T_1=T_2$  になるまで続く。

両物体が完全黒体であればこれらの輻射エネルギーの 周波数分布は有名な Planck の公式で与えられ、物体の 温度によつてエネルギーの周波数分布が異なつてくる。 この法測による分布では無線周波数の領域は極めて僅か な輻射エネルギーしかないが、しかし僅かとはいえこの 領域の輻射が存在することはたしかである。

第1図の内部の物体を無指向性のアンテナに置きかえれば、第2図の左側のようになり、温度  $T_1$  の物体からの輻射エネルギーを受信することになる。この場合にアンテナで受け、受信エネルギーは無線工学で取扱う周波数域では Planck の公式より

 $P_R = KT_1B$ 



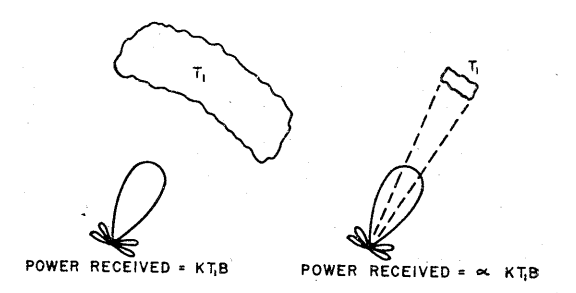
第 2 図

という形に導くことができる。ここで  $P_R$ は受信エネルギー,Kは Boltzman の常数, $T_1$  は取りまいている物体の温度,Bは受信機の帯域幅である。この式は無線工学でよく知られているとおり無線受信機の入力回路でおきる雑音の大きさを表わす式と全く同じ表現であることを注目しておく必要がある。

アンテナが第 2 図の右側のように指向性をもつているときに、もしそのアンテナの全方向の指向性の積分値が同図左側の無指向性アンテナの場合に等しく、かつ周囲の温度が一定の  $T_1$  ならば受信エネルギー量は全く同じ  $KT_1B$  となる。指向性アンテナで側面ローブで受信するエネルギーを無視すれば(通常無視してもさしつかえない)受信能力は主ローブのみに集中されるから、第 3 図左側のように温度  $T_1$  なる物体がアンテナの主ローブの指向方向のみにある場合でも受信エネルギーの量は変らない。しかし物体が更に小さくなつて同図右側のようにアンテナのビーム角より小さくなるとも早や受信エネルギー量は  $KT_1B$ に等しくなり、アンテナの指向パターンの一部のみがその輻射の受信に利用されることになるので、この場合の受信エネルギーは、

#### $P_R = aKT_1B$

ただし、a は 1 よりも小さな係数、となる。第 3 図右側 のような状態で温度  $T_1$  の物体を太陽と考えると、これは丁度太陽よりの輻射電波を電波六分儀で受信している形になる。この場合は  $T_1$  の物体のうしろや周囲の温度を  $0^{\circ}$  K としているが実際には他の天体や地球周囲の大気よりの輻射があり、これらが同時に受信されるわけであるが、これらについては一応無現することにする。ま



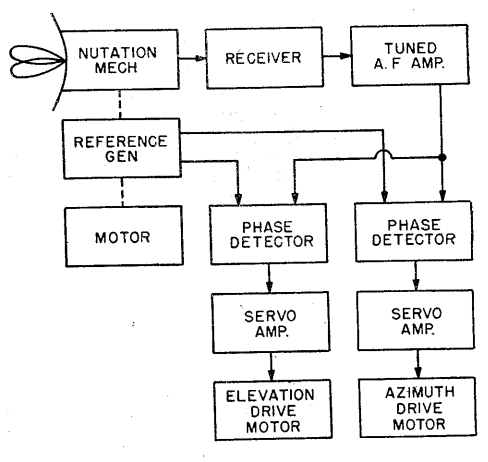
第 3 図

た、例えば T<sub>1</sub> の物体が太陽と考えた場合にも、太陽がらの電波の輻射は太陽表面の温度 (約6,000°K) にもとずき完全黒体として Planck の公式から得られたエネルギー分布とは一致しない。これは太陽全域の温度は必ずしも一様でなく、黒点その他より異常な電波を輻射する現象もあるからであり、また地球へ電波が入射する際種々の減衰が波長によつて異なつていることもその原因となつている。しかしこれらのことは電波六分儀の原理を考える際には必要なことではない。

# 3. 電波六分儀の原理

上記のようにアンテナを太陽に向けて、その受信エネルギーが最大の点を求められればそのアンテナの向きから太陽の方位および高度を求めうることができるが、この場合に困ることは前述のように太陽よりの電波信号は受信機の入力回路の電子雑音と全く同じ形であるためにこの区別が困難なことである。太陽の電波信号を充分の信号対雑音比で受信機の出力に取り出すために特殊な回路技術が要求されることになる。

このため電波六分儀ではアンテナを太陽のまわりに首振りを行なわせることによつて、太陽電波を変調し、無変調の入力回路の雑音との区別をする方法が使用されている。太陽の周囲の背景は近似的に 0°K と考えてもよいから、アンテナ軸と太陽中心との差によるアンテナ利得の減少は変調の深さとなる。このときの変調周波数は電波六分儀自身の回路で行うのであるから既知である、アンテナの首振りと同期した位相検出回路を使用することによつて、この変調周波数の信号は非常に小さな信号の場合でも検出可能となる。

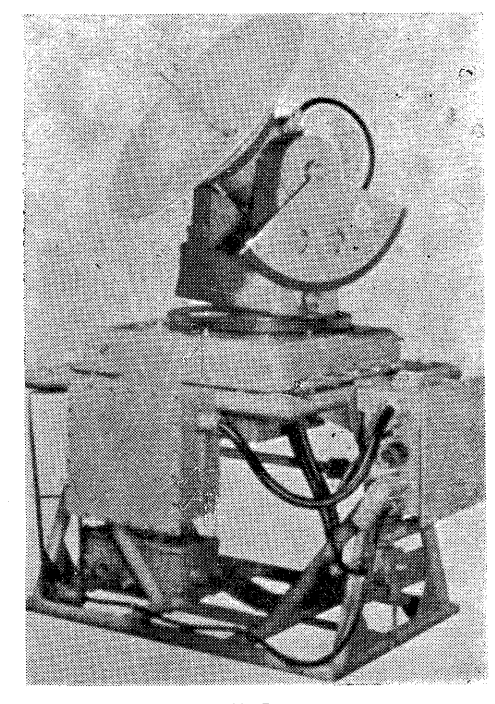


第 4 図

第4図が電波六分儀の簡単な系統図である。左側がアンテナ首振り機構部で,首振り機構と参照信号発電機は同じ電動機の軸に接続されている。アンテナから導波管で導かれた変調信号はレーダ受信機とあまり変らない構成の受信機に加えられる。この受信機の検波出力は,変調周波数以外の雑音を除くために変調周波数に同調した増幅器で増幅し参照信号発電機からの参照信号とともに2組の位相検波器に加えられる。これら2組の検波器へ加える参照信号は互に位相を90°変えておき,その位相と首振り軸との関係を適当に取ることによつて,2つの位相検波器の出力が,それぞれ高低角および方位角についてのアンテナの方向の誤差を示すことにすることができるので、これらの出力を適当なサーボ機構に接続すれ

ば、電波六分儀のアンテナは自動的に太陽を追尾することができることになる。以上は電波六分儀の簡単な原理であるが、これらの諸回路および機構には非常に高度な技術と精度が要求されることは勿論で、これらの良否が追尾確度に直接影響を与えることになる。

船舶や航空機用の電波六分儀で今一つ重要なことはこのアンテナ機構が船や航空機の動揺に無関係な水平台上になければならないことである。普通,ジヤイロを使用した安定台が使用されるが,この安定台の精度も追尾確度の重要な一つの要素となる。

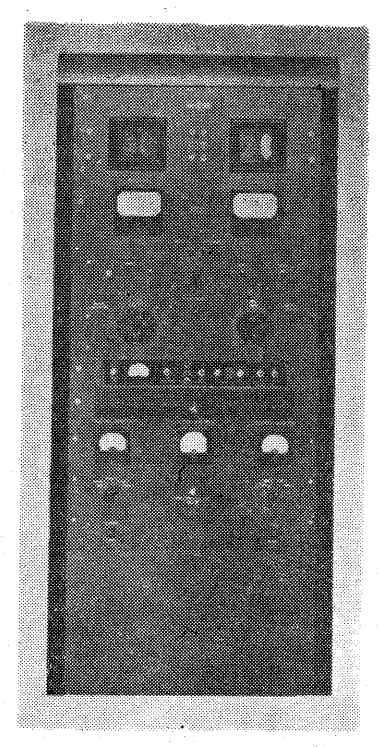


第 5 図

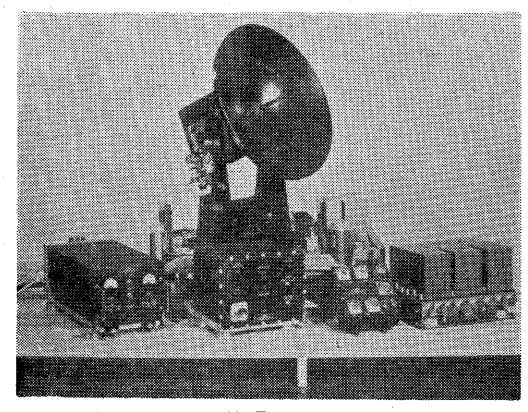
第5図は米海軍で試用された初期の船舶用の電波六分儀で下の架台が安定台である。アンテナの反射鏡の径は 30时 (76cm)で、この反射器の裏側にある円筒形の筐体内に受信機が取付けられている。第6図が制御装置の写真で、この装置は初期の試験用であるため相当に無駄な部分も多く、不必要に大型になつている。この上部の2つの窓の中にはそれぞれアンテナの高低角と方位角を100分1の度の確度で指示する、シンクロで制御される目盛がある。第7図は米空軍用に開発された航空機用の電波六分儀の写真で、アンテナの反射鏡の径は24吋 (61cm)である。

#### 4. 電波六分儀の確度

上記の電波六分儀の使用波長は何れも約 1.9cm であって、太陽追尾用の電波六分儀として、この波長はごく初期の装置にのみ使用されていたようである。これらの



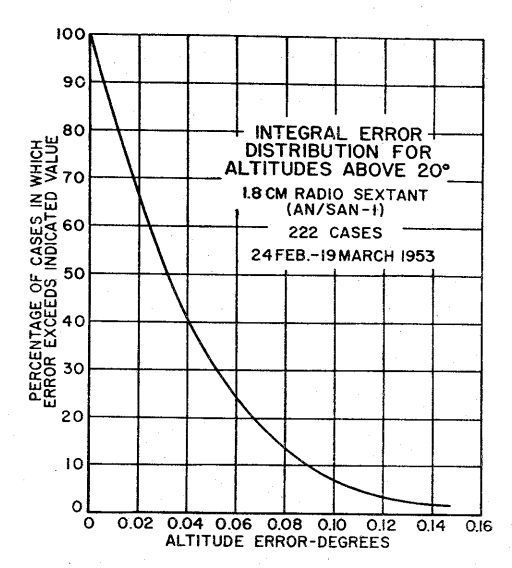
第 6 図



第 7 図

装置によつて電波六分儀のあらゆる天候に対する性能を求めるための実験が相当長期間に亘つて行われた。その結果、1.9cm波長は雪、嵐、雨、厚い雲等に対して受信信号をある程度減少するために多少電波六分儀の動作に影響を与え、追尾確度を僅かに低下させる原因となるが、太陽高度が低い場合、すなわち水平線に近いところに太陽があるときにおきるはげしい雷雨以外では追尾の失敗は見られなかつたと報告されている。実際問題としてこのような雷雨のおこる機会は極めてわずかである。

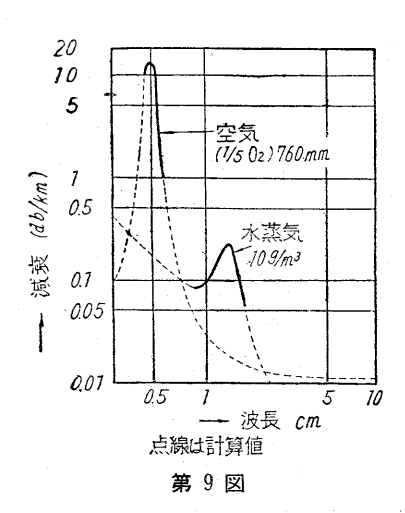
第8図は同種の船舶用の装置を使用して,カリブ海上で測定した222点の測定値より得た確率誤差分布曲線である。この図の構軸は高低角の追尾の誤差値の百分率を,



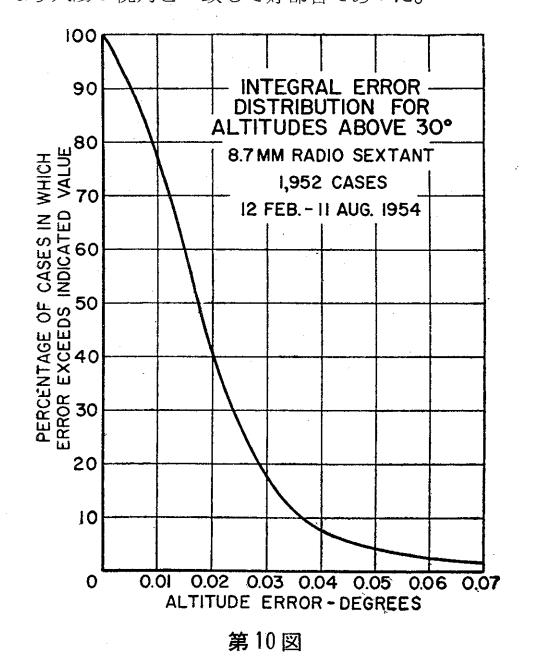
第 8 図

縦軸には誤差がその値をこえる場合の百分率を示しており、理論的にはこの曲線はガウスの分布を満足すべきであるが測定値が少いためこの図のような曲線を示している。図からわかるように追尾誤差が0.1度をこえる機会は7%にすぎない。確率誤差はこの曲線の50%のところをとればよいから、図よりその値を求めれば0.032度であつて2分にも満たない。また他の報告では直接光学測定のときに行われた582点の比較のうち、最大の誤差は8.2分、平均は2.7分であつたといわれている。このように電波六分儀の性能は極めて良好であるために、米海軍で行われた実験航海では他の測定の助けをかりずに1,400海里に亘る航海の可能であつたことが報告されている。

電波六分儀の使用波長は一種の黒体からの熱輻射の受 信であるから Planck の公式からいつても波長の短かい 電波の方がエネルギー分布が多く有利な筈であるし、ま た波長の短かい電波ほどアンテナの反射鏡の径を小さく できるし、また同じ径の反射鏡を使用すれば 受信電波 の波長が短いほどアンテナの指向性を鋭くし、またアン テナ利得を増すことができるので追尾精度の点からも、 受信機設計上からも有利になつて来る。従つてミリ波技 術の進歩ともに一層の短い波長が利用されるであろうと とは当然予想されるところである。しかし一方において ミリ波帯の電波の伝搬は風雪などの天候に影響されるこ とが大きくなる。第9図は空気(酸素)と水蒸気(およ び水滴) 中における電波の減衰を示をしており、酸素に 対しては波長 6mm 電波が、水蒸気に対しては 12.5mm の電波が最大の減衰を受ける。したがつて電波六分儀と しての次の波長には 8.7mm の電波が選定された。この 波長の電波を利用した実験用機器で48吋 (122cm) 径の



反射器をもつたアンテナにより測定した1952点の測定値による積分誤差分布曲線を第10図に示す。この曲線はガウスの分布によく一致しており確率誤差は0.017度すなわち約1分である。43吋のアンテナはビーム幅が1/2度となり太陽の視角と一致して好都合であつた。

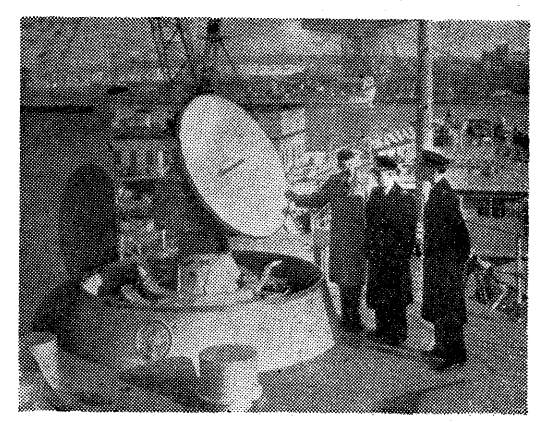


8.7mm 波長の場合の天候変化に対する影響は 1.9cm 波長の場合よりも当然大きくなり、太陽が低高度の際の 雷雨の際には追尾を失敗する度合が増加した。しかし、実用機では反射鏡の径を120吋 (30.5cm) 程度にできるので、天候の影響を受けることの少い航空機用としては 勿論、追尾失敗のような天候のおきる頻度は極めて少いので船舶用としても米海軍においては広く使されているようである。

#### 5. 電波六分儀の将来性

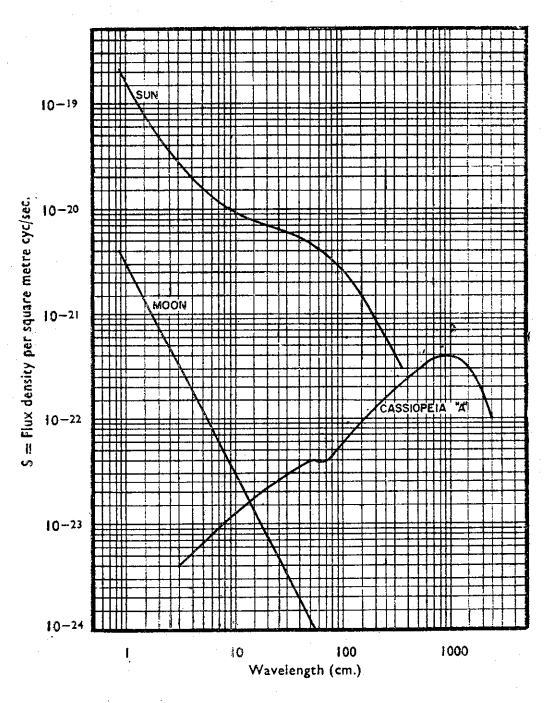
これまでの記述は何れも数年前に発表された初期の電波六分儀についての解説であつて、その後は主として軍用としてのみ発達しているので、現在の機器がどのような進歩をしているかはうかがうことができない。その間ミリ波技術の進歩は人工衛星などの発達とともに宇宙通信などに関連してめざましいものがある。例えばメーザを使用したミリ波受信機は真空管による受信機に比し極めて低雑音にすることが可能であり、当然このような技術は電波六分儀に応用されることになるであらう。

電波六分儀の利用の大きな目標として自動航法があるが、天体として太陽のみにしか使用できないのでは夜間は全く役に立たないので意味がなくなつてしまう。太陽の次ぎに有望な天体は月であるが、のちに示すように太陽に比して非常に弱い電波しか受信できない。しかし、米海軍においてはこの月および太陽をすべての天候状態において高精度で追尾可能な船舶用電波六分儀を完成している。第11図にその外観を示す。



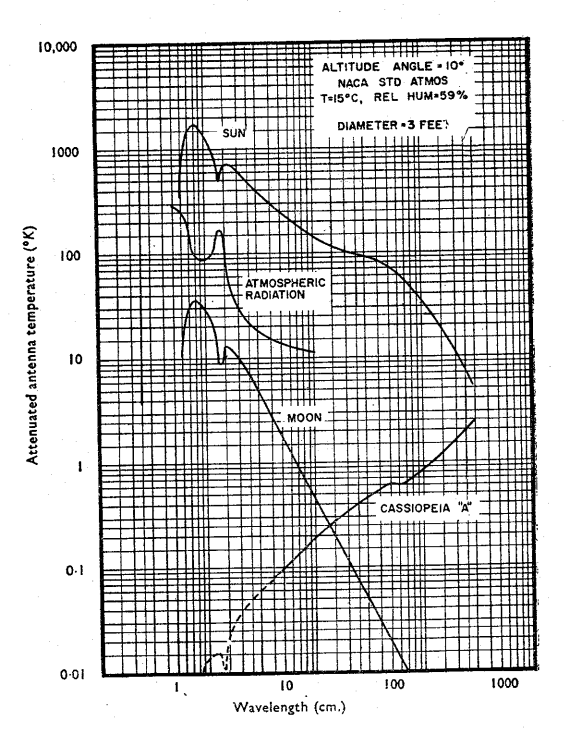
第11図

太陽と月とでもまだ全時間の自動航法には不足である。 電波天文学ではこれ以外の天体で,かなり強い電波を発 するものとして所謂ラヂオ星 (radio star) と呼ばれる 星がかなりの数発見されている。そのうちの一二の星, 例えばカシオペアAと呼ばれる星は長波長の領域ではむ しろ太陽よりも強い電波が受信されることが測定されて いるが、電波六分儀で使用される波長領域での電波強度 は月よりなお数段低いものである。第12図,第13図にこれ らの電波強度の波長による分布を示す。第12図の縦軸は 対称天体よりの海波の地上における単位周波数幅当り分 光フラックス密度を示しており, 前述のように太陽およ び月は長波長になると電波の強さが弱くなるのに対し、 ラジオ星カシオペアAでは長波長の電波ほど強くなる。 第13図は天体が高低角 10° のところにあり NACA (the National Advisory Commission for Aeronautics O 径) の標準大気で表面温度 15°C 相対湿度59%のときの 大気による減衰、すなわち前述の酸素および水蒸気によ



第12図

る減衰を考慮に入れたときの反射鏡の径が 30 呎 (91.5 cm)の場合のアンテナ温度を縦軸に、横軸には前図同様 
凌長を示している。アンテナ温度は前記の  $P_R = akT_1B$  より得た  $P_R/kB$  で定義される。この図から前述の 8.7 mm および 1.9cm の太陽より電波が一応最高の受信感 
度が得られることがわかを。カシオペア Aの長波長部は 
アンテナの径を大きくしなければ追尾精度が得られない 
からほとんど利用不可能である。



第13図

自動航法を行うために利用する他の天体として最も有望なのはこの目的のために打ち上げる人工衛星である。 さきに米国で打ち上げられた航海衛星トランシットでは 自動追尾だけでなく更に高度なドップラー効果を使用した航法方式が試みられたようであるが、予め軌道のわかったいくつかの人工衛星を予め組まれたプログラムに従って順次自動追尾することができれば電波六分儀のみによる自動航法が可能となるであろう。



# 自動航法におけるラジオセキスタントの用法

The use of radio sextants in Automatic navigation systems

C. M. Cade

東京商船大学 飯 島 幸 人(抄訳)

この論文は航海に於けるデータを連続的に自動的に表示するための基礎的な問題を取扱つておるが、雲上を飛行する航空機を目的として作られた自動太陽追跡機や星追跡機のような光学的なものはその応用が海上のためには限定されるのでとこでは取上げないことにした。

太陽も星も見えない悪天候下での位置決定が困難なと とは云うまでもないが、霧中でも、曇天でも天体観測に よる精度を維持出来れば非常に便利である。この目的の ために, コリンズラジオ会社 (アメリカ) は 1948 年に radio sextant の試作品を作り,又1955年には波長 1.8 cm と 7.8mm の波を使用した standard radio sextant の試験の結果を発表しているが、この結果は少くとも光 学的観測で得た精度と同等なものであるという, これ等 の sextant は、自動的に太陽を追従して digital 形式で 太陽の高度と相対方位を連続的に表示するように作られ た。然し高緯度地方では昼間でも太陽の観測が出来ない 期間があるので太陽に代る天体に応用出来れば、その価 値は非常に大となる。一般の光学的観測の場合は少々薄 い雲がかかつていても見える星は数多くあり、又星の名 前もその相対位置から見当がつく訳で、太陽や月の天測 の場合よりは星の方が正確な位置が出るが、 radio sextant の場合は全く事情が違つて、 航海用に 役立つよう な充分の明るさの星は殆どないし、まだそれ等を見分け るための暦も出来てはおらないし, 更に一般の星座表と 較べて radio star chart は非常に奇妙なものである。

太陽は電波を放射する唯一の星であるとして知られて来たが、今迄に発見された電波の放射体即ち radio star は約3,000 個ばかりであるが大体に於て、太陽よりはるかに大きなものばかりで、これに比較すれば太陽は非常に弱い放射体ではあるが、距離が近いために地球表面には強く現れるのである。地球表面の電波強度は Flux unit で測られる。1 flux unit というのは或る特定の波長或は周波数に於て、 $10^{-22}$  watt/ $m^2$ ・cycle・sec である。太陽が黒点や光焰によつて乱されていないときは、3m 波で 1.9 flux unit であり、カシオペア Aは同波長

で 1.7 unit であつて, radio star 中最も強烈なものでその距離は地球から太陽迄の 6 億倍もある。次に強いのは Cygnus A で 3m 波で, 1.2 unit, 距離は約 4 億光年, 太陽の距離の20兆倍もある。西暦 369 年, 1054年, 1572年, 1604年にはその年に記録された超新星のために地球表面上の電波強度が今日存在するもののいかなるものよりも強かつたと信ずべき証拠がある。この超新星の出現は一つの銀河系で 360 年に一度であるという説もあるが, これは嘘で我々の銀河系にもいつ超新星が現われるかもわからない。

天体の電波放射源にはいろいろのものがあるが主なも のは次のものである。

- 1. 銀河系のもの,例ターレスの蟹星雲
- 2. 銀河系以外のもの,例アンドロメダの大星雲
- 3. 太陽 a) プランクの法則に従う静か なる 太陽 (黒点や光焰のない) からの 熱放射
  - b) 静かでない太陽からの異状放射
- 4. 月や惑星からの放射
  - a) 月からの熱放射
  - b) 木星, 金星からの原因不明な強烈なる 放射。

radio sextant を使用するには波長の如何なるものを 使用すればよいかが重要なことで、次の六つに注意を払 う必要がある。

- 1. 波長と強さの変動,多くの場合プランクの法則に 従うが、white noise や特別のスペクトラムを持つもの もある。
  - 2. 大気電離層による波長の減衰による変動。
- 3. 放射の不規則性,或は種々の減衰の変化によつて起る電波強度のふらつきに対する信頼性。
- 4. 欲しない信号の勢力の波長の変動,これは受信機の雑音や目的の放射源からの分解能が,受信アンテナビーム巾に較べて小さいような放射体からの放射も含む。
- 5. 欲しないものと信号とを区別するために役立つ成極作用の特性。

6. 限定された大きさ (多分小さな) のアンテナに対する特定波長の識別 (或は相互ビーム巾)。

木星や金星からの放射は非常に強く, 木星は時には他 のいかなるものより強い時があるが変動がはげしすぎて 航海用として利用出来そうもない。船舶用の radio sextant は実用上口径 4フィートのパラボラアンテナが最 大であり、このときビーム巾は 1°を越えず、最大の実 用波長は 1cm 以下となる。又電波は大気全層を通過し て来るので、短い波長は吸収がひどいため波長の最底は 1mm である。同様なことは航空機に radio sextant を 使用する場合にも考えられる。余程大きな飛行機以外口 径2,3フイートのパラボラを備えることは困難で、雲上 飛行が可能な飛行機では普通の気泡六分儀でも間に合う ものであり、重量の問題で余程の利点がなければ装備出 来ないが, 2万フィートも上空では短い波長も利用出来, アンテナも小さく出来るので重量を減らせるという利点 もある。又それとは別に、地球電波の応用という分野も あり, ロケツトの誘導や追跡とも関係深い。大陸間弾道 弾では,発射段階では慣性誘導を用い,帰着には赤外線 を用いるだろうが、その中間の段階では天文学的要素を 導入しなければならない。

アメリカのアトラスは自動天文航法を行つた最初のものの一つであると云われている。その詳細は不明であるが、光電装置と星を記憶させた装置を組込んであるという。今や大量生産の段階にある Northrop Snark や非大陸間弾道弾などにも同様な自動天文航法を行う装置がついていると云われる。アナログの電波天文航法として、誘導装置は電波の連続音を記録した磁気テープを持つて

おり、受信された実際の信号と常に比較されて、相違があれば error signal を発してサーボ機構を働かせて必要な操舵を行うことが出来るのである。この機構は、電離層中を飛行するときは電波音は周期的に変化するために、次々とパターンを変えてゆかねばならないために複雑となるが、それ程困難な問題ではない。現在ロケットの分野では、radio sextant の追跡サーボから得られるデータが自動航海をする上に非常に役立つため、ロケットは radio sextant を装備する必要があると主張されている。

今や我々は連続的に位置を記録するような新らしい航 海装置の要求に直面している。それは今迄よりもずつと 高度の精度を与え、速度の変化を直ちに検出し、予定さ れたコースへの影響を計算するであろう。位置の連続記 録は慣性航法装置からでも, 自動追跡六分儀からでも出 来るが、前者は長い航海には不利であり、後者は荒天や 月のない夜などには精度が落ちるので、その両方を組合 せて使用すればその欠点を相補つて、自動航海目的に沿 うものが出来るであろう。更に現在の位置を早く決定し, 未来のコースを計算するためには自動計算器が必須なも のとなつて来る。多分将来は非常に小型の増巾器を使つ た小型の radio sextant や、今までのジャイロを用いな い圧電気や, クリスタルの振動を用いた直線的慣性装置 も出来て来る可能性もある。そしてこれ等の航法装置は 電力源以外は初期のジヤイロのロータより軽く, ラジオ より小型になるかも知れない。

(飯島 抄訳)

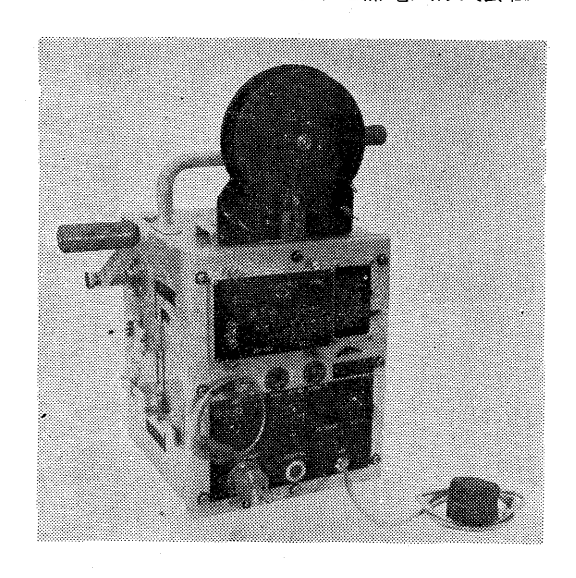


# 新 製 品 紹 介

船舶の救命設備は船用品中最も重要な機器であり特に 海上人命安全確保のための国際条約の規定による救命艇 用携帯無線機は,先づ十分信頼性のある,そして非常の 際に誰れにでも容易に最も有効的に使用出来得るもので なければならない。

以下最近急進しつつある電子科学を応用した新製品を 紹介致しします。

SS—1968 A 形 救命艇用携带無線電信装置 東京芝浦電気株式会社



# 1. 概 要

本装置は海上人命安全条約,船舶安全法および電波法にもとずきとくに救命艇用として設計製作されたもので本船遭難時等の際に荒天その他あらゆる悪条件のもとで完全に動作し,無線通信について特別の知識をもたぬ素人でも自動電鍵装置によつて容易に警急信号,遭難信号および方探用長符30秒の電波を発射することができます。

### 特 長

- (1) 受信機は完全にトランジスタ化してあります。したがつて電源消費は少なく、また積層乾電池(006 P  $\mathbb{R}$  9  $\mathbb{V}$  1  $\mathbb{V}$  ) を内蔵しているので手廻発電機をまわさなくても受信することができます。
- (2) 送受信機の据付と操作は安定容易です。送受信機 を防水外筐より引出せば箱形になつているので、据

付は極めて安定となりしたがつて操作もまた容易で す。

(3) 手廻し発電機が楽に使えます。送受信機の外形と 発電機の取付方法を改良したので手廻し発電機の操 作は非常に楽になりました。したがつて送受信時と も体力の消耗を極力さけることができます。

#### 2. 規格および性能

## A. 送 信 機

送信周波数 500kc

8364kc

周波数偏差 ±0.5%以内

±0.02%以内

電波形式変調周波数

 $A_2$  450~1,350 C

変調度

70%以上

空中線出力

10%以上

1.5W以上 3.0W以上

空中線定数

500kc……100pF の容量と 15Ω の抵抗の直列

8364kc······+ $60\Omega$ ~ $-60\Omega$  のリアクタンスと  $40\Omega$  の抵抗直列

回 路 方 式 水晶制御電力増巾方式 電鍵方式および電鍵速度

 $A_1$ 

手 動 20ボー以上

自 動 警急符号 (1回) 遭難符号 (3回) 長符 (30秒1回) 上記組合せを3回繰返し送信する。

#### B. 受 信 機

受信周波数 500kc

 $A_1$ 

8266~8745kc

電波形式

A<sub>1</sub> および A<sub>2</sub>

回路方式

500kcストレート方式, 8Mcスーパ

ーヘテロダイン方式

感 度

変調周波数  $400\sim1400$  C 変調度70% で 500kc の時は  $100\mu$ V, 8Mc の時は  $200\mu$ V の信号入力が擬似空中線に加わったとき,信号出力は 1mW 以上でかつ S/N 20db 以上

感度偏差 A<sub>2</sub> 500kc 受信時 492~508kc 内の 信号入力に対し感度偏差は 6db 以内

#### 3. 外形寸法および重量

(1) 防 水 外 筐 アルミニウム製ドラム缶形

410mm(径) 450mm(高さ) 重量 14.4kg

(2) 送 受 信 機

アルミニウム製箱形

255(幅)×325(高さ)×275(奥行) 21.3kg

エレクトロニツク・ エンジンアナライザー

協立電波株式会社

許 第6344号 特 実用新案 第3592 • 3593 • 3594号

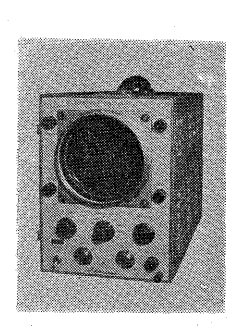
# 1. まえがき

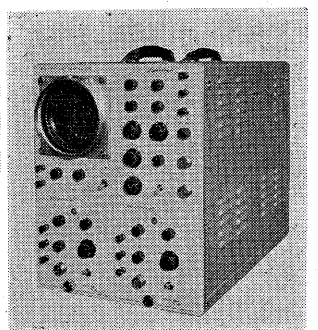
内燃機関の性能を判定するためには, シリンダー内の 圧力の変化および燃焼の状況を観察・測定することが最 も大切なことである。シリンダー圧力を測定するにはシ リンダー壁に圧力ピックアップを装着し、圧力変化を機 械的変化となし、これを更に電気的エネルギーに変換す ることが必要である。

この変換器 (Tranducer) を圧力ピックアップと称し 従来圧電型・抵抗線歪計型・可変容量型などがあったが それぞれ種々の欠点を持っていた。

当社ではこれら在来の方法と異る原理, 即ち可動陽極 真空管を用いた圧力ピックアップを研究・開発してきた が, 在来型式に比し優れた性能を得ることができた。

# 2. 圧力ピツクアツプ





KEA-5型

KEA-3型

圧力変動を電気的エネルギーに変換するために, 先ず 圧力の変動に比例した, 受圧膜(薄円板)の機械的変動 を起させる。これを電気量に変換するのに可動陽極真空 管RCA-5734を用いる。

この真空管の構造は  ${
m Fig-1}$  に示され、可動陽極 ${
m P}$ を  ${
m lpha}$ 角回転すると真空管の内部抵抗が変化し, 出力電圧も変 ってくるのである。その動作特性,即ちα角と出力電圧 の関係を表 1 に示すが、僅か 15′ (1°の¹/₄) で 10 V の出 力を得る高感度であり, 且つ変動角と出力との関係は殆 ど直線的である。これは在来の圧力ピックアップにその 例を見ない特色である。表2に在来のものとの比較を示 す。

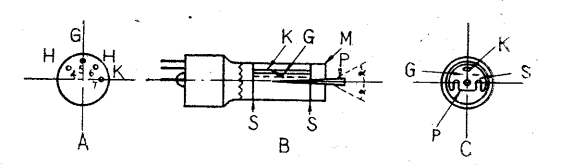


Fig. 1

現在,デイーゼルエンジン・ シリンダー用 (100kg/cm<sup>2</sup> 迄測 定可能), ガソリンエンジン・ シリンダー用 (50kg/cm<sup>2</sup>), 燃 料晴射管用、クランクケース用 等の各種圧力ピックアップが製 作されている。

圧力ピックアップの 構造を Fig. 2 に示す。

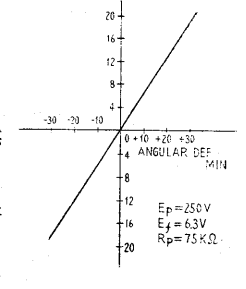


表 1 3. 指示器

# Fig. 2

圧力ピックアップと 組合せて使用する指示 器としてブラウン管オ シロスコープを用いる が, エンジンのピスト ン位置に同期して指示

するとともに、ピストン位置もマークとして、ブラウン 管面に現れる圧力曲線上に重畳して描かせるための, 独 特の回路を有する特殊なオシロスコープである。

ピストンの回転角位置を取出すためのタイムマーカー ピックアップも別に用意されている。

現在KEA-3型(1現象観測用)および5型(2現 象観測用)が製作されている。3型は小型で簡易型とい うべく、5型は大型で2電子銃式ブラウン管を有してお り,シリンダー圧力と他の現象(例えば燃料噴射管圧力 ・クランクケース圧力等)との同時観測を行えるため、 研究用に適している。

Fig-3にダイアグラムを示す。

## 4. 本装置による測定例

Photo. 1 はシリンダー圧力ピックアップ,燃料噴射 管圧力ピックアップを舶用ディーゼルエンジンに取付け たところであり、Photo. 2 はその圧力線図である。

# 5. その他

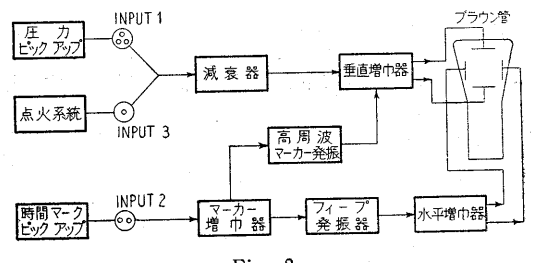


Fig. 3

本装置の開発・研究の実績により昭和35年7月,運輸 省より「ディーゼル機関内シリンダー圧力の検出指示計 の試作研究」のテーマで研究補助金を交付せられ,目下 研究部において工程進行中のことは「きようりつ」1号 に報道せられた通りである。

-					<u> </u>			·											
				可	動陽	極	型	抵	抗線	至計型	圧	電	気	型	ा	変	容	量	型
出	力	電	圧		10	Į.			5 m	V		2	V			ΔF	`≑1 <sub>I</sub>	ρF	
出力インピーダンス 75KQ		1KΩ			100MΩ以上		100MΩ												
共	振昂	] 波	数		3700	~		20	0000~3	0000≎		20000	~ 以.	Ŀ	2	0000	0~	以上	
増	巾 器	(増巾	1度)		300	b			80d1	b		40	)db						
	<i>y</i>	(種	類)	直	流 増	ф	器	直流	区 文はサ 中器	ンプリン	前	置増「	†器	必要	周波	数変 必要	き調器	<b>导直</b> 济	· た栓
圧	力	較	正	可	-		能	可		能	不			可	可				能
操			作	出力	力安定零	点漂፤	動小	出力	安定零。	点漂動大	用法	複雑	研究	室用	用法	複雑	. 研	究室	用
冷			却	水	冷•	水量	: 少	水	冷•万	水量大	空			冷	水	冷	• 力	〈量	大
遠	方	監	視	可			能	可		能	不			可	不				可

表 2 他種圧力ピッアップとの性能比較

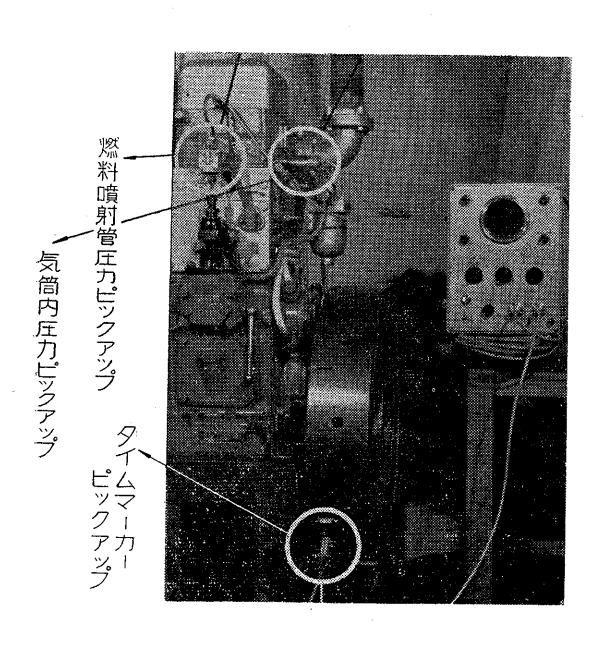


Photo. 1

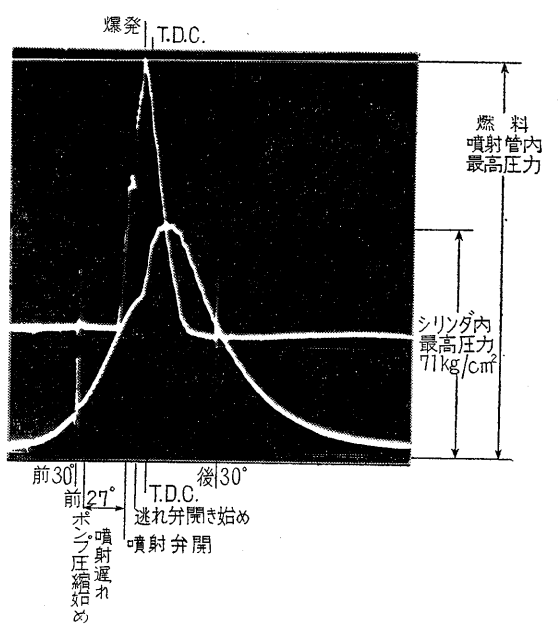


Photo. 2



# 東京計器

# レーダー・ロラン

# MK2D0V-5-

12吋ブラウン管・大型船舶用

# MK2DTレーダー

トルー・トラッキングレーダー ブラウン管・大型船舶用12时

# MR-30C レーダー

10吋ブラウン管・中型船舶用

# BR-20レーダー

10吋ブラウン管・中小型船舶用

# BR-15レーダー

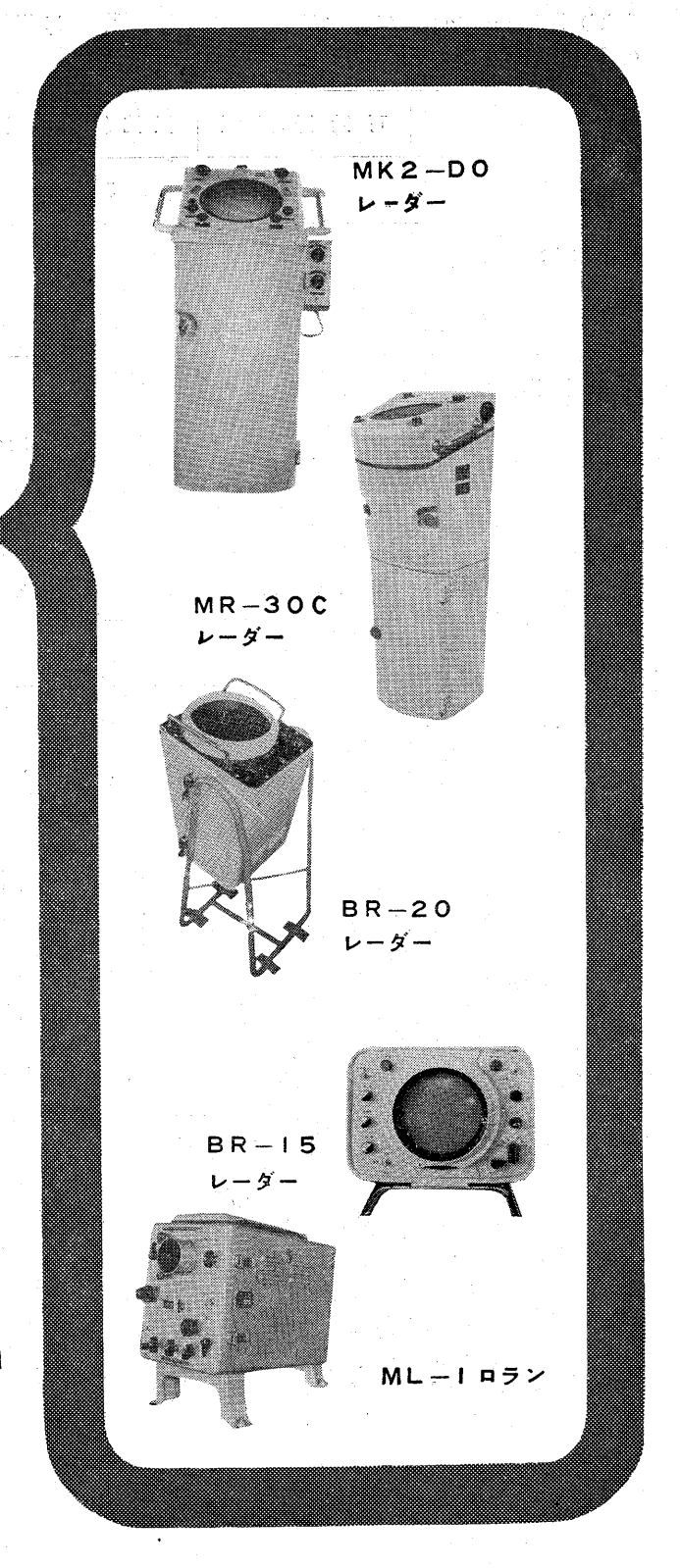
7 吋ブラウン管・小型船舶用

# ML-1 ロラン

小型・軽量・電源装置不要・ 自 動 周 波 数 制 御 装 置 付

# <sup>株式</sup> 東京計器製造所

東京都大田区東蒲田4の31 TEL (731) 2211(代) 神戸・大阪・函館・横浜・名古屋・下関・長崎





# THE JOURNAL OF THE INSTITUTE OF NAVIGATION

Vol. XIII, No. 2 April 1960	Drift Determination in Jet Aircraft	
Manoeuvres to Ensure the Avoidance of Collision	by H.M. de Jong	296
by E. S. Calvert 127	Initial Alignment of a (Moving Inertial	
Refraction at Low Altitudes	Navigation System	
by D. H. Sadler & W. A. Scott 139	by R.B. Seeley & R.D. Cole	301
Factors Affecting Radar Operator Efficiency	Anti-collision Radar Sectors	
by C. H. Baker 148	by J. Garcia-Frias	316
A Micirowave Position-fixing System	The Last Voyage of Sir Clowdisley Shovel	
by H. R. Smyth 164	by W.E. May	324
Automatic Echo-sounding Systems	Space Navigation A Discussion	333
by E. Ahren 173	Vol. XIII, No. 4 Octoper 1960	
A System of Automatic Navigation	The Early Years of the Royal Sociely	
by C. Britnell 178	by Sir Harold Spencer Jones	365
An Automatic Doad Reckoning Computer	Notes on the Research and Development	
by K. Ramsayer 186	Programme of the U.S. Federal Aviation	
A Route Direction-finder by P. Gaudillere 191	Agency by Hans Giesecke	383
Heading Definition in Commercial Aircraft	The Revision of the Collision Regulations	
by J.F. Green & A.P. Glenny 196	by J. H. Quick and F. J. Wylie	401
The Rate-integrating Gyro as an Aircraft Heading	Navigating the Supersonic B-58	
Reference by D.O. Fraser & J.A. Lee 219	by W. L. Polhemus	406
Vol. XIII, No. 3 July 1960	Fifteen Years of Marine Radar	
Optimum Ship Routing	by F. J. Wylie	419
by G. L. Hanssen & R. W. James 253	Some Aspects of Doppler Track Computer	
Fuel Reserves for Aircraft	Navigation by P. R. W. Webb	440
A Working Party Report 273	The Para-Visual Director	
The Accuracy of Upper-wind Forecasts	by A. M. A. Majendie	447
by C. S. Durst 288		

# PROCEEDINGS OF THE IRE

Vol. 48, No. 2 Feb. 1960	Satellites	by A.B. Moody	500				
Measurement of Internal Reflections in Traveling	A Satellite Doppler	Navigation System					
Wave Tubes Using a Millimicrosecond Pulse	by W. H. Guier & G. C. Weiffenbach 50						
Radar by D.O. Melroy & H.T. Closson 165	Inertial-Guidance Li	mitations Imposed					
Vol. 48, No. 3 March 1960	by Fluctuation Ph	enomena in Gyroscopes					
Pulse Compression-key to More Efficient Radar	by G.C. Newton						
Transmission dy C.E. Cook 310	A Study of Natural	Electromagnetic Phenon	iena				
Vol. 48, No. 4 April 1960 (Space Electronics Issue)	for Space Navigat	ion					
Navigation Using Signals from High Altitude	by R.G. F	ranklin & D.L. Blren	532				

Vol. 48, No. 5 May 1960

Anomalies in the Absorption of Radio Waves
by Atmospheric Gases by A.W. Straiton
& C.W. Tolbert 898

Vol. 48, No. 7 July 1960

Radar Target Classification by Polarization
Properties by J.R. Copeland 1290

Vol. 48, No. 9 Sept. 1960

Forward Scattering by Cotaed Objects Illuminated by Short Wavelength Radar by R.E. Hiatt, K.M. S.rgel and H. Weil 1630, The Ineeffctiveness of Absorbing Coatings on Conducting Objects Illuminated by Long Wavelength Radar by R.E. Hiatt, K.M. S.rgel and H. Weil 1636

# IRE TRANSACTIONS ON AERONAUTICAL AND NAVIGATIONAL ELECTRONICS

Vol. ANE-7, No. 1 March 1960 Automatic Radio Flight Control (Reproduction of Historic Papar) by F. L. Moseley & C. B. Watts, Jr Basic Air Traffic Control System Concepts by H.K. Morgan 12 A Statistical Analysis of Cross-Track Error in a Navigation System Utilizing Intermittent Fixes by H. Staras & R.W. Klopfenstein Voi. ANE-7, No. 2 June 1960 Prizes for Progress by R. I. Colin 31 A Flush-Mounted Runway Antenna for Use with the FAA Directional Glide-Path System by J. R. Baechle & R. H. Mc Farland Radio Collision-Avoidance System for Aircraft by R. T. Fitzgerald, H. C. Brown & M.D Reed 40 Multiple Pulse and Phase Code Modulation in the Loran-C System by R.L. Frank Vol. ANE-7, No. 3 Sept 1960

A Mathematical Analysis of the Performance of the ATC Radar Beacon System by A. Ashley & F.H. Battle, Jr. 76 An Application of Random Process Theory to Gyro Drift Analysis by R. L. Hammon 84 Generation of Artificial Electronic Displays, with Application to Integrated Flight Instrumentation by G. H. Balding & C. Susskind 92 Wide-Base Doppler Very-High-Frequency Direction by F. Steiner 98 Vol. ANE-7, No. 4 Dec 1960 Conditional-Switchmg Terminal Guidance (A Therminal Guidance Technique for Satellite Rendezvous) by A. L. Paesera 110 Radio Frequency Noise from Environment of Hypersonic Vehicles by M.S. Sodha 119 Theoretical Accuracy of Radar Measurments by M. I. Skolnik 123

本誌は4月発行の予定でありましたところ、執筆者の 転勤や原稿の遅れのために予定より1ヶ月以上も遅くな り, 甚だ申訳なき次第であります。

研究会の内部におきましても、本会会長の東京工業大 学の森田教授は、同大学の職を退かれるとともに、会長 の職を商船大学の鮫島教授に引き継がれることになり、 鮫島会長には5月16日から西独乙ジュセルドルフにおい て開催される英、独、仏の三国合同の国際航法学会へ本 会を代表して出席される予定であります。

なお、国際航法学会における議題には本研究会に関係 の深いテーマが豊富にあることは勿論でありますが、そ の他同教授にはレーダ教育訓練施設等欧州における電波 航法の現状をつぶさに調査される予定でもありますので 次号あたりで種々有益な発表があろうかと期待される次 第であります。

本誌の編集については,次に掲げる諸氏を編集委員に お願いし、35年5月に編集会議を開いたのがそのスター トで第1巻は昨年末発行し、ここに第2巻の発刊を見る に至つた次第です。

編 集 委 員 (ABC順) 35.5.1.現在

顧 門 鮫島 直人 (東京商船大学教授)

- 熊疑 武晴 (東京水産大学教授)
- 茂(電気通信大学教授) 大岡
- 柳井 久義 (東京大学教授)

委員長 道正 喜一 (郵政省電波監理局監視技術課長)

委 員 船谷 近夫 (運輸省海運局海務課)

- 今吉 文吉 (海上保安庁水路部海洋研究室)
- 木村 小一 (運輸省技術研究所船舶艤装部艤装 研究室長)
- 北田 宗一(水洋会事務局長)
- " 茂在 寅男 (東京商船大学助教授)
- 牧田 裕文 (運輸省海運局海務課)
- 中島 俊之(日本無線株式会社工務部レーダ課
- 岡本 寅男 (郵政省電波監理局航空海上課)
- 岡田 高(沖電気工業株式会社研究所無線研 究部次長)
- 落合 徳臣 (東京計器製造所電子研究所長)
- 杉野 和衞 (運輸省海運局海務課)
- 鈴木 務(電気通信大学助教授)
- 鈴木 裕(東京水産大学助教授)

#### 関 誌 1号

目 次

# **巻 頭 言………………**森田 清… 1 (研究調查)

「レーダへのミリ波利用」………岡田 高… 3 カラーレーダによる物標の弁別に関する研究

#### (展 望)

航海安全委員会の印象…………若狭得治…23 1960年海上人命安全会議の模様について

………電波航法研究会事務局…24

ドイツの新しい無線装置………松崎光雄…28

レーダ航法…………茂在寅男…31 

# (研究会記事)

電波航法研究会事務局報告 ......45

# (海外資料)

慣性装置の航海への利用について

………北川視朗, 桜木幹夫抄訳…47 航海と慣性航法……北川視朗, 桜木幹夫抄訳…49

レーダ指示方式の改良について……木村小一訳…51

# 

新製品紹介……………電波監理局,水洋会…57

#### (文献標題)

The International Hydrographic Review ......60 The Journal of the Institute of Navigation .....61 航空関係………62 電波航法研究会規約 ……63

電波航法研究会会員名簿………64

(ニュースつずき)

# 電波速度計

川崎航空岐阜製作所では、電波を使つて自動車のスピ ード違反を発見する電波速度計を考案した。これはわが 国でははじめての試みである。この速度計は本体と指示 装置との二つからなつており, 20cm 四方のポータブル 形である。方向アンテナからは 400Mc の VHF 電波を 走行中の自動車からはね返つてくる変化を本体がキャッ チし、指示装置のメータがスピードを表示する仕組みに なつている。

一電 波 航 法一

昭和 36 年 8 月 25 日 印 刷 昭和 36 年 8 月 30 日 発 行

1 9 6 1

No. 2

編

発

**集** 東京都

東京都千代田区丸ノ内1~1運輸省海務課内

電 波 航 法 研 究 会

東京都港区麻布霞町7

印 刷

株式会社 白 泉

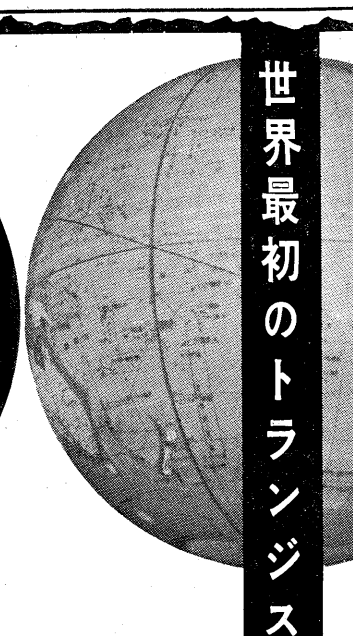
. 社

電 話 (408) 1171~3

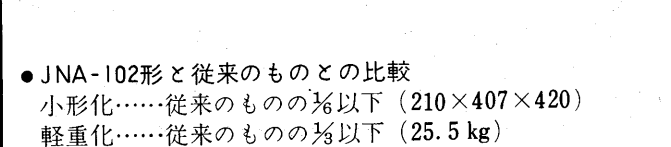
航

発





ハタロラン



- 低消費電力化……従来のものの光以下(40W以下) ● JNA-102形の世界的4大特長
  - ①トランジスタ化、トランジスタ、ダイオード使用のため小形 軽量消費電力少
  - ②プラグインユニット方式、プリント配線の画期的設計ですの で保守点検が容易
  - ③測定値の読取簡単
  - ④電源内蔵、従来の300Wに比し、単相100V% %で40W以下の極少費電力



JNA-102形

# JRC 日本無線株式會社

東京都港区芝西久保桜川町25第5 森ビル 電 話 東京 (591)代3461 大阪市北区堂島中 1 の 2 2 電話 大阪 ® 4631 ~ 6福岡市新開町 3 の 5 3 立石ビル 電話 福岡 ® 0 2 7 7 札幌市北一条西 4 の 2 札商ビル 電話 札幌 ② 6161④6336